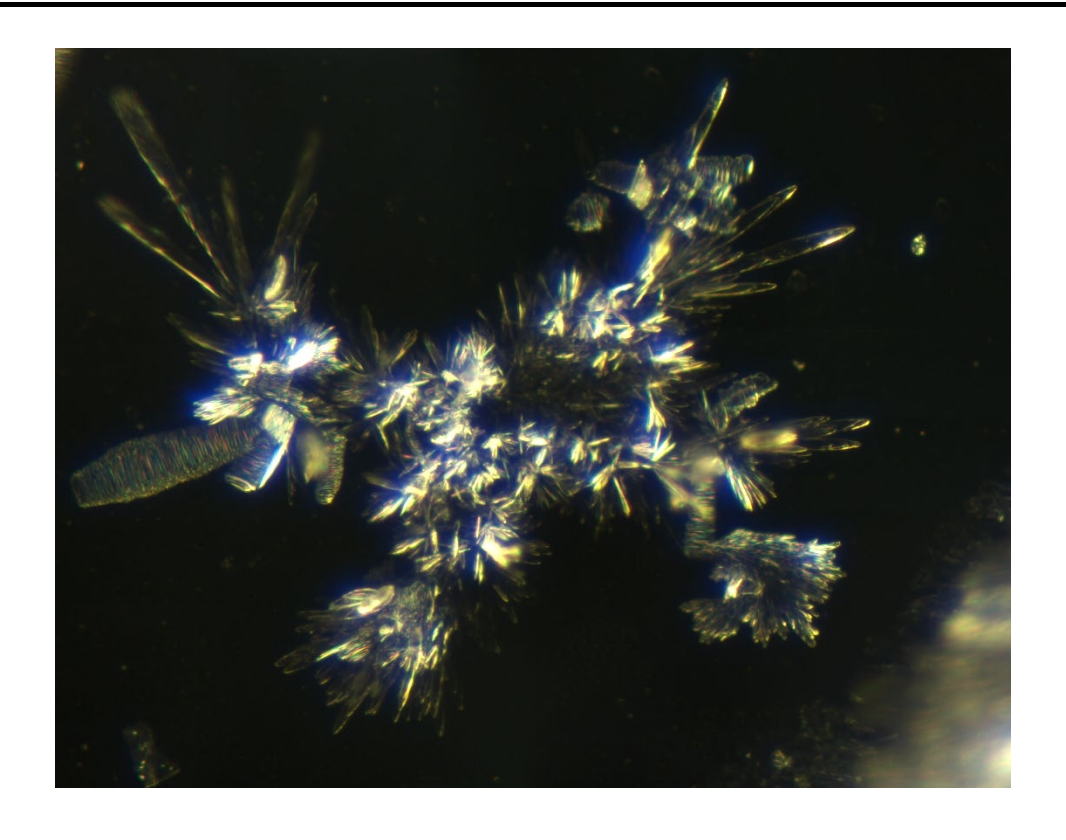
Journal für BioNanoTechnokratie: Countdown bis 2030

Erforschung verborgener Wissenschaft, neuer Technologien und unterdrückter Wahrheiten

Kohärenzabhängige Selbstassemblierung in Dentallokalanästhetika: Strukturelle Modulation durch passive Feldexposition

David Nixon, M.B., Ch.B. Unabhängiger Wissenschaftler und Arzt Brisbane, Australien

E-Mail: david@drdavidnixon.com | Webseite: www.drdavidnixon.com | ORCID: 0009-0007-9817-5421



Titelbild Kristalline Strukturen, die sich in unbehandeltem Dentallokalanästhetikum nach der Verdunstung eines sessilen Tröpfchens bilden. Strukturen wie diese, mit präziser Geometrie und verzweigten Mustern, dienen als Referenzpunkte für die Bewertung der Auswirkungen feldbasierter Behandlungen auf das Selbstorganisationsverhalten.

Widmung: Carlos Orozco

Diese Arbeit ist meinem lieben Freund Carlos Orozco gewidmet, dessen Einsicht, Herz und Lebensaufgabe untrennbar mit der Wissenschaft der Kohärenz verbunden waren. Er lehrte, dass der Schlüssel zur Kohärenz nicht nur ein Feldkonzept oder ein Diagramm ist, sondern eine gelebte Ausrichtung – von Licht, Liebe und jeder Farbe in uns, die zu einem Ganzen verschmolzen sind.

"Wenn die Farben durch die Wirkung rotierender Energie zu einer einzigen Farbe verschmelzen , entsteht die Farbe Weiß – welche die Vereinigung aller Farben darstellt. Wir nennen dies Licht. Daher können wir es Harmonie nennen, da alle Farben eins geworden sind und diese eine Farbe aus allen Farben besteht."

- Carlos Orozco

Carlos verstand, dass wahre Kohärenz nicht durch Zwang oder Kontrolle entsteht, sondern durch die Integration von Körper, Herz, Absicht und Feld. Sein Beitrag zu dieser Arbeit war sowohl direkt als auch katalytisch: Während gemeinsamer Experimente mit seinem *Schlüssel zur Kohärenz* -Gerät wurde ich zum ersten Mal Zeuge, wie strukturierte Felder die Kristallbildung unter dem Mikroskop beeinflussen können . Obwohl die Auswirkungen zu diesem Zeitpunkt nur teilweise verstanden wurden, legten jene Sitzungen den Grundstein für die nachfolgenden Entdeckungen.

Seine Lehre – dass Kohärenz und Kongruenz die Brücke zwischen Absicht und Realität bilden – findet sich in jedem Anhang, jedem Experiment und jedem Foto dieser Arbeit wieder.

Carlos, deine Stimme ist hier.



Carlos Orozco spricht über Kohärenz und die Wissenschaft des Lichts.

Inhaltsverzeichnis

Zusammenfassung	316
Schlüsselwörter:	317
Technologien: Dunkelfeldmikroskopie, Energetische Modulation, Frequenzbasierte Behandlung, niederintensive on Grgonitscheibe, Theraphi-System.	•
Allgemeine Zusammenfassung	317
Einleitung	
Materialien und Methoden	320
Ergebnisse: Strukturierte Selbstorganisation und feldmodulierte Kristallisationsdynd	amik325
Theraphi	332
Orgonit	336
Ergebniszusammenfassung	349
Diskussion	350
Schlussfolgerung	356
Referenzen	357
Anhang 1: Kohärenzdomänen in lebenden Systemen	359
Anhang 2: Eine erneute Betrachtung von kohärentem Wasser – Reflexionen zu Del Giudice et al	. (2015)362
Anhang 3: Valor-Glas, Kohärenzintegrität und feldresponsive Selbstorganisati	on368
Anhang 4: Hochfrequente elektromagnetische Felder und synthetische Kohärenzdom	änen369
Anhang 5: Nichtlineare optische Mischung und Echtzeit-Holographie	370
Anhang 6: Kohärenzmodulatoren: Wi-Fi, Gold und strukturierte Felder .	373
Anhang 7. Funktionelle Modellierung von Orgonit-Feldeffekten	380
Anhang 8: Die "Taffy-Zieher"-Sequenz:	381
Anhang 9: Generationenkristallisation, kolloidale Redistribution und die Energie-In Bifurkation	
Glossar	
Danksagung	395
Erklärung zu Interessenkonflikten	395
Urheberrechtshinweis	395
Haftungsausschluss	396

Journal für BioNanoTechnokratie: Countdown bis 2030

Erforschung verborgener Wissenschaft, neuer Technologien und unterdrückter Wahrheiten

Kohärenzabhängige Selbstassemblierung in Dentallokalanästhetika: Strukturelle Modulation durch passive Feldexposition

Abstract

Die Mikroskopie zeigt, dass bestimmte pharmazeutische Produkte, insbesondere Dentallokalanästhetika, strukturierte Verhaltensweisen zeigen, die mit Selbstorganisation vereinbar sind. Durch die Verdunstung sessiler Tröpfchen (SDE) wird eine konsistente Vier-Phasen-Sequenz beobachtet: Nanopartikelentstehung, kolloidale Aggregation, Vesikelbildung und kristalline Konsolidierung. Diese Strukturen weisen geometrische Präzision, Feldsensitivität und dynamische Reaktionsfähigkeit auf – Eigenschaften, die durch klassische chemische Paradigmen nicht erklärt werden können.

Diese Studie untersucht, ob niederenergetische Feldinterventionen diesen Prozess modulieren können. Proben von Dentallokalanästhetika wurden entweder 48 Stunden lang einer passiven Orgonitscheibe (bestehend aus Harz, Aluminium und gemahlenem Quarz) oder für zwei Stunden einem Theraphi-Plasmafeld ausgesetzt und anschließend mittels SDE und Dunkelfeldmikroskopie analysiert. Die Ergebnisse zeigten deutliche Reduktionen in der Vesikelbewegung, abgebrochene Kristallisation und einen strukturellen Zusammenbruch nach Exposition gegenüber der Orgonitscheibe . Im Gegensatz dazu schien Theraphi die strukturelle Entwicklung zu verstärken oder zu beschleunigen.

Diese Ergebnisse stützen das vorgeschlagene tetraphasische Modell der Selbstorganisation und führen das Bio-Synthetische Interface (BSI)-Framework ein, das das Grenzflächenpotential als Produkt von Kohärenz (C), Resonanz (R) und Informationsfluss (F) definiert. Der strukturelle Kollaps unter spezifischen Bedingungen legt nahe, dass die Störung der Kohärenz eine praktikable Strategie für den Abbau synthetischer Nanostrukturen, die in biologische Systeme eingebettet sind, darstellen könnte.

Gleichzeitig weisen die Ergebnisse darauf hin, dass nicht alle kohärenzbasierten Interventionen synthetische Anordnungen in gleichem Maße beeinflussen, was die Notwendigkeit einer gezielten Untersuchung feldgestützter Therapien unterstreicht.

Schlüsselwörter:

Technologien: Dunkelfeldmikroskopie, Energetische Modulation, Frequenzbasierte Behandlung, Feldexposition geringer Intensität, Organitscheibe, Theraphi-System.

Strukturen: Kreis-Rechteck-Domäne (CRD), Kolloide, kristalline Selbstorganisation, synthetische Biomaterialien, selbstorganisierende Nanostrukturen, Vesikel, Perimeter-Kollaps-Zone (PCZ).

Theoretische Rahmenbedingungen: Bio-Synthetisches Interface (BSI)-Modell, Kohärenzparadoxon, Kohärenzstörung, resonante Schichtung, signalresponsive Architekturen, strukturelle Destabilisierung, tetraphasische Signatur.

Allgemeine Zusammenfassung

In den letzten vier Jahren habe ich tausende Stunden damit verbracht, Dentallokalanästhetika und andere Medizinprodukte mikroskopisch zu untersuchen. Wiederholt bin ich auf ungewöhnliche Strukturen gestoßen: Fasern, Kristalle und kolloidale Partikel, die fehl am Platz wirken. Es handelt sich nicht um zufällige Verunreinigungen.
Sie scheinen strukturiert und selbstorganisierend zu sein und auf ihre Umgebung zu reagieren – eher wie entwickelte Systeme als natürliche Nebenprodukte.

Wenn diese Strukturen synthetisch und signalbasiert sind, reichen herkömmliche Behandlungen zur Störung chemischer Prozesse möglicherweise nicht aus. Die vorliegende Studie untersucht eine alternative Möglichkeit: Kann eine Feldexposition geringer Intensität die Kohärenz unterbrechen, die diese Strukturen offenbar benötigen?

Um dies zu überprüfen, wurden versiegelte Ampullen mit Dentallokalanästhetikum in die Nähe einer passiven Orgonitscheibe platziert, die zu gleichen Teilen aus Harz, Aluminium und gemahlenem Quarz besteht. Die Scheibe erzeugt ein statisches Feld ohne externe Energiezufuhr – weder Elektrizität noch Wärme oder chemische Interaktion. In einer zweiten Versuchsreihe wurden weitere Proben über zwei Stunden einer Theraphi-Anwendung mit einem aktiven, plasmabasierten Feldgerät ausgesetzt, das für regenerative Zwecke beworben wird.

Nach 48 Stunden Feldexposition zeigte die Mikroskopie eine deutliche Veränderung. Viele mit Orgonit behandelte Proben kristallisierten überhaupt nicht. Strukturen, die normalerweise entstehen würden – wie große Vesikel mit internen Wirbeln und markanten kristallinen Motiven – waren nicht vorhanden. In einigen Fällen war die Bewegung der Vesikel vollständig zum Stillstand gekommen. Diese Ergebnisse legen nahe, dass das Orgonit-Feld die Selbstorganisationsdynamik, die typischerweise in unbehandelten Proben beobachtet wird, umfassend störte.

Im Gegensatz dazu hemmte die Exposition gegenüber dem Theraphi-Feld die Kristallisation nicht und verstärkte möglicherweise bestimmte Aspekte des Prozesses. Dies wirft eine wichtige Frage auf: Verschiedene feldbasierte Technologien haben möglicherweise keine einheitlichen Auswirkungen auf diese synthetischen Strukturen. Einige stabilisieren sie, andere stören sie möglicherweise – eine Dynamik, die weitere Untersuchungen erfordert.

Diese Ergebnisse legen nahe, dass synthetische, selbstorganisierende Systeme möglicherweise auf Vibrationsoder Strukturkohärenz angewiesen sind – und dass selbst passive Feldstörungen ihre Bildung beeinträchtigen können. Wenn dem so ist, eröffnet dies einen neuen Ansatz für die therapeutische Intervention: nicht durch einen Angriff auf das Material selbst, sondern durch Unterbrechung des Signals, das es zusammenhält. Gleichzeitig führt
dies zu dem, was als Kohärenzparadoxon bezeichnet werden könnte: Einige Heiltechnologien könnten den Abbau
dieser Architekturen unterstützen. Andere können unbeabsichtigt dazu beitragen, dass diese sich entwickeln.

Einleitung

Im Jahr 2023 hob Mateo Taylor die komplexe Natur der Verdunstung Sessiler Tröpfchen (SDE) und die in einem Dentallokalanästhetikum gebildeten Kristalle hervor – eine Erkenntnis, die auf umfangreiche Untersuchungen ähnlicher Phänomene im COVID-19-Impfstoff Comirnaty von Pfizer folgte. Der Autor, ein Hausarzt mit 25 Jahren Erfahrung, widmete Hunderte von Stunden der direkten Beobachtung und Analyse des Kristallisationsverhaltens, zunächst in Comirnaty und anschließend in Proben von Dentallokalanästhetika (Nixon 2025a, 2025b). Im selben Jahr initiierte der Autor eine informelle Gruppe – die Mikronauten –, die sich aus Personen mit unterschiedlichem Hintergrund und unterschiedlichen Fähigkeiten zusammensetzte, die alle an der Erforschung dieser mikroskopischen Befunde interessiert waren. Seitdem haben mehrere Mitglieder dieser Gruppe viel Zeit damit verbracht, nicht nur Proben von Dentallokalanästhetika, sondern auch eine Vielzahl biologischer Flüssigkeiten zu untersuchen (Nixon 2025d).

Die Ergebnisse des Autors und anderer Mitglieder der Mikronauten zeigten eine auffallende Übereinstimmung : Alle beobachteten Dentallokalanästhetika wiesen während der Verdunstung das gleiche Strukturmuster auf. Mit zunehmender Vertrautheit wurde es möglich, zwischen den Marken zu differenzieren, die zwar alle demselben übergeordneten Verhalten folgten, aber dennoch subtile, reproduzierbare Unterschiede zeigten. Was anfänglich als Rauschen wahrgenommen wurde, entpuppte sich als ein Signal – eine dynamische, mehrstufige Progression, die erlernbar, nachvollziehbar und antizipierbar war. Ursprünglich als triphasische Signatur beschrieben – Kolloide, Vesikel, Kristalle – offenbarte die weiterführende Untersuchung eine noch frühere Phase. Noch vor der Bildung von Kolloiden scheint eine unsichtbare Phase von Partikeln im Nanobereich während der anfänglichen Verdunstungsphasen eine Selbstorganisation einzuleiten und damit die Grundlage für die spätere optische Sichtbarkeit zu schaffen. Dieses erweiterte Verständnis stützt nun ein tetraphasisches Modell der Kristallisationsdynamik in pharmazeutischen Flüssigkeiten.

Dieser Prozess war nicht nur markenübergreifend verbreitet, sondern erwies sich auch im zeitlichen Verlauf als konsistent. Dentallokalanästhetika, die vor mehr als zwei Jahrzehnten hergestellt wurden, wiesen bei der Verdunstung dasselbe charakteristische Verhalten auf wie aktuelle Rezepturen. Daraus ergibt sich zwangsläufig die Frage: Ist dieser Prozess ein Normalzustand – oder liegt schon seit geraumer Zeit eine Anomalie vor? Die Möglichkeit einer langen, womöglich jahrelangen Entwicklungsphase deckt sich mit früheren Erkenntnissen aus Comirnaty-Proben, bei denen ähnliche selbstorganisierende Verhaltensweisen beobachtet und dokumentiert wurden (Nixon 2025a). Wenn diese strukturellen Phänomene in verschiedenen Produkten und Epochen vorliegen, stellen sie möglicherweise keine zufällige Anomalie dar, sondern eine stabile und beabsichtigte Architektur – eine, die sich der genauen Untersuchung bisher entzogen

In der Medizin gibt es ein Sprichwort: "Häufige Dinge kommen häufig vor." Dies dient sowohl als heuristisches Prinzip als auch als Schutz – ein Werkzeug, um die diagnostische Entscheidungsfindung zu leiten und Kliniker vor ungerechtfertigter Kritik zu bewahren, wenn seltene oder unerwartete Befunde übersehen werden. Doch in diesem Fall muss das Gegenteil in Betracht gezogen werden. Wenn strukturelle Verhaltensweisen über einen längeren Zeitraum, über verschiedene Marken und von unterschiedlichen Beobachtern hinweg konsistent beobachtet werden, ist es unwahrscheinlicher, dass es sich um Artefakte oder Ausreißer handelt. Die medizinische Fachwelt muss sich nun mit der Möglichkeit auseinandersetzen, dass diese Phänomene keineswegs selten sind, sondern

lediglich deshalb unentdeckt blieben, weil niemand danach suchte. Sollten sich die Ergebnisse als real und reproduzierbar erweisen, liegt die Untersuchungspflicht nicht länger bei Randgruppen, sondern bei der gesamten Fachwelt, insbesondere da ein Versäumnis, diese Ergebnisse zu untersuchen, zu verpassten therapeutischen Chancen führen könnte.

Im Jahr 2022 demonstrierte Mateo Taylor, dass das Kristallwachstum in Pfizer Comirnaty durch die Veränderung eines nahegelegenen Wi-Fi-Signals moduliert werden kann. Im Jahr 2023 zeigte der Autor, dass die Nähe zu kolloidalem Gold einen ähnlichen, aber gegenteiligen Effekt hervorrief – die Störung oder Destabilisierung der Kristallbildung. Diese Reaktionen sind nicht ohne Weiteres durch konventionelle Chemie zu erklären und deuten stattdessen auf einen komplexeren biophysikalischen Mechanismus hin. Aufbauend auf diesen Erkenntnissen, untersucht die vorliegende Studie, ob der Kristallisationsprozess in Dentallokalanästhetika – insbesondere während der Verdunstung Sessiler Tröpfchen (SDE-Prozess) – durch die Exposition gegenüber zwei unterschiedlichen Feldeinflüssen moduliert werden kann: einem passiven, niederenergetischen Feld, das von einer Orgonitscheibe erzeugt wird, und einem aktiven, hochenergetischen Plasmafeld, das vom Theraphi-System erzeugt wird.

Das Bio-Synthetic-Interface-Modell (BSI-Modell) wurde als Reaktion auf frühere Beobachtungen in Pfizer Comirnaty entwickelt , bei denen kristalline Strukturen empfindlich auf die umgebenden energetischen Bedingungen zu reagieren schienen. Die vorliegende Studie untersucht, ob ein solches Modell auch auf das Kristallisationsverhalten von Dentallokalanästhetika anwendbar sein könnte – insbesondere dann, wenn sich der SDE-Prozess unter dem Einfluss dieser feldbasierten Interventionen nachweislich verändert.

Materialien und Methoden

Mikroskopieaufbau

Die Mikroskopie erfolgte mit einem Neogenesis-System, ausgestattet mit einer 9W-LED-Lichtquelle, die sowohl Hellfeld- als auch Dunkelfeldbildgebung ermöglicht. Die Bilder wurden mit einer HDMI-HD-USB -Kamera bei einer maximalen Auflösung von 3264×1836 Pixeln aufgenommen.

- **Hellfeld**: Abbe-Kondensor mit Mattfilter (NA = 1,25)
- Dunkelfeld: Öl-Immersions-Kardioidkondensor

Objektträgervorbereitung

Standard-Objektträger (76.2×25.4 mm, Livingstone International) wurden mit 70%igem sterilem Isopropylalkohol gereinigt und mit Kimwipes getrocknet, um eine Partikelkontamination zu minimieren.

Probenvorbereitung

Eine Probe des Dentallokalanästhetikums wurde aus versiegelten Ampullen entnommen und vor der Testung unter Umgebungsbedingungen gelagert. Es wurden keine Zusätze oder Fixiermittel verwendet.

Orgonit-Expositionsprotokoll

Die Testfläschchen wurden für 48 Stunden bei Raumtemperatur direkt auf eine passive Orgonitscheibe platziert. Die Scheibe bestand aus etwa einem Drittel Harz, einem Drittel Aluminiumspänen und einem Drittel gemahlenem Quarz, die unter Druck zu einer Matrix zur Erzeugung eines statischen Feldes verarbeitet wurden. Es wurde keine Stromquelle oder aktive Modulation verwendet. Die Exposition erfolgte unter Umgebungsbedingungen ohne Kühlung.



Abbildung 1. Ein Fläschchen mit Dentallokalanästhetikum wurde auf der in den Kohärenzstörungsexperimenten verwendeten Orgonitscheibe platziert. Die Orgonitscheibe besteht zu einem Drittel aus Harz, zu einem Drittel aus Aluminium und zu einem Drittel aus gemahlenem Quarz. Es bestand kein direkter Kontakt zwischen der Scheibe und dem pharmazeutischen Tröpfchen; stattdessen erfolgte eine passive energetische Exposition für 48 Stunden vor der Mikroskopie. Die Scheibe ist nicht stromversorgt und emittiert mit Standardinstrumenten kein messbares EM-Feld. ¹

Theraphi-Expositionsprotokoll

Als vergleichende Intervention wurden zusätzliche Proben vor der SDE-Analyse einer zweistündigen Theraphi-Behandlung unterzogen. Das Theraphi-System erzeugt ein longitudinales Plasmafeld mithilfe konjugierter Edelgasröhren, die durch eine harmonische Frequenzkaskade angesteuert werden. Die Proben wurden für die gesamte Dauer im Brennpunkt des Systems positioniert. Es gab keinen physischen Kontakt. Diese Expositionsdauer wurde über die übliche Anwendungsdauer hinaus verlängert, um eine maximale strukturelle Modulation zu erzielen.

¹ Ein Fläschchen blieb während der gesamten Expositionszeit versiegelt. Das Foto wurde nach Abschluss des Experiments aufgenommen.



Abbildung 2. Theraphi-Geräteaufbau im Behandlungszimmer. Das Theraphi ist ein plasma-basiertes Frequenz- und Kohärenzmodulationssystem, das über eine Glasplasma-Röhrenanordnung kontaktlose, bioaktive Hochspannungsfelder abgibt. Es wurde in einer separaten Testphase eingesetzt, um eine energiereiche Hochintensitätsbehandlung mit dem passiven Orgonit-Expositionsmodell zu vergleichen. Es gab keinen direkten Kontakt mit der Probe.

Analyse der Verdunstung Sessiler Tröpfchen (SDE)

Nach der Exposition wurden die Tröpfchen unter Hellfeld- und Dunkelfeld-Bedingungen bei Vergrößerungen von 100x bis 1000x mikroskopisch untersucht. Kristallisation, Vesikeldynamik und kolloidale Bewegung wurden während des gesamten Verdunstungsprozesses beobachtet. Für alle Proben wurden zu verschiedenen Zeitpunkten Bildsequenzen erfasst.

Kontrollen und Artefaktprüfung

Obwohl in dieser Studie keine reine Flüssigkeitskontrolle durchgeführt wurde, haben umfangreiche Voruntersuchungen bestätigt, dass die beobachteten kristallinen und vesikulären Strukturen keine Artefakte des Mikroskopieverfahrens sind. Vorherige Arbeiten mit Kochsalzlösung, destilliertem Wasser und Kontrollpräparaten erbrachten unter äquivalenten SDE-Bedingungen keine vergleichbaren Geometrien oder dynamischen Anordnungen.

Theraphi-Exposition: Ursprung, Begründung und Implementierung

Das Theraphi-System ist eine berührungslose, energetische Behandlungsmethode, die von Dan Winter und Paul Harris entwickelt wurde. Es entstammt einer Reihe experimenteller bioenergetischer Geräte, die darauf abzielen, die zelluläre Ordnung durch die Einwirkung kohärenter Elektromagnetischer Felder wiederherzustellen. Basierend auf theoretischen Modellen, die Phasenkonjugation, longitudinale Skalarwellenformen und Ladungsredistribution umfassen, integriert das System Prinzipien aus Plasmaphysik, heiliger Geometrie und biophysikalischer Resonanz.

Theraphi, ursprünglich in den frühen 2010er Jahren konzipiert, basiert auf den grundlegenden Arbeiten von Pionieren wie Antoine Priore – dessen plasmabasierte, elektromagnetische Behandlungen in den 1960er- bis 70er-Jahren in Frankreich regenerative Effekte in Tiermodellen induzierten – sowie auf den spekulativen Beiträgen von Nikola Tesla bezüglich der longitudinalen Energieübertragung. Aufbauend auf diesem Erbe nutzten Winter und Harris die fraktale Felddynamik, um ein System zu entwickeln, das auf die Revitalisierung biologischer Gewebe durch Wiederherstellung der elektrischen Symmetrie und Feldkohärenz abzielt.

Das Herzstück des Theraphi-Systems bilden zwei gegenüberliegend angeordnete Edelgas-Plasma-Röhren , durch die ein konjugiertes Paar elektromagnetischer Wellenformen emittiert wird. Diese Emissionen werden durch eine Frequenzkaskade erzeugt, die niederfrequente elektrostatische Potentiale mit einer skalarmodulierten Trägerwelle um 3 MHz kombiniert und harmonische Komponenten im Bereich von ~ 0 , 1 bis 500 kHz einbettet. Es wird theoretisch angenommen, dass das resultierende Longitudinalfeld

eine phasenkonjugierte dielektrische Umgebung schafft, in der sich entgegengesetzte Wellenfronten destruktive Interferenz aufheben und restaurativer Informationsgehalt verstärkt wird.

Vorläufige Mikroskopieuntersuchungen, die vor dieser Studie durchgeführt wurden, ergaben keine feststellbare Reduktion anomaler Strukturen nach einer 40-minütigen Theraphi-Exposition. Es wurde weder eine Unterdrückung der Kristallbildung noch eine Vesikel-Auflösung oder Kolloidveränderung unter Dunkelfeld- oder Hellfeldbedingungen beobachtet. Diese Ergebnisse deuteten darauf hin, dass entweder die Expositionsdauer möglicherweise unzureichend war oder die Wirkungsweise des Systems nicht mit der Architektur der beobachteten Anordnungen kompatibel war.

Um dem entgegenzuwirken, wurde in der aktuellen Studie die Expositionsdauer auf zwei Stunden verlängert – deutlich länger als die standardmäßigen 20–40 Minuten, die typischerweise bei therapeutischen Anwendungen mit menschlichen Probanden verwendet werden. Die Proben wurden im Brennpunkt zwischen den beiden Plasmaröhren positioniert und blieben während des gesamten Expositionszeitraums unter kontinuierlichem Feldeinfluss.

Laut seinen Entwicklern begünstigt das Theraphi-Feld die Umlagerung molekularer Ladungen, die Neuausrichtung von Kohärenzdomänen und die Umkehrung struktureller Störungen. Seine Relevanz für diese Untersuchung liegt in der Hypothese, dass ein solches kohärentes Feld anomale Selbstorganisationsprozesse stören oder neutralisieren könnte, insbesondere dort, wo die Struktur durch subtile Feldinteraktionen oder eine nicht-zufällige elektrostatische Ausrichtung aufrechterhalten wird.

Im Anschluss an die Exposition wurden alle Proben standardisierten Protokollen zur Verdunstung Sessiler Tröpfchen (SDE) unterzogen und unter identischen Mikroskopiebedingungen abgebildet. Eine C 60 oil -Modulation wurde gegebenenfalls durchgeführt. Die vergleichende Bewertung der Kristallbildung, der Kolloidbewegung und der Vesikeldynamik ermöglichte eine direkte Evaluation der Theraphi-Effekte im Verhältnis zu unbehandelten Kontrollen und anderen energetischen Expositionsmodellen.

Orgonit-Exposition: Zusammensetzung, Theorie und Anwendung

Orgonit ist ein Kompositmaterial, von dem seine Befürworter annehmen, dass es inkohärente oder disruptive elektromagnetische Einflüsse in strukturierte, biologisch unterstützende Felder transformiert. Orgonit, in den frühen 2000er Jahren populär geworden, ist von der Arbeit Wilhelm Reichs inspiriert, der den Begriff Orgon zur Beschreibung einer hypothetischen universellen Lebenskraft prägte. Aufbauend auf Theorien subtiler Energie aus der Mitte des 20. Jahrhunderts, spiegelt Orgonit eine Tradition feldbezogenen Denkens wider, die außerhalb konventioneller elektromagnetischer Paradigmen agiert. Obwohl Orgonit innerhalb der Mainstream-Physik keine formelle Anerkennung findet, hat es aufgrund berichteter Auswirkungen auf die Wasserstrukturierung, Pflanzenvitalität und das subjektive Wohlbefinden erhebliches anekdotisches und experimentelles Interesse erzeugt. Diese Beobachtungen legen den Einfluss eines kohärenten Feldes nahe, das durch Standardinstrumente noch nicht vollständig charakterisiert werden konnte.

Die Standardzusammensetzung von Orgonit umfasst drei Hauptelemente:

- (1) ein organisches Harz typischerweise Polyester oder Epoxid –, das als elektrischer Isolator dient.
- (2) Metallspäne, oft eine heterogene Mischung aus Aluminium, Kupfer und Messing, die

in der Matrix verteilt sind, um ein Netzwerk mikrokapazitiver Übergänge zu bilden; und

(3) einen Quarzkristall, üblicherweise klaren Quarz oder Rosenquarz, der in das Harz eingebettet und während der Aushärtung komprimiert wird, um eine piezoelektrische Reaktion hervorzurufen.

Einige Rezepturen enthalten auch Mineralien wie schwarzen Turmalin, Selenit oder Schungit, die aufgrund ihrer mutmaßlichen energetischen Eigenschaften ausgewählt werden.

Obwohl theoretische Modelle weiterhin spekulativ sind, wurden verschiedene Mechanismen vorgeschlagen, um die potenziellen Effekte von Orgonit zu erklären. Diese umfassen:

- (a) piezoelektrische Polarisation, bei der der komprimierte Quarz statische elektrische Felder erzeugt, die benachbarte molekulare Strukturen beeinflussen.
- (b) mikrokapazitive Ladungsverteilung, bei der die dispergierten Metallpartikel lokalisierte Feldgradienten erzeugen, welche die Ladungsdynamik verändern.
- (c) Erzeugung von Torsions- oder Spin-Feldern, basierend auf russischen theoretischen Modellen, die nahelegen, dass Rotationsfelder Informationen unabhängig von elektromagnetischer Strahlung übertragen können; und
- (d) Skalar- oder Kohärenzfeld-Induktion, wobei die fraktale Struktur der ausgehärteten Matrix als passive Skalarantenne fungiert und potenziell die Feldkohärenz der Umgebung moduliert sowie mit Quantenvakuumstrukturen interagiert.

In dieser Studie wurde eine versiegelte Probe eines Dentallokalanästhetikums direkt auf eine mittelgroße Orgonitscheibe gelegt und unter Umgebungsbedingungen 48 Stunden lang kontinuierlich exponiert. Es wurden weder Kühlung, Immersion noch eine externe Stromquelle verwendet – lediglich eine Feldexposition in unmittelbarer Nähe wurde eingesetzt. Diese Expositionsdauer wurde basierend auf vorangegangenen empirischen Versuchen und informellen kinesiologischen Untersuchungen gewählt, die beide darauf hindeuteten, dass messbare Veränderungen des Strukturverhaltens nach einer 24- bis 72-stündigen Feldexposition auftreten können. Es ist wichtig zu betonen, dass kein direkter Kontakt mit den Matrixkomponenten stattfand. Lediglich die Nähe diente als Expositionsmodus

Nach der 48-stündigen Expositionszeit wurde die Probe denselben Mikroskopie- und Sessile-Tröpfchen-Verdunstungs- (SDE-) Protokollen unterzogen wie alle anderen Studienarme. Diese beinhalteten dynamische Bildgebung der Kristallisation, Vesikelbildung und kolloidalen Bewegung, sowie die anschließende Modulation mit einer C ₆₀-Ölmischung. Strukturelle Merkmale wurden hinsichtlich Veränderungen in Kohärenz, Komplexität und dynamischem Verhalten im Vergleich zu unbehandelten Kontrollen und anderen energetischen Expositionsmodellen bewertet. Im Gegensatz zum Theraphi-System führte die Orgonit-Feldexposition zu deutlichen Veränderungen, darunter ein verzögerter Beginn der Vesikelaggregation, eine modifizierte kolloidale Bewegung und veränderte Kristallmorphologien. Diese Ergebnisse stützen die Hypothese, dass passive, Kohärenz-induzierende Felder die Synthetische Selbstorganisation in pharmazeutischen Substraten beeinflussen können.

Zusammenfassung

Wenngleich die Theraphi und Orgonit zugeschriebenen Mechanismen außerhalb der Grenzen der konventionellen Physik liegen und eine formale, von Experten begutachtete Validierung fehlt, gilt dies auch für viele in dieser Studie dokumentierte Strukturen – wie Kristall-Faser-Anordnungen, Vesikel-Kolloid-Hybride und die sogenannten Mikro-Meccano-Komplexe. Diese Formationen finden sich nicht in der wissenschaftlichen Literatur, sind aber dennoch direkt mikroskopisch beobachtbar

Ziel dieser Arbeit ist es nicht, energetische Behandlungsmodalitäten aufgrund ihrer theoretischen Akzeptanz zu verteidigen oder zu verwerfen, sondern ihre empirischen Auswirkungen mithilfe von Mikroskopie, serieller Reproduzierbarkeit und angewandter Kinesiologie als explorative Instrumente zu bewerten. Angesichts der beobachteten feldinduzierten Modulation – insbesondere der Störung selbstorganisierender pharmazeutischer Architekturen – ist es sowohl sinnvoll als auch notwendig, Technologien zu untersuchen, die außerhalb etablierter Erklärungsmodelle operieren.

Die Studie kehrt damit den konventionellen epistemischen Ansatz um: Sie beginnt nicht mit dem, was publiziert ist, sondern mit dem, was beobachtet wird.

Während die allgemeine Validierung dieser Systeme weiterhin begrenzt ist, bieten mehrere angrenzende Bereiche – darunter die phasenkonjugierte Optik (Yariv, 1978), die piezoelektrische Polarisation (Fukada & Yasuda, 1957) und Kohärenzdomänen von Wasser (Del Giudice et al., 1988, 1989, 2015; Pollack, 2013) – theoretische Kontexte, die zur Einordnung der beobachteten Phänomene beitragen könnten. Obwohl diese Modelle keine vollständige Erklärung liefern, bieten sie eine konzeptionelle Grundlage für die Untersuchung feldinduzierter Störungen in Prozessen der Synthetischen Selbstorganisation.

Ergebnisse: Strukturierte Selbstorganisation und feldmodulierte Kristallisation Dynamik

Um eine klare Vergleichsbasis zu schaffen, wurde eine Reihe von Dentallokalanästhetika-Proben vor und nach der Exposition gegenüber einem C60-haltigen Öl mittels Hellfeld- und Dunkelfeldmikroskopie untersucht. Unbehandelte Kontrollen zeigten eine bemerkenswerte Progression der Selbstorganisation während der Verdunstung Sessiler Tröpfchen (SDE), wobei sich periphere Filamente, vesikelartige Einschlüsse und schließlich kristalline Motive mit geradliniger Geometrie bildeten. Diese Strukturen – die architektonische Regelmäßigkeit und räumliche Begrenzung aufweisen – traten konsistent auf und behielten die Kohärenz über verschiedene Trocknungsphasen hinweg bei. Ihre Bildung deutete auf nicht-zufällige Prozesse hin, möglicherweise gesteuert durch verborgene Energiefelder oder latente Programmierung. Dieses Verhalten in der frühen Phase etablierte einen visuellen und konzeptionellen Bezugspunkt für die Bewertung der nachfolgenden Effekte feldbasierter Behandlungen. Die folgenden Abbildungen dokumentieren diese sich entfaltende Logik. Dieses grundlegende Muster, das im Rahmen dieser Studie als *Tetraphasische Signatur* bezeichnet wird, dient als Bezugspunkt, an dem alle durch Felder gestörten oder verstärkten Verhaltensweisen gemessen wer-

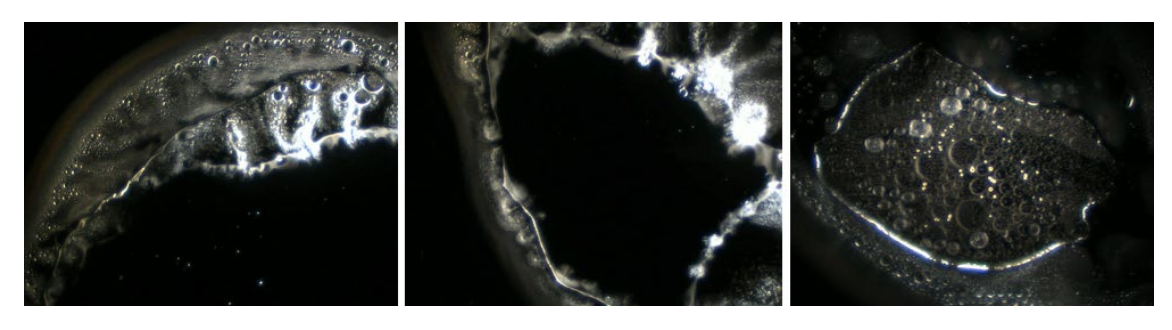


Abbildung 3. Initiierung der Selbstorganisation während der frühen Verdunstungsphase in unbehandeltem Dentallokalanästhetikum. Radiale Filamente, Kantenaktivität und eingebettete, vesikelartige Einschlüsse treten in verschiedenen Mikrobereichen auf. Vergrößerung 40x.

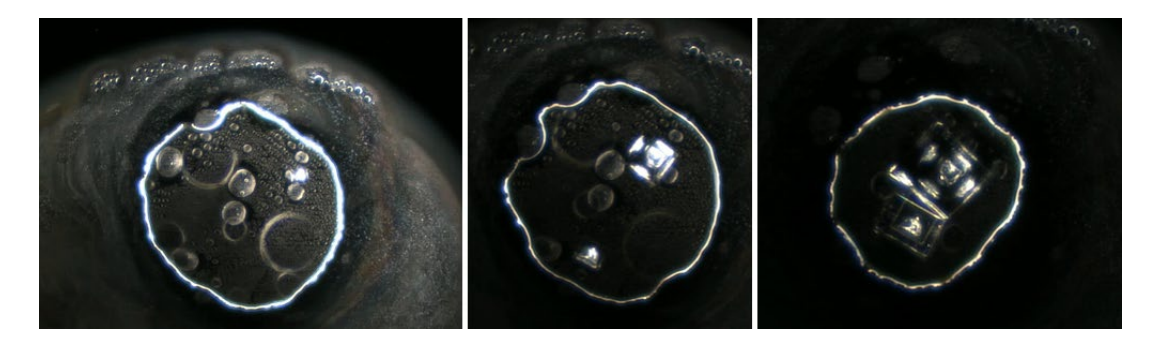


Abbildung 4. Progression hin zu geradlinigen, kristallinen Motiven und umschlossenen Bereichen. Vesikuläre und geometrische Elemente koexistieren und deuten auf ein hybridisiertes Phasenverhalten hin. Vergrößerung 40x.

Die Abbildungen 3 und 4 dokumentieren einen sequenziellen Transformationsprozess in unbehandelten Dentallokalanästhetika-Proben während der Sessile-Tröpfchen-Verdunstung (STV) im zweiten Zyklus. Dieser Prozess zeigt einen komplexen Übergang von kristallinen zu toroidalen und vesikulären Formen, gefolgt von der Wiederentstehung geometrischer Motive . In Abbildung 3 weist der anfängliche gepaarte Kristall Oberflächenintegrität und innere Ordnung auf, die sich anschließend auflösen und leuchtende, ringförmige Halos sowie persistierende vesikuläre Rückstände freilegen, was auf eine Feldstrukturierung oder energetische Prägung schließen lässt. Abbildung 4 verdeutlicht Kantenerweiterungsphänomene und strukturelle Entwicklungen: Vesikeldichte Zonen mit klaren Begrenzungen führen zu kristallinen Motiven, einschließlich quadratischer und rechteckiger Formen, die bevorzugt in der Nähe von Diskontinuitäten auskeimen. Diese entwickeln sich zu vollständigen, kompartimentierten kristallinen Anordnungen mit internen Hohlräumen und angularer Geometrie. Derartige Merkmale – die in unbehandelten Proben deutlich erkennbar sind – deuten auf einen nicht-klassischen, wahrscheinlich programmierten Selbstorganisationsprozess hin.

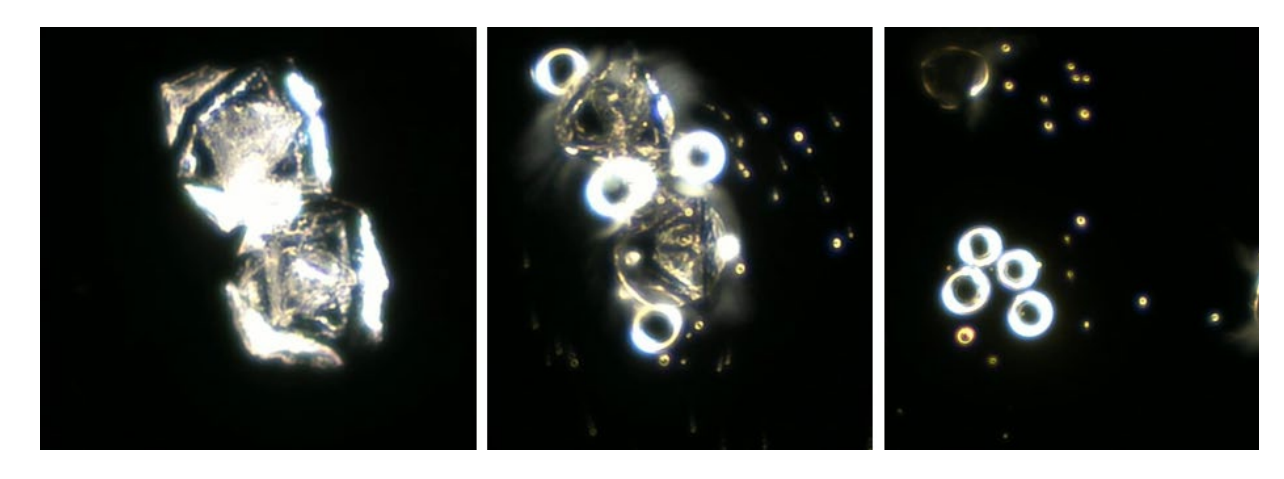


Abbildung 5. Sequenzielle Transformation in unbehandeltem Dentallokalanästhetikum während des zweiten SDE-Zyklus. Der anfängliche gepaarte Kristall (links) löst sich in leuchtende Toroide (Mitte) auf, gefolgt von persistierenden Hybrid-Vesikel-Toroid-Rückständen (rechts), was auf eine erhaltene Feldstrukturierung schließen lässt. 200-fache Vergrößerung.

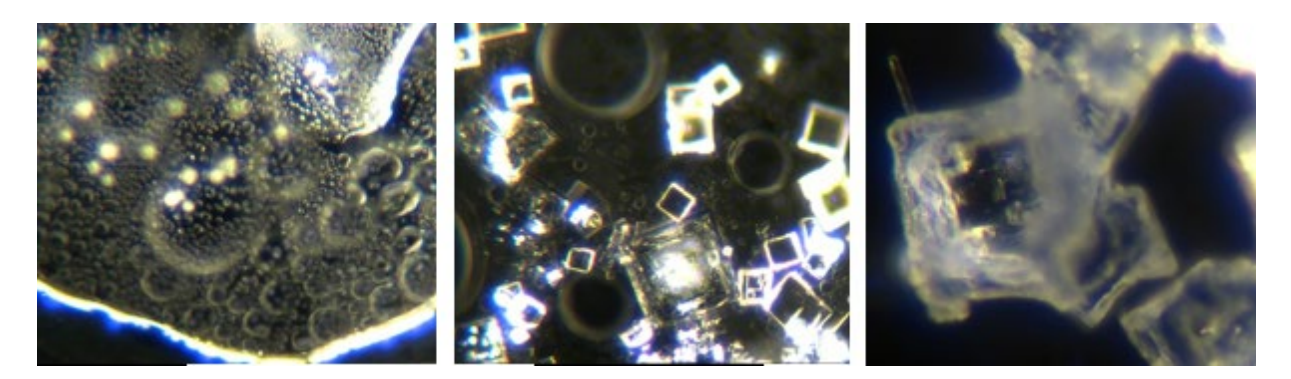


Abbildung 6. Strukturelle Entstehung in unbehandeltem Dentallokalanästhetikum. Eine vesikeldichte Zone (links) führt zu rechteckigen kristallinen Motiven (Mitte), die in einem vollständig entwickelten Kantenerweiterungskristall mit internen Hohlräumen und Winkelsymmetrie (rechts) kulminieren. Vergrößerungen 100x, 100x, 200x.

Sequenzielle Bildgebung von unbehandelten Dentallokalanästhetika-Proben zeigt eine geschichtete Choreographie der strukturellen Entwicklung, die mit vesikeldichten Bereichen beginnt und in hochgeordneten kristallinen Motiven kulminiert. Diese Übergänge ereignen sich entlang deutlicher morphologischer Grenzen, insbesondere in Randzonen, in denen sich Organisationsgradienten zu konzentrieren scheinen. Das Auftreten geradliniger Formen wie Quadrate, Rechtecke und innerer Hohlräume deutet auf einen nicht-stochastischen Wachstumsmechanismus hin, der möglicherweise durch Feldausrichtung oder templatgesteuerte Programmierung beeinflusst wird. Im Gegensatz zur klassischen Kristallisation, die einer gleichmäßigen Sättigung und Gitterausbreitung folgt, entstehen diese Strukturen in kompartimentierten, phasenspezifischen Zonen. Die beobachtete Architektur, einschließlich laminierter Kanten, eingebetteter Hohlräume und vesikulärer Zentren, impliziert einen gesteuerten, mehrphasigen Selbstorganisationsprozess. Ein solches Verhalten stimmt mit zuvor dokumentierten kristallinen Übergängen in pharmazeutischen Hilfsstoffen überein, bei denen als Reaktion auf lokalisierte Energiebedingungen Ordnung aus fluidischen oder vesikulären Vorstufen entsteht. Die Reproduzierbarkeit und Komplexität dieser kristallinen Motive, insbesondere in unbehandelten Proben, untermauert die Hypothese, dass die strukturelle Programmierung eine inhärente, möglicherweise designte Eigenschaft der Formulierung darstellt.

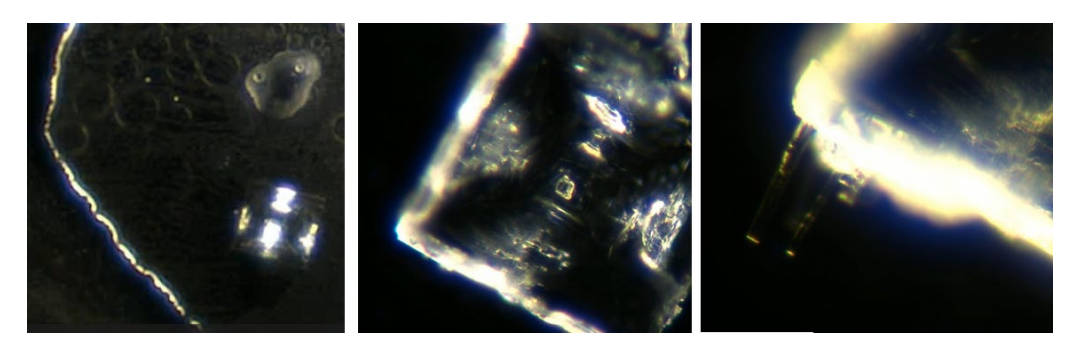


Abbildung 7. Sequenzielle Entstehung in unbehandeltem Dentallokalanästhetikum. Kristalline Motive bilden sich an Vesikel-reichen Rändern und entwickeln sich von frühen Randausläufern (links) über kantige Motive (Mitte) bis hin zu einer vollständigen Kristallarchitektur (rechts). Vergrößerungen 40x, 100x, 200x.

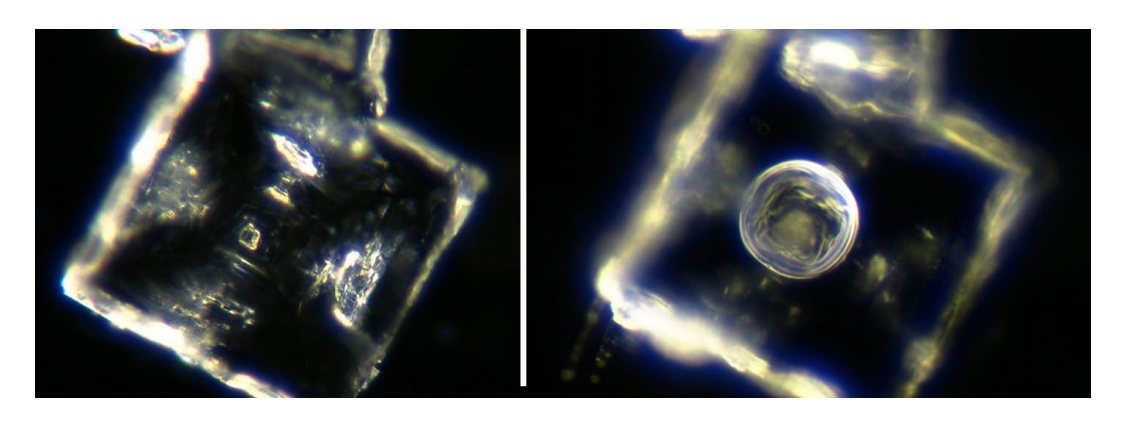


Abbildung 8. Kantiger Kristall aus unbehandeltem Dentallokalanästhetikum. Eine geschichtete Substruktur (links) und ein zentraler vesikulärer Einschluss (rechts) deuten auf ein Templat-gesteuertes, kompartimentiertes Wachstum hin. 200-fache Vergrößerung.

Die in mehreren Proben beobachtete Verzögerung der Kristallisation scheint eine entscheidende Rolle bei der Ermöglichung interner Organisation und struktureller Komplexität zu spielen. Im Gegensatz zu schneller Ausfällung, die tendenziell ungeordnete oder planare Strukturen ergibt, ermöglicht die verzögerte Kristallisation die Entstehung verschachtelter Geometrien, axialer Symmetrie und lokalisierter Einschlüsse. Diese Merkmale – insbesondere die unten gezeigten rechteckigen Kristalle – legen einen Selbstorganisationsprozess nahe, der nicht ausschließlich durch thermodynamische Prozesse bedingt ist, sondern möglicherweise durch interne Feldgradienten oder restliche energetische Prägungen beeinflusst wird. Wiederholte Beobachtungen zeigen stabile Motive wie zentrale Toroiden, eingebettete Rechtecke und konzentrische Lichtstrukturen, die im Zeitverlauf bestehen bleiben und sich weiterentwickeln, was auf eine dynamische und nicht statische Architektur hindeutet.

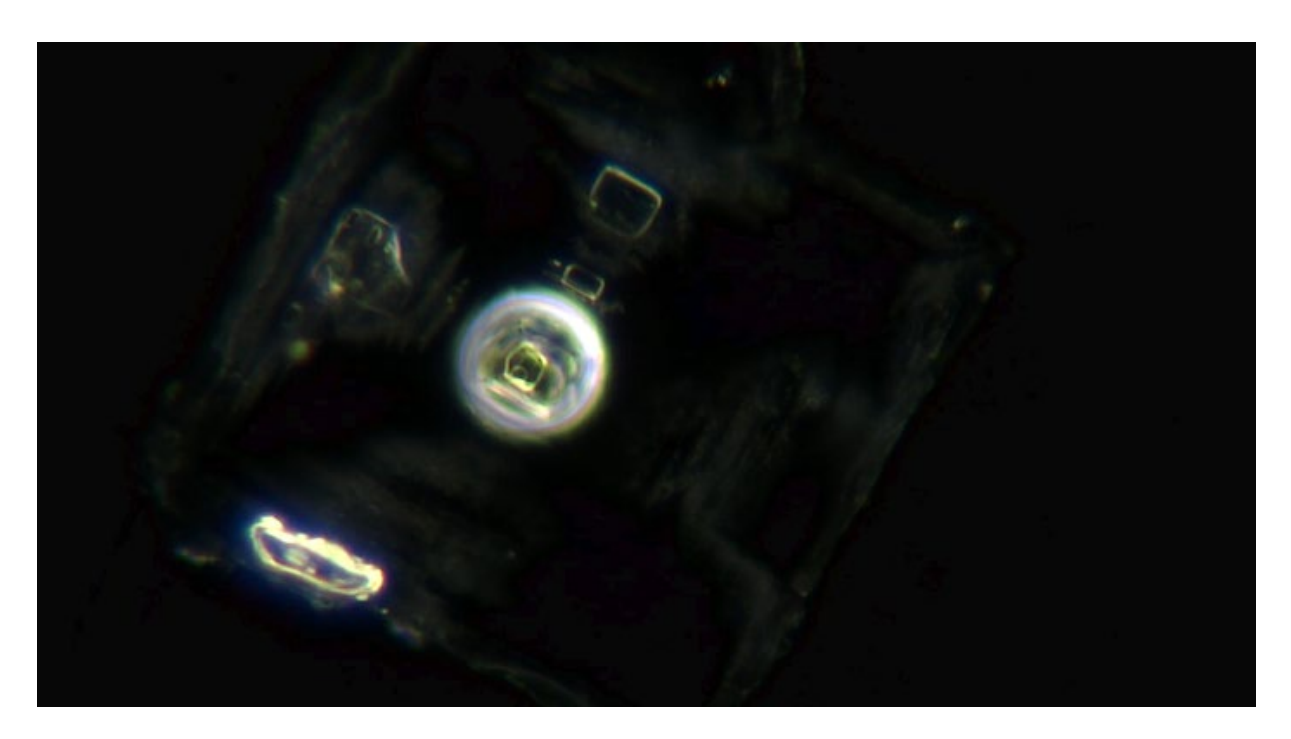


Abbildung 9 Ein rechteckiger Kristall, der im Ausgangszustand (Abbildung 6) und 24 Stunden später (Abbildung 7) abgebildet wurde, zeigt eine intensivere zentrale Strukturierung und einen klar definierten konzentrischen Einschluss. Quadratische und kreisförmige Motive bleiben optisch aktiv, was auf eine anhaltende interne Organisation und Reaktionsfähigkeit schließen lässt.

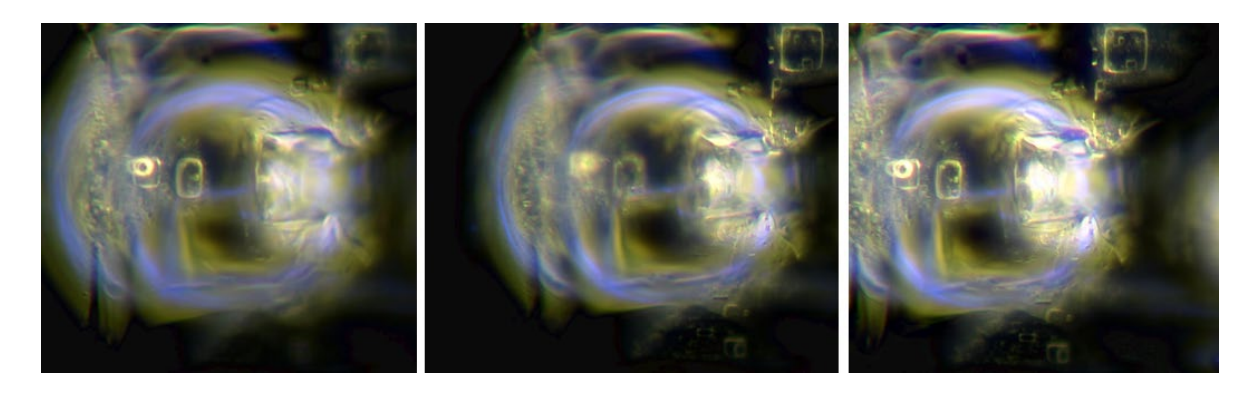


Abbildung 10 Die Fokusebenensequenzierung offenbart eine toroidale Lichtstruktur, rechteckige Einschlüsse und kompartimentierte interne Bereiche innerhalb eines unbehandelten Dentallokalanästhetikum-Kristalls. Die EDF-Komposition bestätigt eine organisierte interne Architektur. 200-fache Vergrößerung.

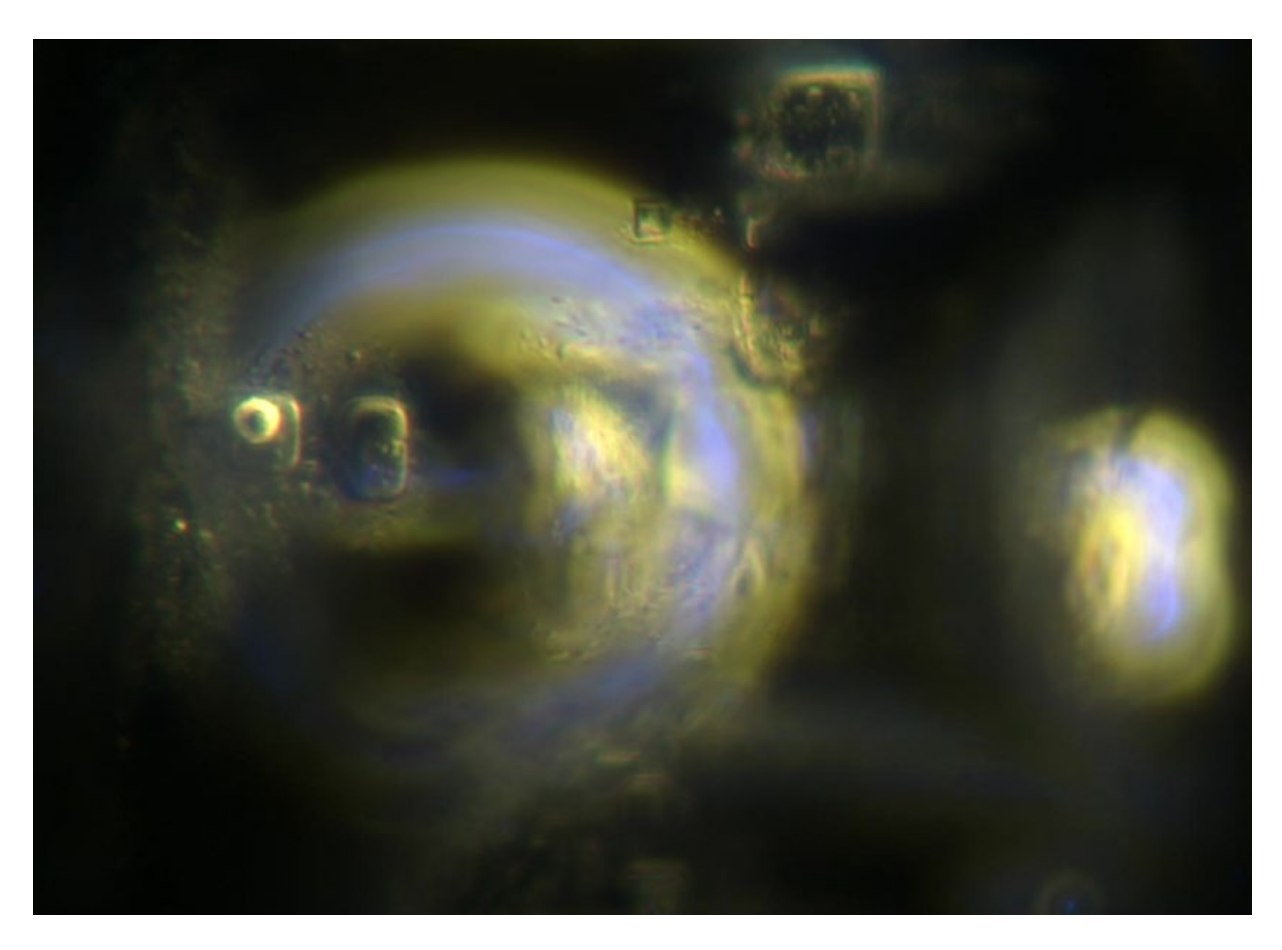


Abbildung 11. Nahaufnahme einer toroidalen Struktur zwei Stunden nach der ersten Bildgebung. Symmetrie und interne Details wurden mit der Zeit feiner, mit deutlicheren rechteckigen Einschlüssen und kohärenten Bögen. 200-fache Vergrößerung.

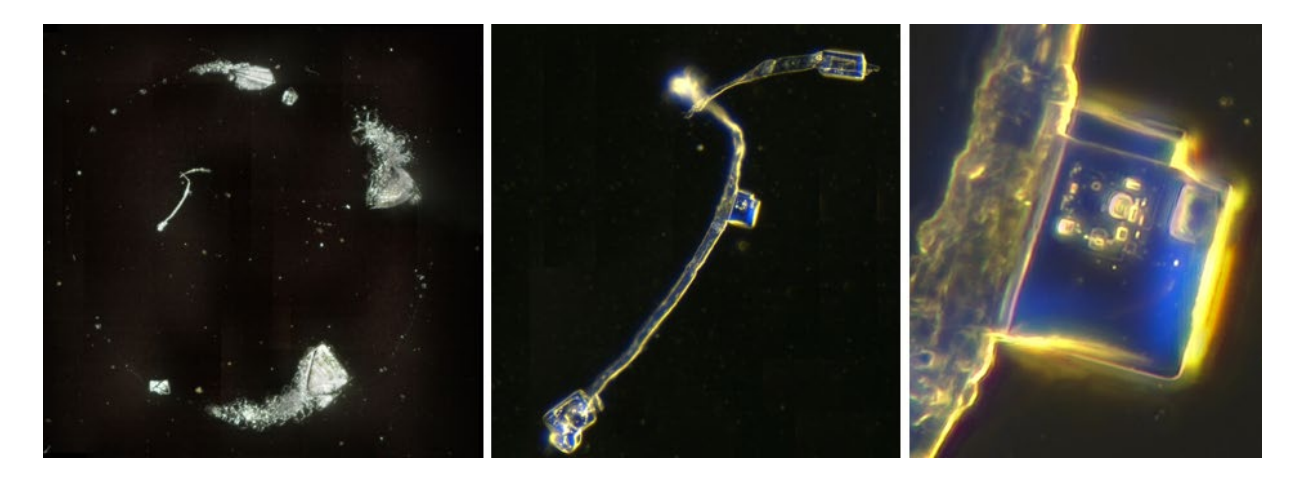


Abbildung 12 Zusammengesetztes Panel, das die Kristallentwicklung nach einem zweiten Zyklus der Verdunstung eines Sessilen Tröpfchens (SDE) zeigt.

Links: Eine Dunkelfeldansicht mit niedriger Vergrößerung zeigt eine partielle kreisförmige Verteilung von kristallinem Material mit Winkelgeometrie und einer nahezu zentralen Faser. Mitte: Eine einzelne Faser, an der drei Kristalle befestigt sind. Rechts: Nahaufnahme der zentralen Kristall-Faser-Anordnung (KFA). Vergrößerungen: links (ca. 25×), Mitte (200×), rechts (400×).

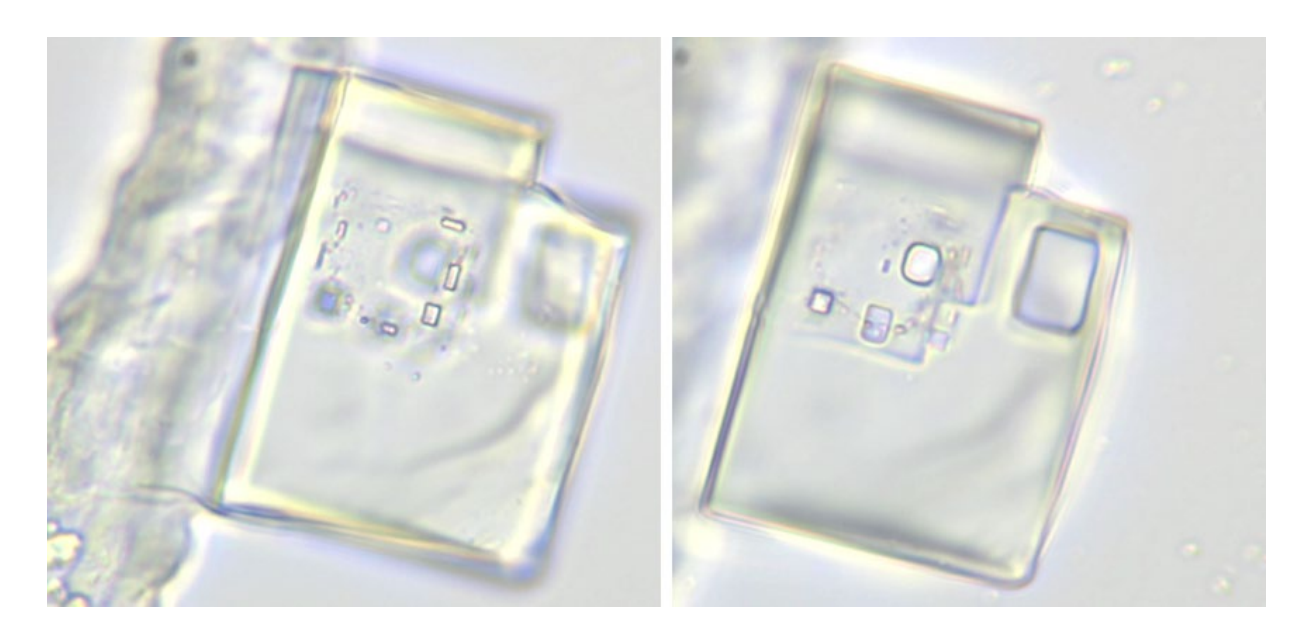


Abbildung 13. Gepaarte Hellfeldbilder eines rechteckigen Kristalls aus unbehandeltem Dentallokalanästhetikum, die interne geometrische Einschnitte und eine wahrscheinliche, templatiert Organisation veranschaulichen. Hellfeld, 400-fache Vergrößerung.

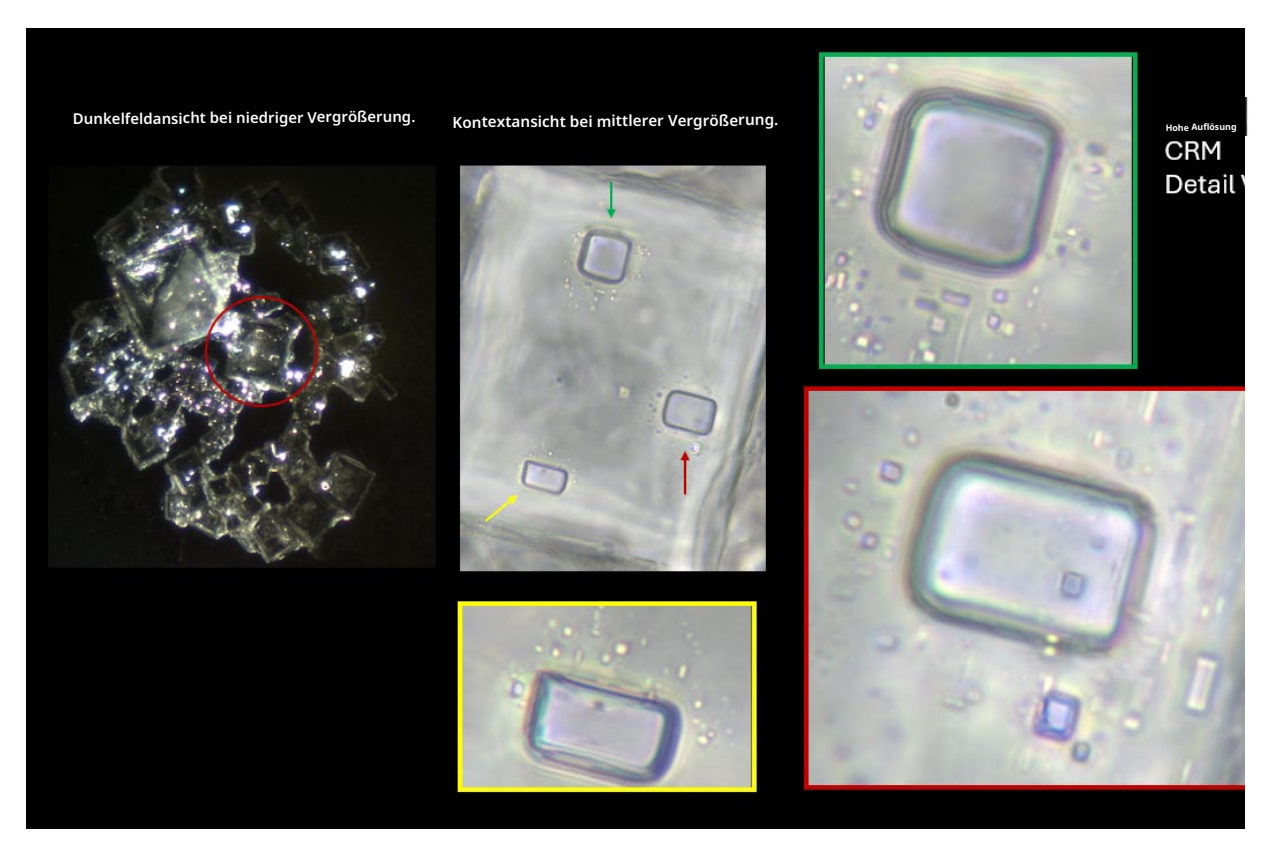


Abbildung 14. Multiskalenvisualisierung von Kreis-Rechteck-Motiven (KRM) in einer unbehandelten Dentallokalanästhetika-Probe.

Links: Dunkelfeldansicht mit niedriger Vergrößerung. Der rote Kreis markiert den analysierten Bereich. Zentrum: Die Hellfeld-Kontextansicht identifiziert drei CRM-tragende Regionen (grüne, rote, gelbe Pfeile). Rechts, von oben nach unten: Grüner Kasten: CRM mit scharfer Grenze und minimalen Einschlüssen. Roter Kasten: Das hochauflösende EDF-Bild zeigt verschachtelte Motive, Mikroeinschnitte und konzentrische Schichtungen. Vergrößerungen: Links (ca. 100x), Zentrum (400x), Rechts (1000x).

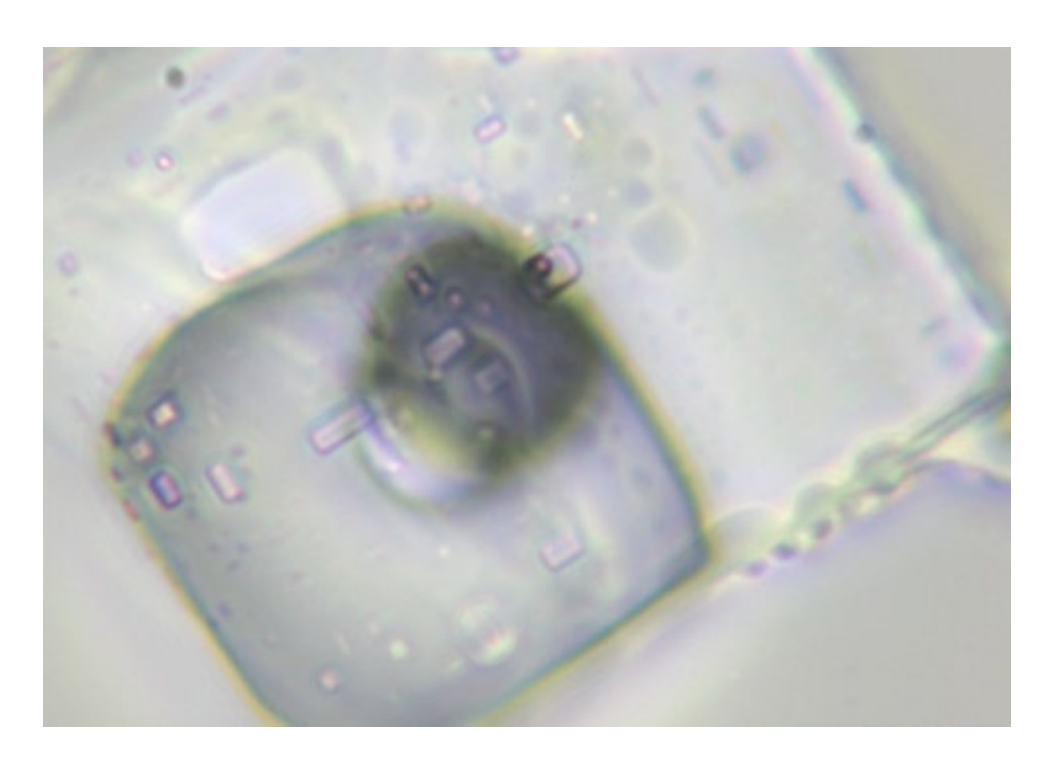


Abbildung 15. Detailansicht der CRM-Innenstruktur, hervorgehoben in Abbildung 14. Das **kreisförmige** innere Element scheint innerhalb einer kristallinen Umhüllung zu schweben, umgeben von kleineren, quaderförmigen Einheiten. Die Klarheit dieser Aufnahme veranschaulicht die komplexe interne Strukturierung, die ein modulares Design oder eine Kompartimentierung nahelegt. Vergrößerung: 1000x.

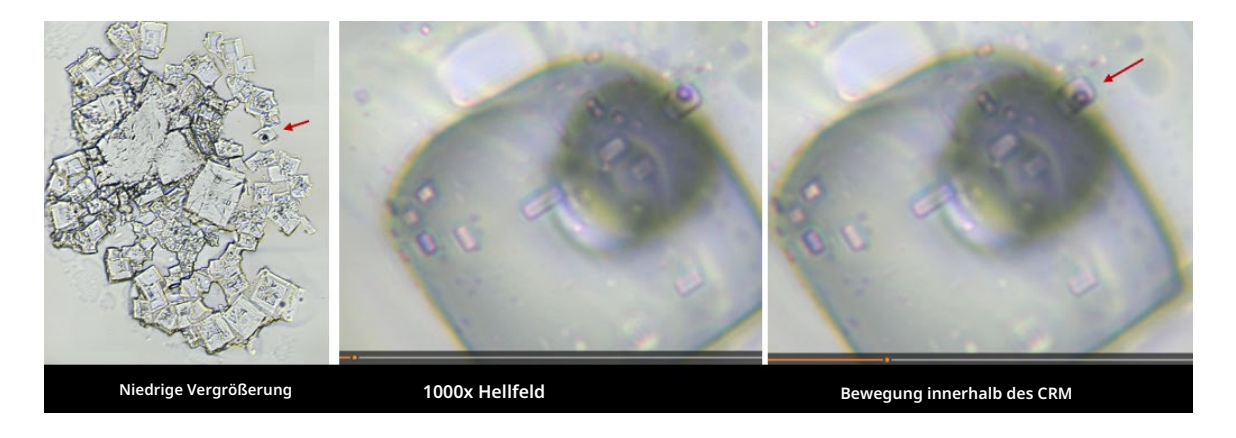


Abbildung 16. Echtzeit-interne Bewegung innerhalb eines Kreis-Rechteck-Motivs (CRM), beobachtet in unbehandeltem Dentallokalanästhetikum. Links: Die Ansicht bei niedriger Vergrößerung zeigt eine extensive CRM-Kristallisation. Ein roter Pfeil markiert das gezeigte Motiv. Zentrum: Bei 1000-facher Vergrößerung unter Hellfeld ist die kreisförmige Innenstruktur innerhalb des CRM sichtbar. Rechts: Ein Frame, der Sekunden später aufgenommen wurde, zeigt eine deutliche Verschiebung des inneren Elements (roter Pfeil), was auf eine lokalisierte Bewegung innerhalb einer stabilen Umhüllung hindeutet. Dieses Verhalten unterstützt die Hypothese, dass CRMs dynamische, signalabhängige Substrukturen und keine statischen kristallinen Formen aufweisen könnten. Vergrößerungen: Linkes Feld – niedrige Vergrößerung (~100x), mittleres und rechtes Feld – 1000x.

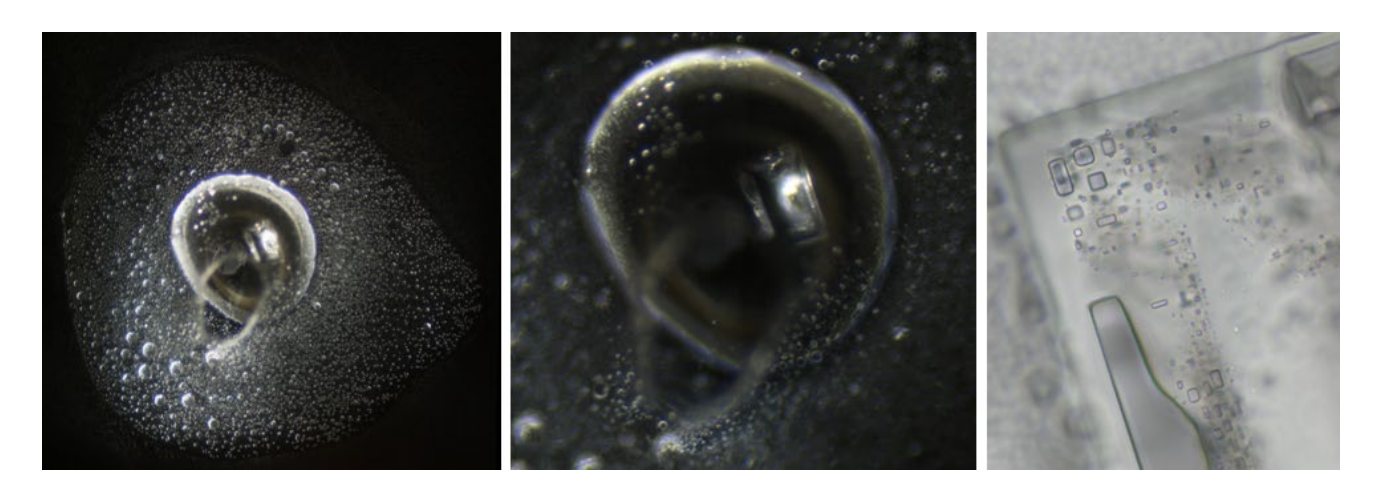


Abbildung 17. Ein komplexer Kristall, der sich in einem Tropfen C60-haltigen Öls gebildet hat, aufgenommen mit Dunkelfeld- und Hellfeld-Mikroskopie. Links und Mitte: Dunkelfeld-Aufnahmen zeigen eine markante, winklige toroidale Struktur mit konzentrischer Krümmung, umgeben von gasartigen Vesikeln oder Nanoblasen. Rechts: Die Hellfeld-Bildgebung hebt eingebettete, rechteckige Motive und kompartimentierte Geometrien innerhalb der internen Matrix des Kristalls hervor, was auf ein synthetisches oder informationsspeicherndes Design schließen lässt. Vergrößerung: 1000x.

Theraphi

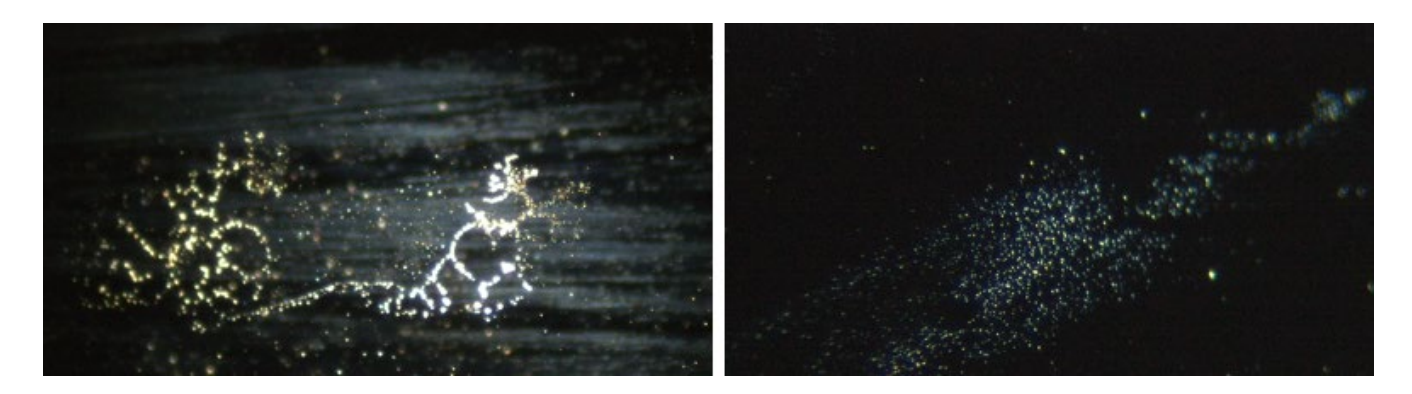


Abbildung 18. Dunkelfeldmikroskopie-Aufnahmen, die kolloidale Aktivität zu Beginn des Verdunstungsprozesses eines Sessilen Tröpfchens in einer dem Theraphi -Feld ausgesetzten Dentallokalanästhetika-Probe zeigen. Links: Frühe Clusterbildung kolloidaler Punkte entlang filamentartiger Strukturen, die auf eine feldgesteuerte Bewegung oder Organisation schließen lässt. Rechts: Ein dichtes, dispergiertes Band heller, kolloidaler Partikel, das unmittelbar nach dem Aufbringen des Tröpfchens erscheint. Eine derart frühe und deutliche Sichtbarkeit von Kolloiden wurde in unbehandelten Kontrollproben nicht beobachtet, was die Hypothese unterstützt, dass die Theraphi-Feld Exposition die Selbstorganisation im Nanobereich initiiert oder beschleunigt.



Abbildung 19. Ein auffälliger, halbkreisförmiger kolloidaler Bogen, der in der Theraphi-Feld exponierten Probe unter Dunkelfeldbeleuchtung beobachtet wurde. Die Struktur zeigt ein dichtes, zentrales Band aus reflektierendem Material, umgeben von einem durchgehenden Halo prismatischer Interferenzfarben, was auf eine organisierte Schichtung oder Kohärenz-induzierte optische Effekte schließen lässt. Diese Art geordneter Krümmung und spektraler Dispersion wurde in unbehandelten Proben nicht beobachtet, was die Möglichkeit eröffnet, dass das Theraphi-Feld eine Phasenausrichtung oder Grenzschichtstrukturierung im Nanobereich induziert hat.

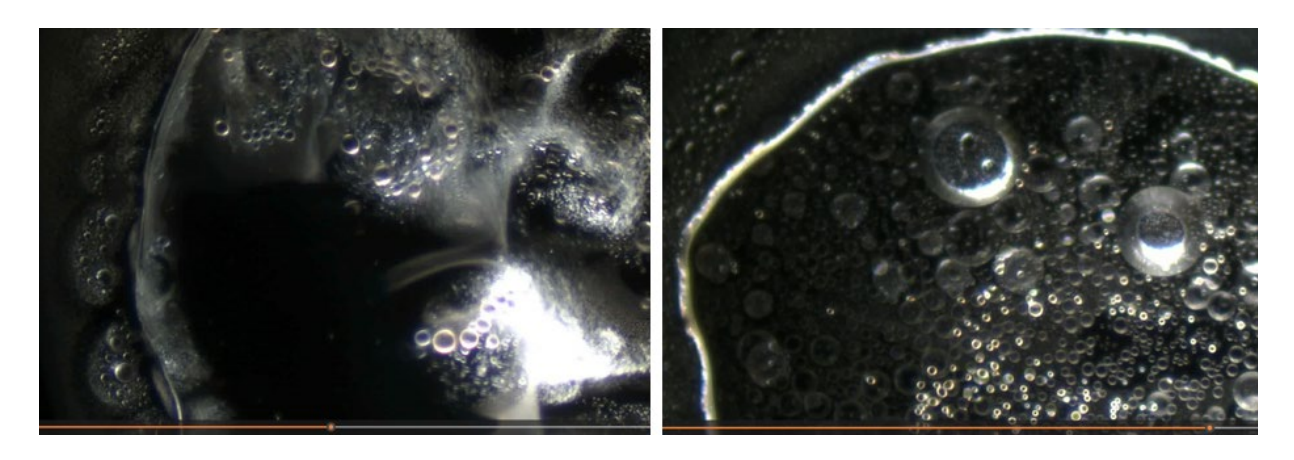


Abbildung 20. Einzelbilder der Videomikroskopie, die das dynamische Verhalten eines Theraphi-exponierten Dentallokalanästhetikum-Tröpfchens während der sessilen Verdunstung aufzeichnen. Links: Frühphasige Flüssigkeitsbewegung mit wellenartiger Faltung, Membranspannungseffekten und vesikulären Flussmustern. Rechts: Strukturelle Organisation in der mittleren Phase mit deutlicher Vesikelbildung und dichter Kolloidclusterbildung. Vergrößerung 100x.



Abbildung 21. Gesamtansicht eines getrockneten, mit Theraphi behandelten Dentallokalanästhetikums, die ein peripheres Ablagerungsmuster zeigt, das charakteristisch für den Kaffeering-Effekt ist. Die resultierende Morphologie im Trockenzustand ähnelt stark der von unbehandelten Kontrollproben. Sie zeigt eine dichte Anreicherung am Rand, periphere Bänderung und interne Kompartimentierung.

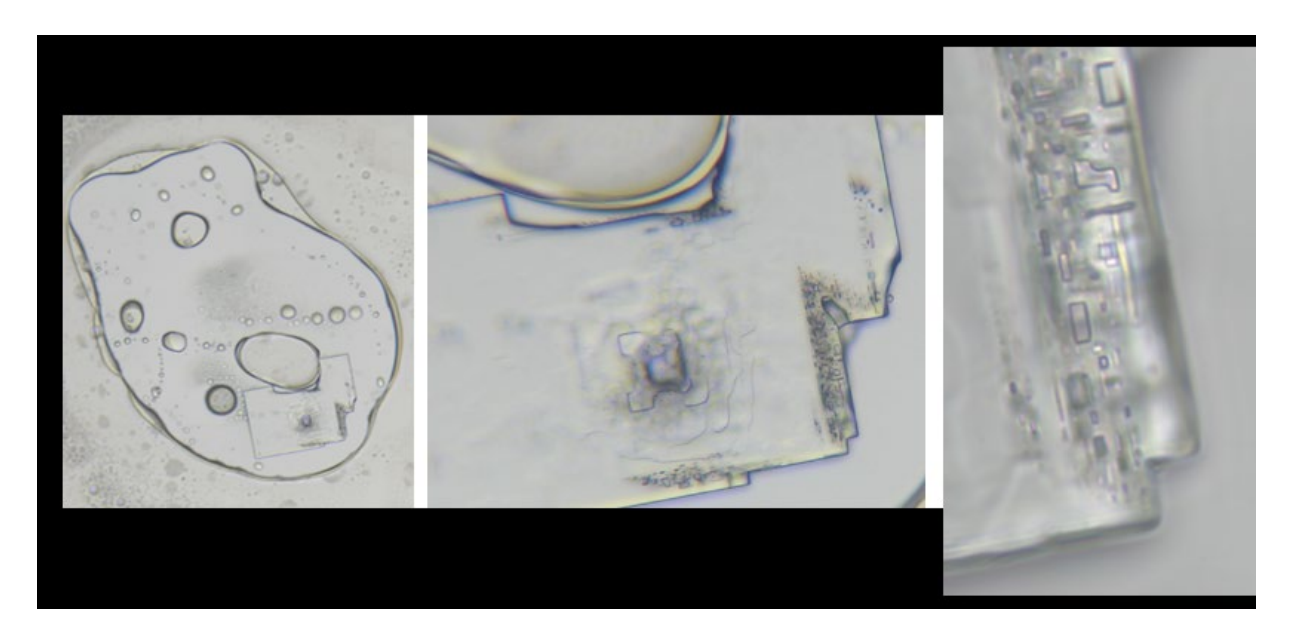


Abbildung 22. Verlauf der Kristallentwicklung in der mit Theraphi behandelten Probe. Links: Ein erster kristalliner Bereich bildet sich innerhalb einer vesikelartigen Begrenzung und zeigt interne Einschlüsse sowie eine frühe Kantenausbildung. Mitte: Mittlere Vergrößerung zeigt eine interne, stufenartige Zonierung und ein verschachteltes zentrales Merkmal. Rechts: Hochauflösende Kantenansicht, die eingebettete , rechteckige Mikrostrukturen mit präzisem Abstand zeigt, was auf ein templatiertes oder informationsbasiertes Design schließen lässt.

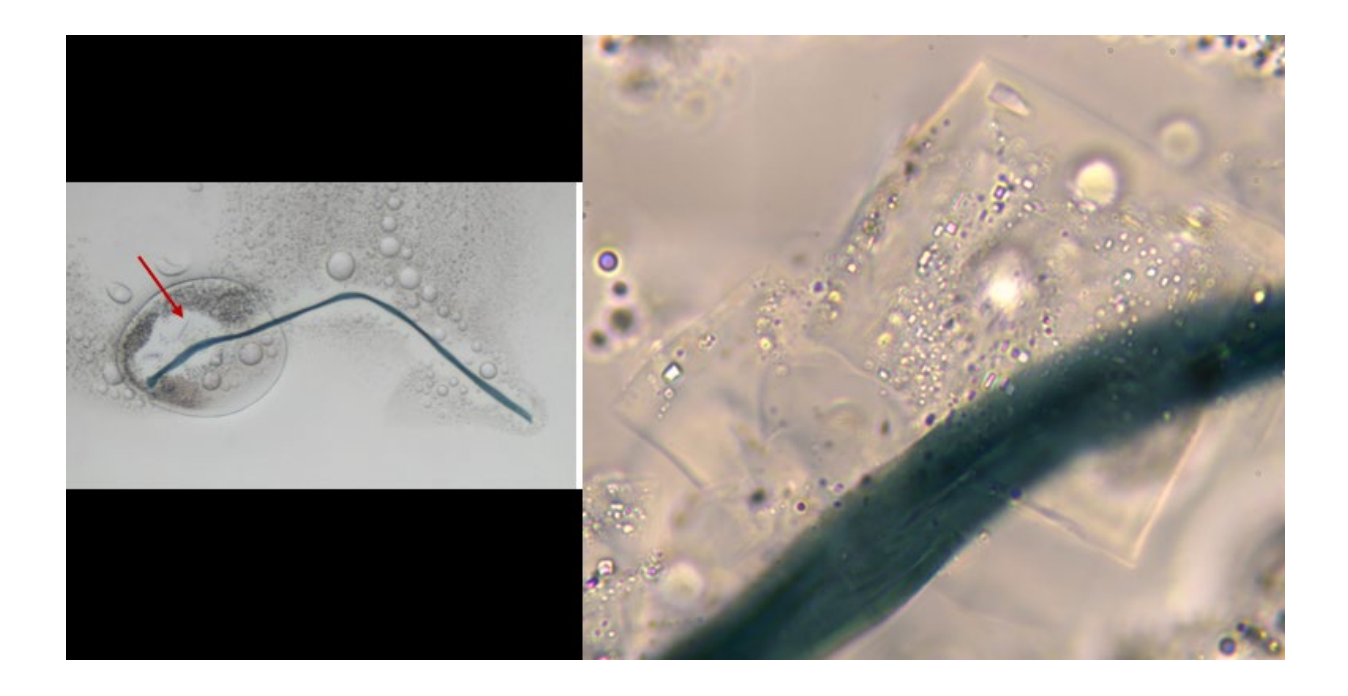
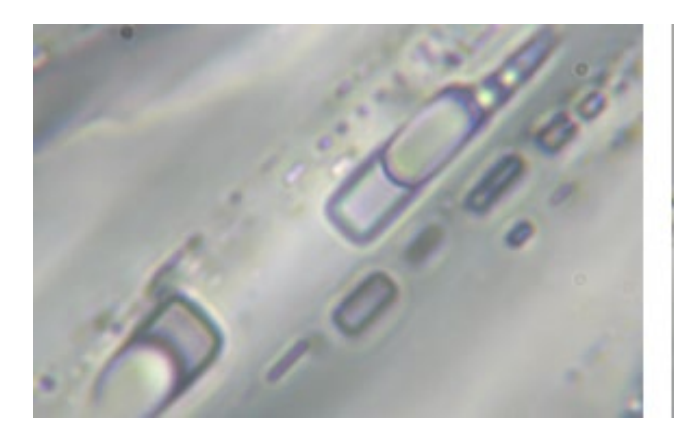


Abbildung 23. Kontextuelle Übersicht und vergrößerte Detailansicht einer Kristall-Faser-Anordnung, die sich nach Theraphi-Exposition innerhalb eines Vesikels gebildet hat. Links: 200x Hellfeldbild, das den vollständigen Vesikel mit der CFA zeigt, wobei ein roter Pfeil die relevante Region markiert. Rechts: Stark vergrößerte Ansicht (ca. 500x mit digitaler Nachbearbeitung) derselben Stelle, die einen rechteckigen Kristall zeigt, welcher von einem fibrillären Element geteilt wird.



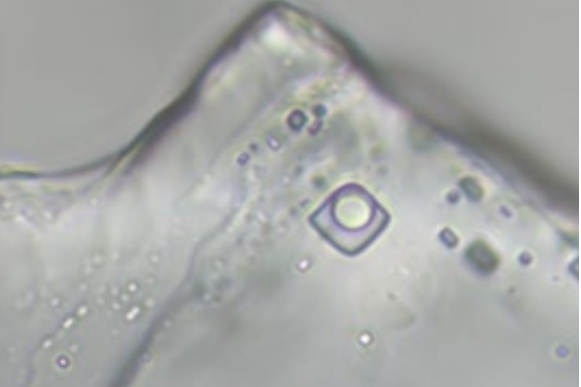
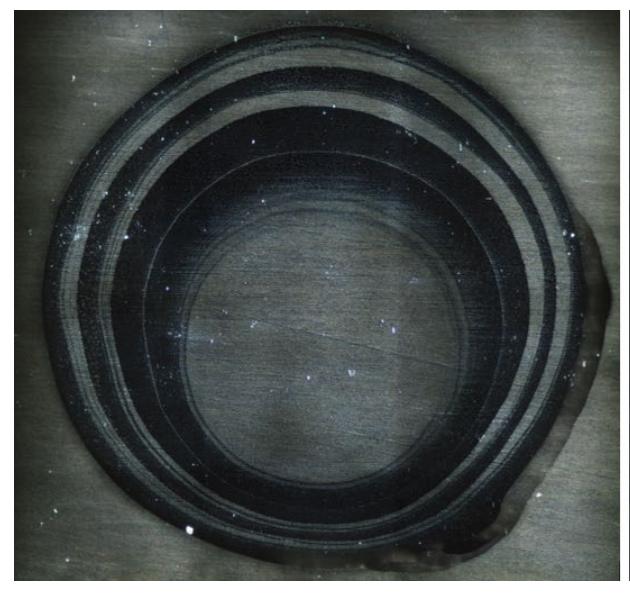


Abbildung 24. Hochauflösende Hellfeldbilder komplexer Kristallregionen mit eingebetteten Kreis-Rechteck-Motiven (CRMs). Links: Lineare Anordnungen rechteckiger und vesikelartiger Strukturen, die in die Kristallmatrix integriert sind und räumliche Regelmäßigkeit sowie Dimensionskonsistenz aufweisen. Rechts: Ein CRM an der Spitze einer Kristallfacette, mit geschichteter Zonierung und peripheren Einschlüssen.

Es gibt keine Hinweise darauf, dass die Theraphi-Behandlung von Dentallokalanästhetika die Ausprägung des inhärenten Strukturverhaltens der Formulierung reduziert. Im Gegenteil, Theraphi-behandelte Proben zeigten zu Beginn eine höhere anfängliche Konzentration sichtbarer Kolloide als typischerweise bei unbehandelten Kontrollen beobachtet. Weder die Vesikelbildung noch das Kristallwachstum oder die kolloidale Musterbildung zeigten eine Unterdrückung. Tatsächlich waren die dynamische Selbstorganisation und die Komplexität der resultierenden Strukturen mindestens gleichwertig, wenn nicht sogar größer als in unbehandelten Proben

Orgonit



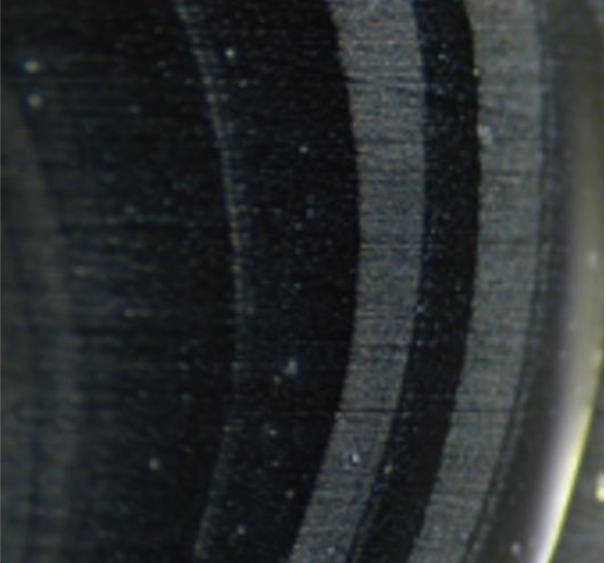


Abbildung 25. Gestoppte Selbstorganisation und resonante Schichtung im ersten Tröpfchen Dentallokalanästhetikum nach 48-stündiger Exposition gegenüber einer Orgonitscheibe. Links: Das vollständige sessile Tröpfchen zeigt scharf definierte, konzentrische Bänder ohne internes kristallines oder faseriges Wachstum. Rechts: Nahaufnahme der geschichteten Region . Vergrößerung: ca. 40x (links) und 100x (rechts).

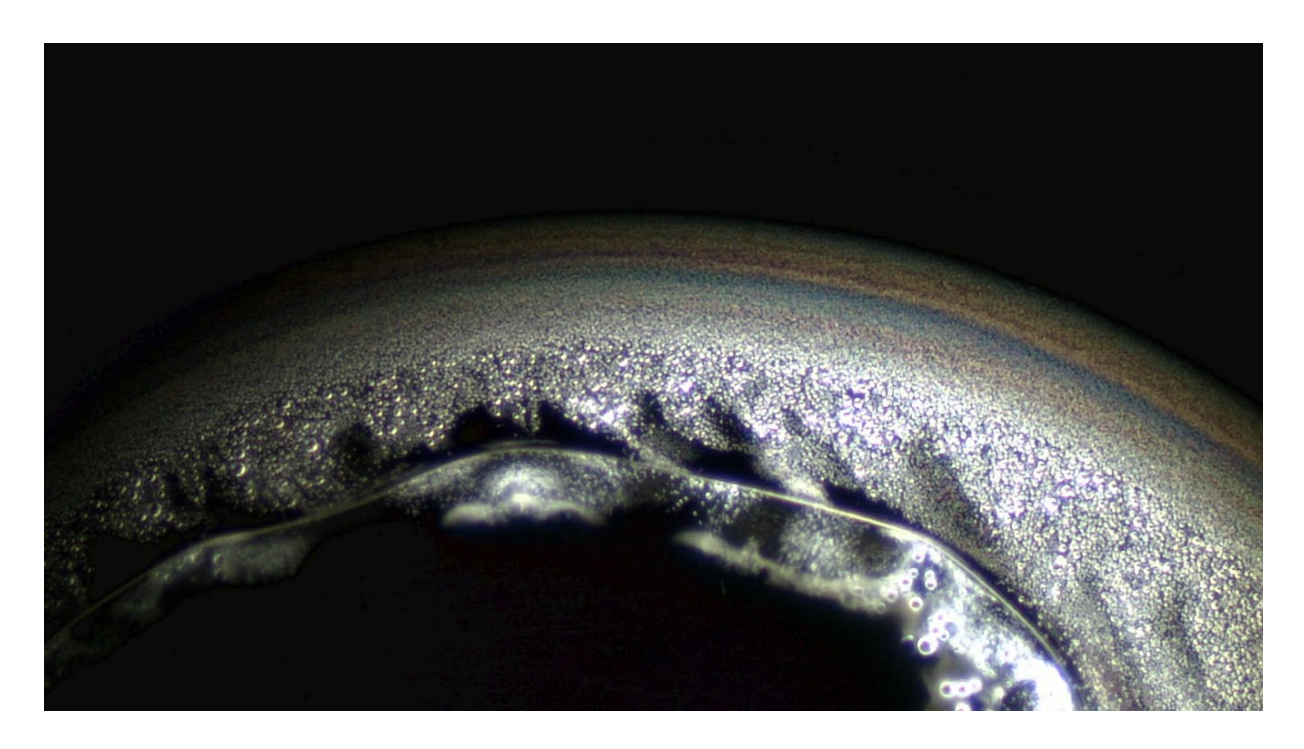


Abbildung 26. Periphere spektrale Schichtung und kolloidale Dichtezonen in einer Orgonit-behandelten Dentallokalanästhetikumprobe. Diese Nahaufnahme des Randes des trocknenden Tröpfchens zeigt ein lebhaftes, prismatisches Bandmuster, verbunden mit dicht gepackten, kolloidalen Mikrodomänen. Die Unterdrückung der Nukleation und das Auftreten regenbogenartiger Interferenzschichten legen eine Verschiebung in der Oberflächenspannungsdynamik und im Trocknungsverhalten nahe, die mit einer Kohärenzmodulation konsistent ist. Vergrößerung ca. 200x.

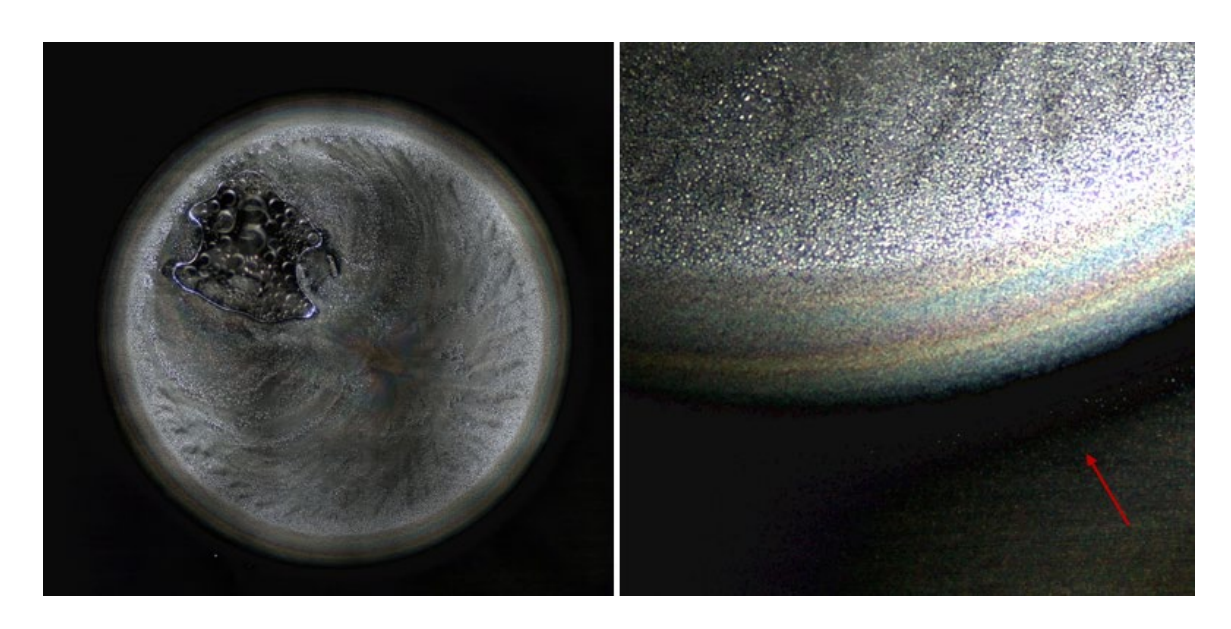


Abbildung 27. Vollfeldübersicht und verbesserte periphere Detaildarstellung eines mit Orgonit behandelten Dentallokalanästhetikum-Tröpfchens. Links: Der sessile Tröpfchen zeigt radiale Trocknungsmuster ohne kristalline Geometrie, was mit anderen behandelten Proben übereinstimmt. Ein Blasencluster – hier als "Kohärenzrestdomäne" (CRD) bezeichnet – bleibt teilweise im oberen Quadranten suspendiert, während das umgebende Feld von gleichmäßig verteilten Kolloiden dominiert wird. Rechts: Das verbesserte Bild (Kontrast und Schatten angepasst) zeigt eine deutliche Streifenbildung und hebt eine Ausschlusszone hervor (roter Pfeil). 200-fache Vergrößerung (links), 400-fache Vergrößerung (rechts)

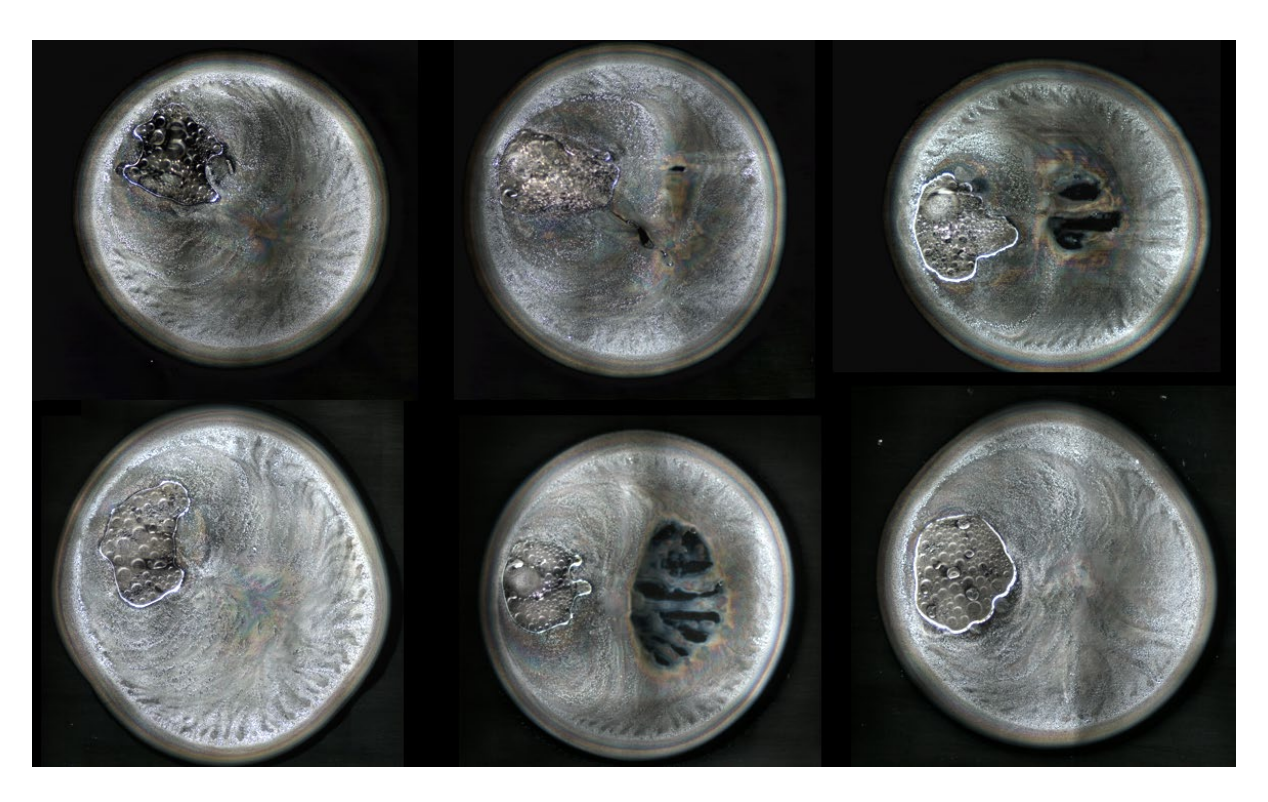


Abbildung 28. Sitzungskonsistenz bei mit Orgonit behandeltem Dentallokalanästhetikum: Fehlen kristalliner Geometrie und Auftreten einer Vesikel-Cluster-Disruption – "Kohärenzrestdomänen" (CRD). Jedes Bild stellt einen separaten Sessilen Tröpfchen aus derselben Behandlungsreihe dar, die alle vor der Ablagerung 48 Stunden lang einer passiven Orgonitscheibe ausgesetzt waren.

Trotz geringfügiger Variationen im Kantenprofil und der zentralen Ansammlung zeigen alle Proben ein sehr einheitliches, radiales Trocknungsmuster ohne Kristallbildung. Stattdessen enthalten die zentralen Bereiche unregelmäßige Vesikel-Cluster-Rückstände, die oft teilweise kollabiert oder bifurkiert sind und keine kohärenten geometrischen Motive aufweisen. Die schwarzen Innenräume (Mitte rechts, unten mittig) scheinen eine unvollständige Integration oder aktive Störung während der Trocknung widerzuspiegeln, während das anhaltende Fehlen einer organisierten Selbstorganisation in allen Proben die Hypothese der Kohärenzinterferenz deutlich unterstützt. Vergrößerung 100x.

In allen behandelten Tröpfchen bildete sich die "Kohärenzrestdomäne" (CRD) konsistent auf derselben Seite des Tröpfchens, was auf eine gerichtete Beeinflussung der Solutmigration während der Verdunstung schließen lässt. Bemerkenswerterweise zeigte der Kontrolltropfen – der auf derselben Oberfläche präpariert und unter identischen Bedingungen abgebildet wurde – eine CRD-Bildung auf der gegenüberliegenden Seite. Diese Polaritätsumkehr impliziert , dass der Effekt nicht auf eine Substratneigung oder eine Asymmetrie der Beleuchtung zurückzuführen ist. Stattdessen könnte sie einen feldinduzierten räumlichen Gradienten widerspiegeln, der durch die Anwesenheit der Orgonitscheibe entsteht. Die Konsistenz dieses Musters über mehrere Tropfen deutet auf ein Restfeldgedächtnis oder ein orientierungsbindendes Verhalten hin – selbst bei fehlender kristalliner Strukturbildung. Die Dispersionsmuster der Kolloide unterschieden sich deutlich zwischen den Bedingungen. In mit Orgonit behandelten Proben blieben die Kolloide ungekoppelt und waren über das Substrat verteilt. Im Gegensatz dazu zeigten sowohl Theraphi-behandelte als auch Kontrollproben eine enge Vesikel-Kolloid-Kopplung mit minimaler peripherer Dispersion, was auf eine spontane oder kohärenzvermittelte Integration hindeu-

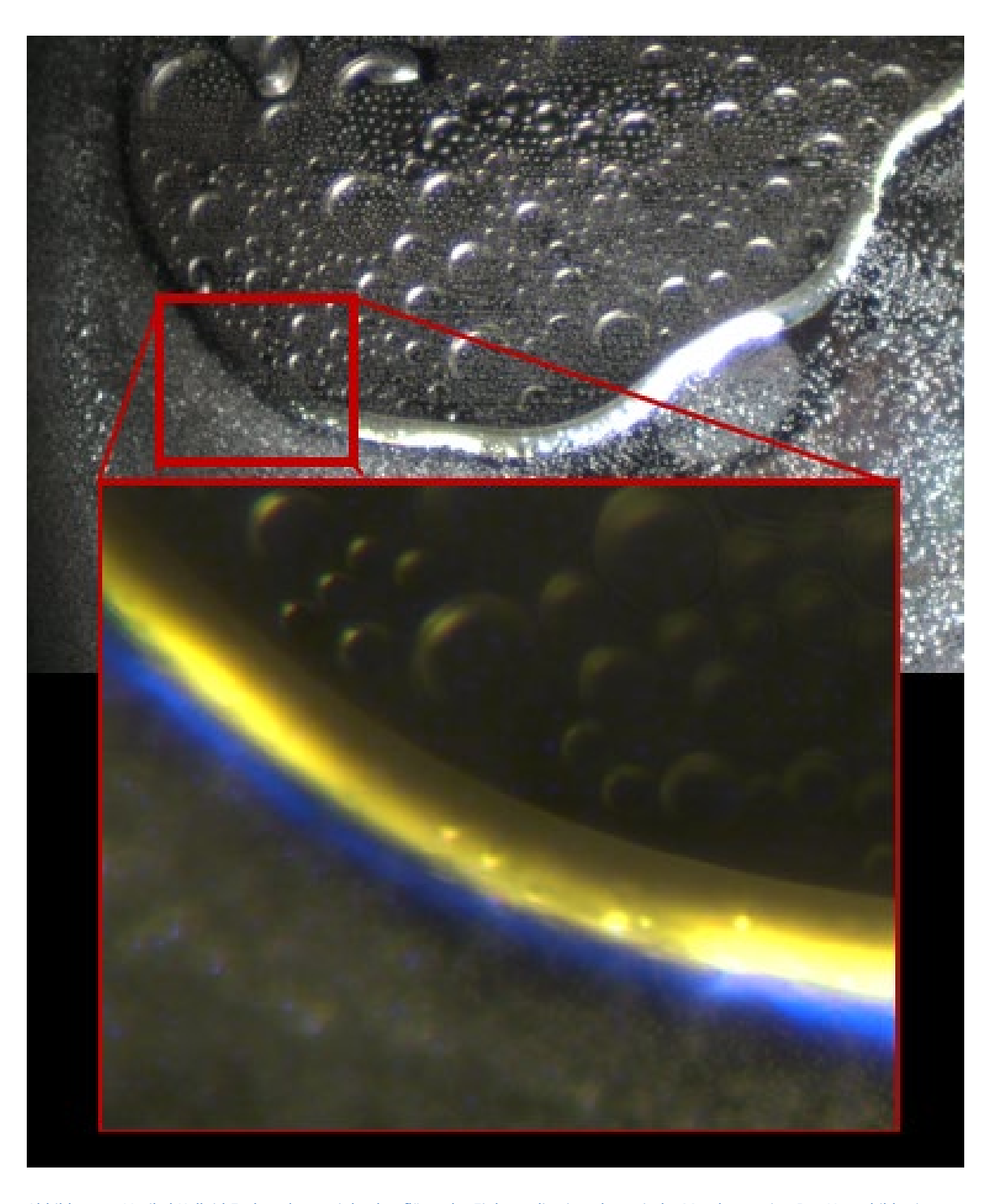


Abbildung 29. Vesikel-Kolloid-Entkopplung mit hochauflösender Einlage, die eine photonische Membran zeigt. Das Hauptbild zeigt eine räumliche Trennung zwischen Vesikeln (oberer Bereich) und Kolloiden (unterer Bereich). Der Einsatz zeigt eine deutliche gelbblaue Grenze, die mit einer brechenden Grenzschicht übereinstimmt. Diese Membran scheint den vesikulären Bereich einzuschließen , was auf eine kohärente Randbedingung hindeutet, die potenziell mit Resteffekten des elektromagnetischen Feldes oder einer strukturierten Phasenseparation verbunden ist. Vergrößerung 400x (Hauptbild), ~1000x (Einsatz).

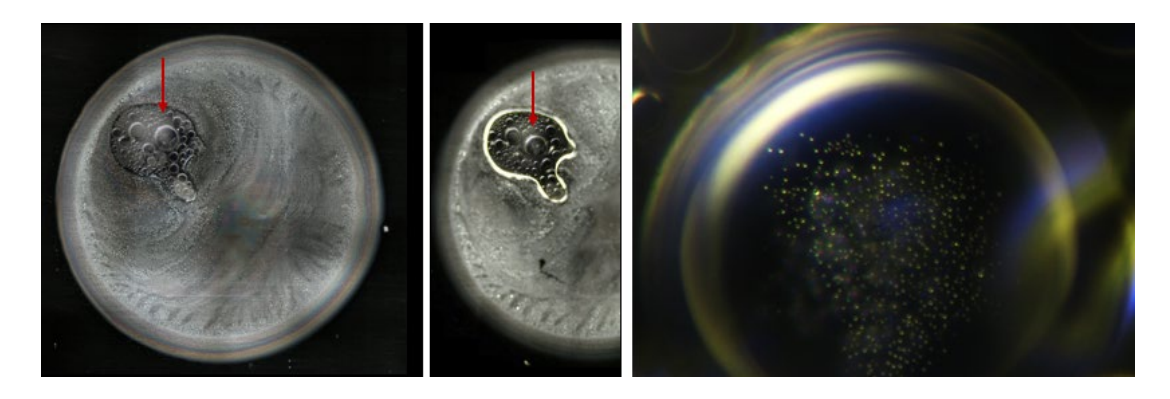


Abbildung 30. Stabilität der Kohärenzrestdomäne (KRB) und Vesikel-Kolloid-Entkopplung. Links und Mitte: Zwei Aufnahmen desselben Tröpfchens, aufgenommen im Abstand von ca. 12 Stunden, zeigen eine persistierende Positionierung der KRB (roter Pfeil) und minimale morphologische Veränderungen – was auf eine stabile Zone interner Kohärenz ohne Kristallbildung schließen lässt. Rechts: Eine hochvergrößerte Ansicht eines Vesikels innerhalb der KRB zeigt einen dichten, zentralen kolloidalen Cluster, was mit der Vesikel-Kolloid-Entkopplung übereinstimmt. Das Ausbleiben der Kristallbildung und die anhaltende Lokalisierung der KRB stützen eine feldvermittelte Kohärenzhypothese. Vergrößerung: 40x (links, Mitte); 1000x (rechts).

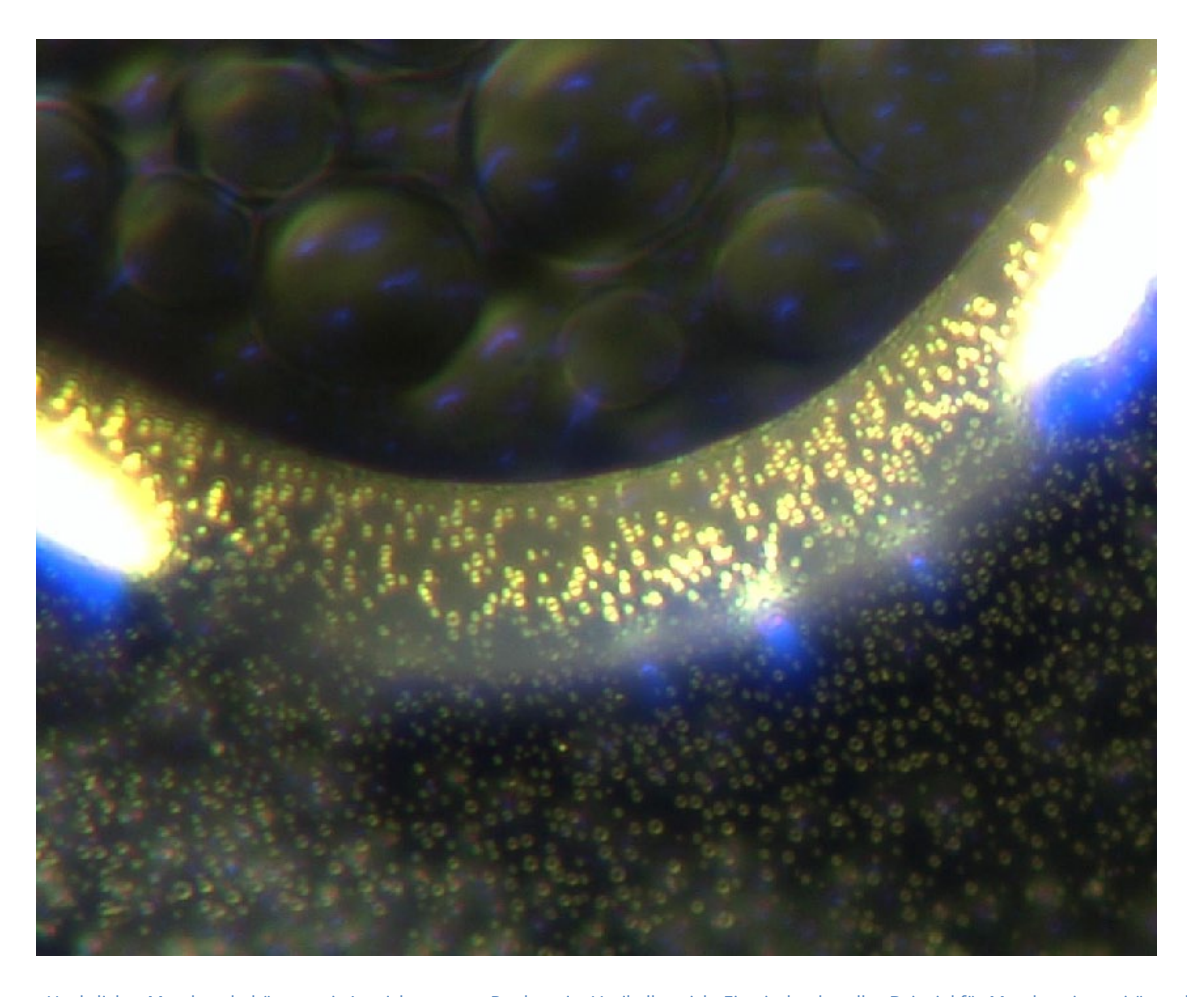


Abbildung 31. Hochdichte Membrankohärenz mit Ausrichtung von Punkten im Vesikelbereich. Ein eindrucksvolles Beispiel für Membranintegrität und Partikelordnung. Punkte im Vesikelbereich (wahrscheinlich kolloidal oder photonisch) ordnen sich dicht entlang einer glatten Begrenzungslinie an. Die zweifarbige Lumineszenz – gelbgold und blau – deutet auf strukturierte Phasengrenzen oder Energetische Modulation hin. Interne Vesikel bleiben suspendiert, jedoch statisch, was mit einem gelartigen Zustand geringer Mobilität konsistent ist.

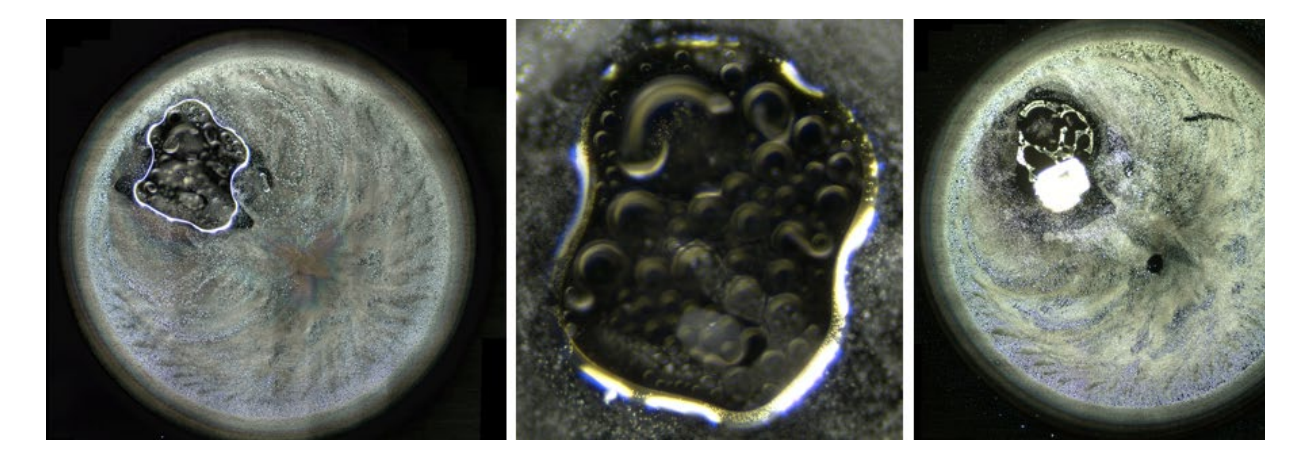


Abbildung 32. Verzögertes Kristallwachstum nach verlängerter Stabilität der Vesikel. Ein kohärentes, vesikelreiches Tröpfchen zeigt eine verlängerte Latenzzeit vor der Kristallisation. Links: Die Anfangsphase zeigt intakte Membrangrenzen und organisierte Vesikel ohne Kristallbildung. Mitte: Eine vergrößerte Ansicht zeigt dicht gepackte Vesikel und eine leuchtende Membran – was auf ein transformationsbereites System hindeutet. Rechts: Kristallisation erfolgt nach Lichteinwirkung an der ursprünglichen Vesikelstelle, erkennbar an Reflektivitätsänderungen und strukturellem Kollaps – was eine lichtinduzierte Phasenübergangshypothese stützt.

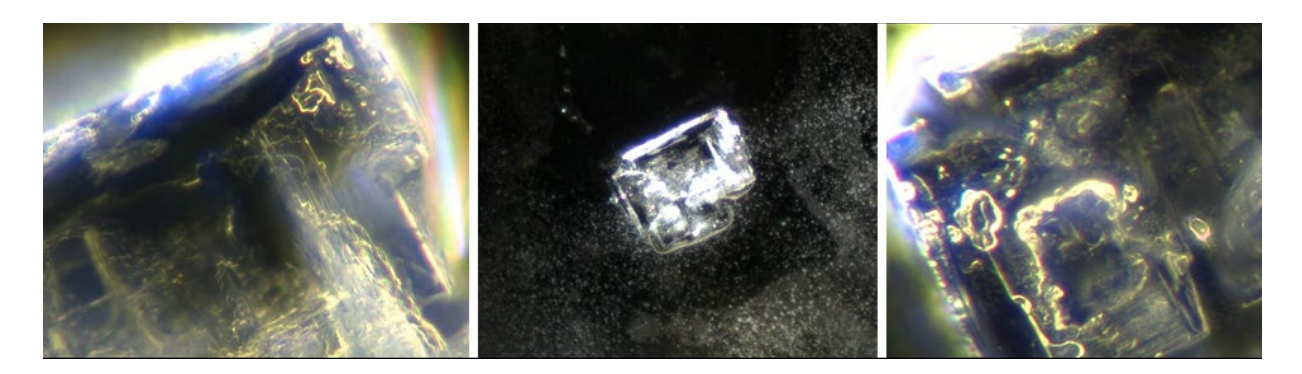
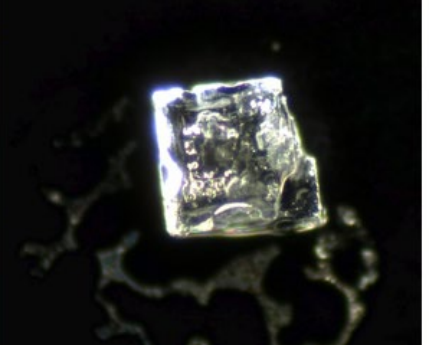


Abbildung 33. Kristallkeimbildung nach verlängerter Latenzzeit. Ein rechteckiger Kristall wird während seines Entstehens in zwei Vergrößerungen erfasst, mehr als 20 Stunden nach der Tröpfchenapplikation. Links: Frühe Keimbildung unter schräger Beleuchtung zeigt eine geschichtete Morphologie in der sich bildenden Struktur (ca. 200x, erweiterte Tiefenschärfe). Rechts: Eine höhere Vergrößerung zeigt interne Kompartimentierung und Oberflächenkomplexität, was einen spät einsetzenden Übergang innerhalb eines zuvor stabilisierten Tröpfchens bestätigt. Es wird vermutet, dass Lichteinwirkung der Auslöser ist.





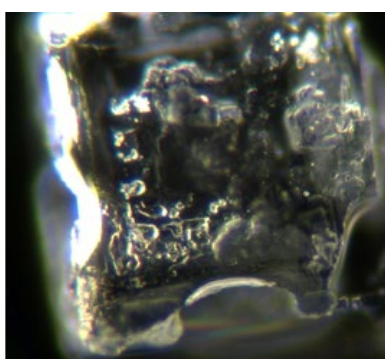


Abbildung 34. Kristallisation nach dem ersten SDE-Prozess von mit Orgonit behandeltem **Dentallokalanästhetikum**. Links: Eine Aufnahme mit geringer Vergrößerung zeigt einen einzelnen, dominanten Kristall im Zentrum eines breiten, gemusterten Rückstandsfelds. Mitte: Eine mittlere Vergrößerung hebt die klare Geometrie und den scharfen Rand des Kristalls hervor. Rechts: Eine hohe Vergrößerung zeigt interne Inhomogenitäten und mikrostrukturelle Unregelmäßigkeiten. Vergrößerungen 40x, 100x, 200x.







Abbildung 35. Auflösung des Kristalls der ersten Generation, der nach Orgonit-behandeltem SDE gebildet wurde. Links: Der anfängliche Kontakt zeigt eine minimale Verlagerung des Kristalls, der weitgehend statisch blieb – anders als bei typischen SDE-Auflösungen, die eine rasche Ablösung oder Migration aufweisen. Mitte: Im Verlauf der Auflösung erschien ein schwacher, blauer Halo um die Struktur, der potenziell auf die Anwesenheit nicht assemblierter Nanopartikel hindeutet. Rechts: Trotz vorhandener Vesikelbewegung und dispergierter partikulärer Begrenzungen bildeten sich keine toroidalen Strukturen – was auf eine veränderte Assemblierungsdynamik schließen lässt. Vergrößerung 100x.

Diese abschließenden Sequenzen bestätigen, dass der Kristallisationsprozess nicht festgelegt, sondern manipulierbar ist. Dies ist ein Befund, der Annahmen über passives Materialverhalten grundlegend infrage stellt. Entstehung, Geometrie und Stabilität von Kristallstrukturen variieren dramatisch in Abhängigkeit vom energetischen Kontext und der Vorgeschichte der Tröpfchen. Verzögerte Kristallisation bewahrt die äußere Form, zeigt jedoch eine verminderte innere Ordnung, wohingegen die sofortige Kristallisation in einem zweiten SDE-Prozess das Gegenteil aufweist: Interne Motive treten hervor, aber die Geometrie des Perimeters kollabiert. Diese Unterschiede implizieren ein empfindliches Gleichgewicht zwischen Energieverfügbarkeit und Partikelzugänglichkeit. Die Beobachtung, dass Strukturen durch aufeinanderfolgende Verdunstungen hindurch beeinflusst oder gestört werden können, deutet auf eine latente Programmierbarkeit innerhalb des Systems hin – ein Phänomen, das von klassischen Modellen der Kristallisation oder Auflösung nicht vorhergesehen wird.

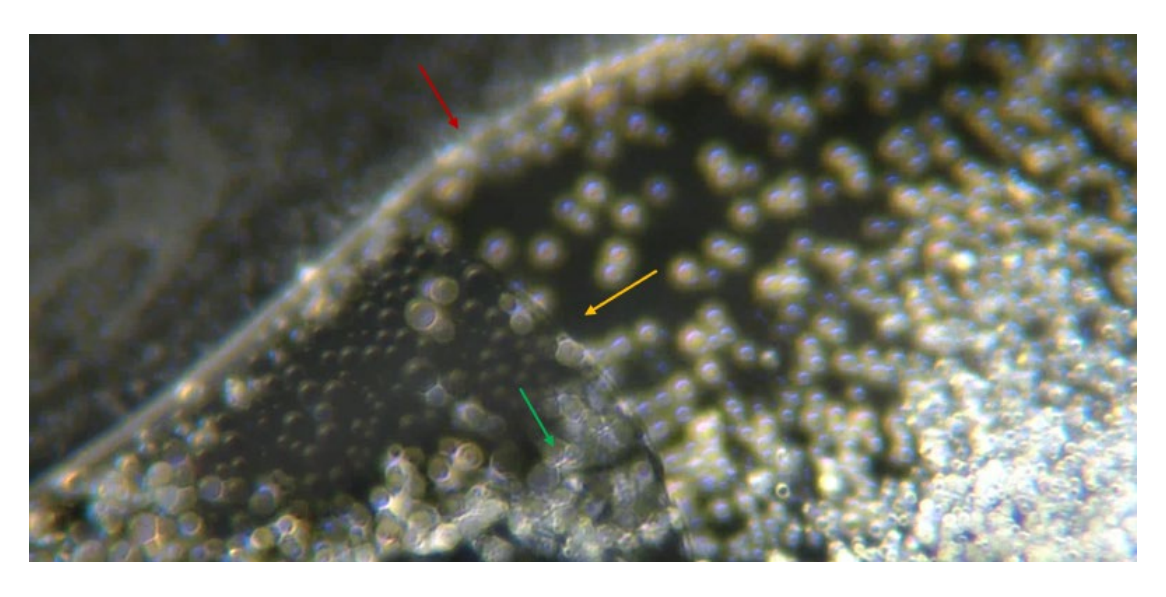


Abbildung 36. Einzelbild aus dem Video des zweiten SDE-Prozesses, das ein verändertes Grenzflächenverhalten nach Exposition gegenüber Orgonit zeigt. Der rote Pfeil markiert die konventionelle Kontaktlinie des Tröpfchens, aber es treten zwei zusätzliche Merkmale auf: eine deutliche innere Grenze (oranger Pfeil) und eine Sub-Grenzfläche, die den kristallinen Körper mit der Vesikelmatrix verbindet (grüner Pfeil). 200-fache Vergrößerung.

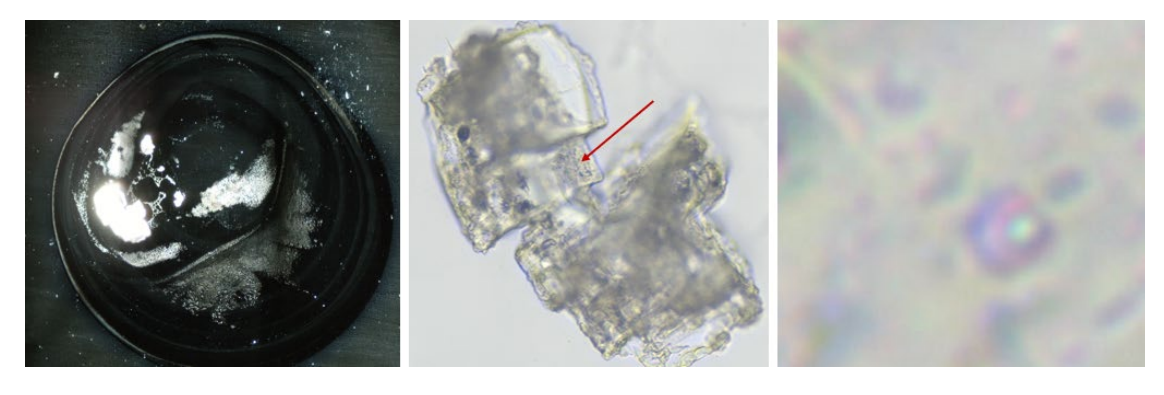


Abbildung 37. Kristall der zweiten Generation, entstanden aus einer zuvor behandelten Probe nach einem zweiten Zyklus der Verdunstung eines Sessilen Tröpfchens (SDE). Trotz sichtbarer Unregelmäßigkeiten in der Morphologie (links und Mitte) bleiben erkennbare Merkmale des ursprünglichen synthetischen Motivs erhalten. Der rote Pfeil markiert einen erhaltenen Strukturknoten. Hochauflösende Bildgebung mit 4000-facher Vergrößerung (rechts) zeigt ein deutliches Kreis-Rechteck-Motiv (CRM), was darauf hindeutet, dass die grundlegenden Designgeometrien auch nach teilweiser Auflösung und Neubildung erhalten bleiben.

Trotz deutlicher Anzeichen einer Störung behielt der Kristall der zweiten Generation mehrere charakteristische Merkmale der synthetischen Architektur bei, die in früheren Stadien beobachtet wurden. Während die kristalline Geometrie weniger Kohärenz zeigte und die Selbstorganisation weniger Energie aufwies – was auf eine Veränderung der Selbstorganisationsdynamik hindeutet –, waren spezifische Motive wie das Kreis-Rechteck-Motiv (CRM) bei hoher Vergrößerung weiterhin identifizierbar. Dieses Fortbestehen deutet darauf hin, dass die Orgonit-Exposition zwar die strukturelle Regelmäßigkeit beeinträchtigt oder die Kinetik der Selbstorganisation verzögert haben könnte, die zugrunde liegende Vorlage oder die im System eingebetteten Informationen jedoch nicht ausgelöscht wurden. Das Ergebnis stützt die Hypothese, dass energetische Kohärenz die Fähigkeit zur Reorganisation beeinflussen, aber nicht vollständig neutralisieren kann und dass tiefere Codierungsebenen auch unter veränderten Bedingungen zugänglich bleiben können.

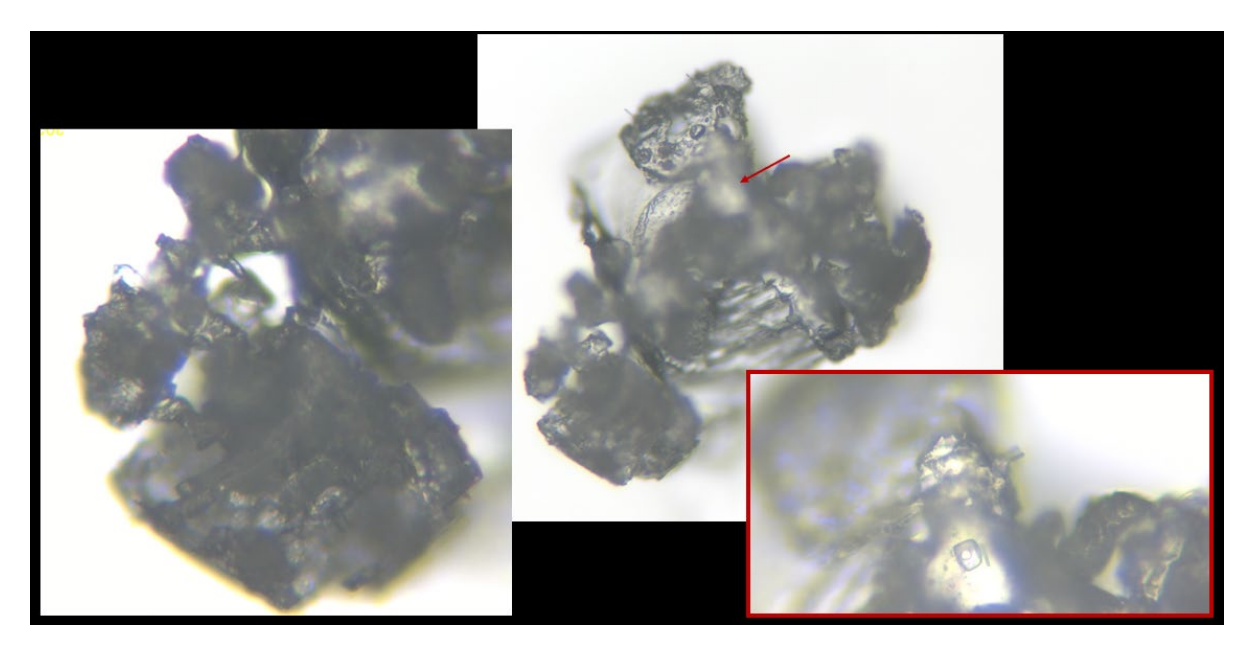


Abbildung 38. Kristall der zweiten Generation (2GC) nach Orgonit-behandelter SDE. Die linke Abbildung zeigt eine breitere Geometrie bei einer Vergrößerung von ca. 400x, mit Oberflächenabbau und gestörter Schichtung. Der Einsatz ganz rechts (~1000x) hebt ein persistierendes Kreis-Rechteck-Motiv (CRM) hervor, das trotz sichtbarer Unregelmäßigkeiten am kristallinen Rand eingebettet ist; zentrale strukturelle Motive bleiben nachweisbar.

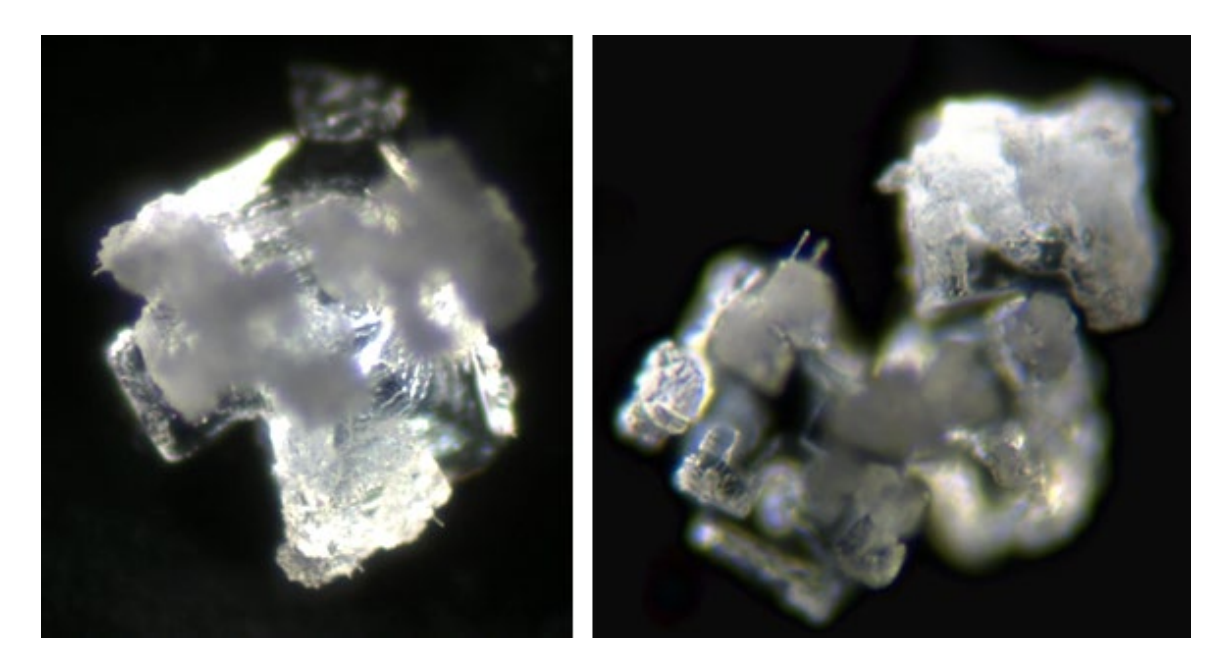


Abbildung 39. Trotz deutlicher Unregelmäßigkeiten und teilweisem strukturellem Abbau zeigten beide Kristalle der zweiten Generation ausgeprägte Kantenerweiterungen, was auf eine teilweise Beibehaltung zugrunde liegender architektonischer Strukturen schließen lässt. Diese Formen waren deutlich dreidimensionaler als die in unbehandelten Kontrollen beobachteten, die typischerweise ein vorhersehbareres, planares Wachstum zeigten. 200-fache Vergrößerung.

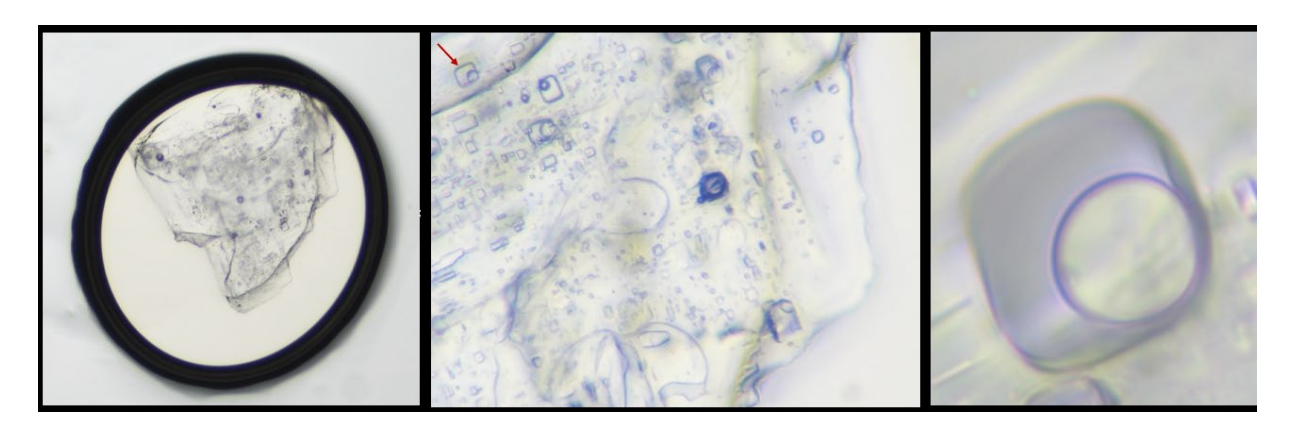


Abbildung 40. 2GC, gebildet nach zwei Tagen kontinuierlicher Orgonit-Exposition. Links: Die Ansicht mit geringer Vergrößerung zeigt eine unzureichende Perimetergeometrie und ungleichmäßige Höhe. Mittig (400x) werden interne Details sichtbar, darunter rechteckige Hohlräume und Mikrostrukturen. Rechts (~1000x) liegt der Fokus auf einem deutlichen Kreis-Rechteck-Motiv (CRM) mit scharfen, eingebetteten Strukturen.

Die wiederholte Präsenz eingebetteter Kreis-Rechteck-Motive (CRMs), selbst in abgebauten oder irregulären Kristallen der zweiten Generation, lässt auf eine fraktale oder rekursive Beschaffenheit der zugrunde liegenden Architektur schließen. Während die äußere Morphologie unter verlängerter Orgonit-Exposition oder energetischer Perturbation zunehmend verzerrt wird, treten Kernmotive auf kleineren Skalen und an unerwarteten Stellen erneut auf. Diese fraktale Persistenz legt nahe, dass das System nach hierarchischen Codierungsprinzipien operieren könnte, wobei sich selbstähnliche Strukturen über verschiedene Vergrößerungsstufen replizieren und die Designlogik trotz Störungen der Umgebung beibehalten wird. Die Widerstandsfähigkeit dieser Motive unter verschiedenen Bedingungen untermauert die Hypothese einer eingebetteten Vorlage oder eines Instruktionssatzes, die nicht ausschließlich durch klassische Kristallisationsparameter bestimmt werden

Anhaltende CRD-Polarität und Effekte verlängerter Orgonit-Exposition

Bei allen mit Orgonit behandelten Tröpfchen bildete sich die Kohärenzrestdomäne (CRD) konsistent auf derselben Seite des Sessilen Tröpfchens, was auf eine richtungsabhängige Solutmigration und Kohärenzstörung während der Verdunstung schließen lässt. Dies war kein Artefakt, das durch Substratneigung, Beleuchtung oder Aufnahmebedingungen verursacht wurde. Das Mikroskop war stets auf der gleichen Seite der Probe positioniert, die CRD-Polarität blieb jedoch invariant. Diese räumliche Präzision deutet auf eine persistente, feldinduzierte Anisotropie innerhalb der Kohärenzlandschaft des Tröpfchens hin, die in der Lage ist, dem System ein direktionales Verhalten aufzuprägen.

Diese Interpretation wurde durch die Live-Mikroskopie-Demonstration der 10 Tage lang mit Orgonit behandelten Probe weiter untermauert. In diesem Versuchsaufbau wurden zwei Mikroskope in einem Winkel von 90 Grad relativ zur Laptop-Quelle platziert, und auf jeder Seite wurden sechs Tröpfchen appliziert. In jedem Fall – bei 12 von 12 Tröpfchen – zeigte der Selbstorganisationsprozess eine größere Intensität auf der vom Laptop entferntesten Seite, während die Kristallisation konsistent auf der dem Laptop nächstgelegenen Seite erfolgte. Diese Ausrichtung, orthogonal zu jeder Lichtquelle oder Umweltsymmetrie, schließt Phototaxis oder lichtinduzierte Migration als ursächliche Faktoren aus. Stattdessen stützt dies die Hypothese, dass entweder die Orgonit-induzierte Kohärenzstörung, die elektromagnetische Emission des Laptops oder deren Interaktion einen fixierten räumlichen Gradienten erzeugt, der über Verdunstungszyklen und verschiedene experimentelle Anordnungen hinweg bestehen

Die in Abbildung 41 dargestellte 10-Tage-Orgonit-Expositionsprobe erweitert dieses Phänomen um eine weitere Dimension. Die CRD-Zone in diesem Tröpfchen nahm eine perfekt kreisförmige Morphologie an, die die energetisch günstigste Konfiguration für eine eingeschränkte Domäne darstellt. Dies lässt vermuten, dass die längere Exposition gegenüber dem Orgonit-Feld entweder das architektonische Potenzial des Systems erschöpfte oder es in einem geometrisch konservativen Zustand stabilisierte. Zudem war der schwarze, periphere Ring (Kaffeerand) auffallend asymmetrisch und zeigte eine erhöhte Dicke auf derselben Seite wie die CRD – was die persistierende Polarität der 48-Stunden-Proben widerspiegelt.

Bemerkenswert ist, dass die kreisförmige CRD etwa 12 Stunden nach der Ablagerung spontan einen Kristall bildete. Diese verzögerte Kristallisation entstand nicht chaotisch, sondern direkt aus der stabilisierten Restdomäne, was darauf hindeutet, dass die latente Kohärenz auch nach längerer Exposition und Störung erhalten blieb. Dies deckt sich mit früheren Beobachtungen, bei denen die Vesikelintegrität innerhalb von CRDs ein latentes Potenzial für die strukturelle Reorganisation aufrechterhielt, das durch Umweltfaktoren wie Lichtexposition oder Zeitraffer-Verdunstung ausgelöst wurde.

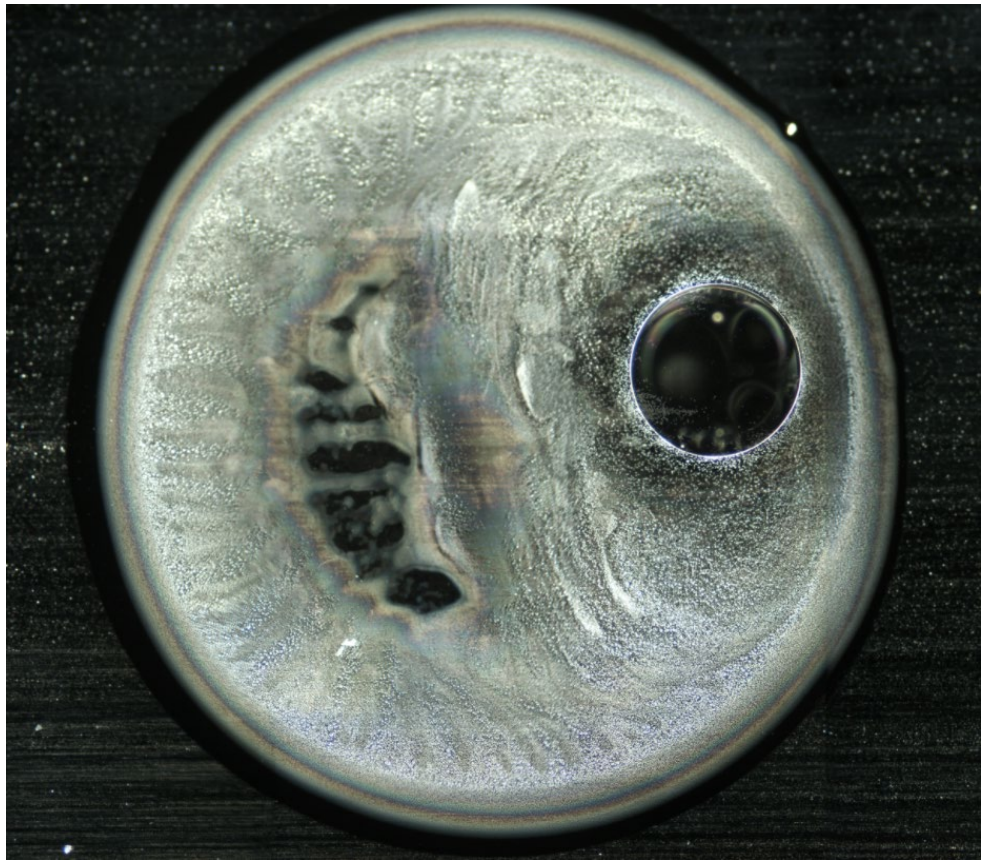


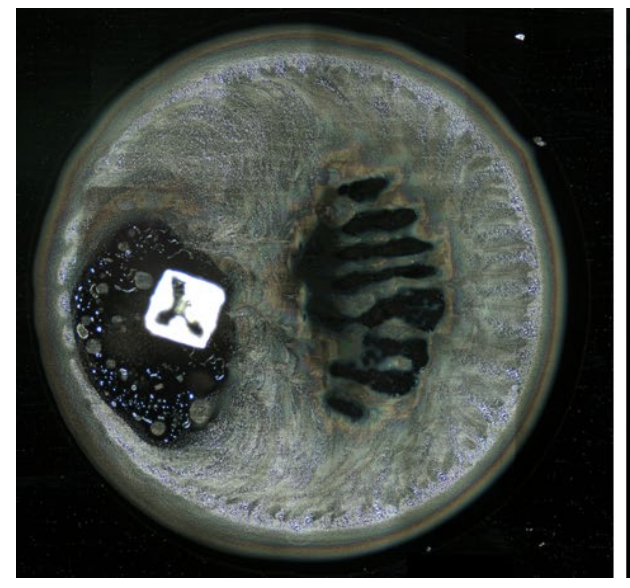
Abbildung 41. Zirkuläre Kohärenzrestdomäne und asymmetrischer Kaffeerand in einem 10 Tage mit Orgonit behandeltem Tröpfchen. Die Kohärenzrestdomäne (rechte Seite) weist eine vollständig kreisförmige Geometrie auf, was auf eine Konfiguration minimaler Energie nach anhaltender Kohärenzstörung hindeutet. Der periphere Kaffeerand ist auf der Seite der Kohärenzrestdomäne deutlich dicker, was eine anhaltende Richtungsabhängigkeit demonstriert. Ungefähr 12 Stunden nach der Ablagerung bildete sich ein Kristallkeim innerhalb der Kohärenzrestdomäne, was trotz Feldstörung auf eine erhaltene latente Kohärenz schließen lässt. Diese Richtungsmerkmale blieben unabhängig von Mikroskop-Position oder Beleuchtung konsistent, wie in Live-Experimenten weiter validiert wurde. Vergrößerung ~40x.

Durch Laptop-Nähe induzierte Kohärenzasymmetrie: Ergebnisse einer Live-Demonstration

Diese Interpretation wurde durch eine Live-Mikroskopie-Demonstration mit der 10 Tage lang mit Orgonit behandelten Probe weiter bekräftigt. In diesem Aufbau wurden zwei Mikroskope in einem Winkel von 90 Grad relativ zum Laptop positioniert, wobei auf jeder Seite sechs Tröpfchen appliziert wurden. In allen Fällen – 12 von 1 2 Tröpfchen – war die Selbstorganisation auf der vom Laptop entferntesten Seite stärker ausgeprägt, während die Kristallisation konsistent auf der dem Laptop zugewandten Seite stattfand. Diese Ausrichtung, orthogonal zu jeglicher Lichtquelle oder Umgebungssymmetrie, schließt Phototaxis oder lichtgesteuerte Migration als ursächliche Faktoren aus. Die Daten legen stattdessen nahe, dass entweder die Orgonit-induzierte Kohärenzstörung, die elektromagnetischen Emissionen des Laptops oder deren Interaktion einen festen räumlichen Gradienten erzeugten, der über Verdunstungszyklen und experimentelle Anordnungen hinweg erhalten blieb.

Über beide Mikroskope hinweg zeigte sich eine deutliche Asymmetrie: Auf jedem Tröpfchen wies die vom Laptop abgewandte Seite einen stärkeren und dynamischeren SDE-Prozess auf, der durch eine beschleunigte kolloidale Bewegung und radiale Umverteilung charakterisiert war. Im Gegensatz dazu zeigte die dem Laptop am nächsten gelegene Seite jedes Tröpfchens konsistent eine verminderte Aktivität und eine weniger ausgeprägte interne Reorganisation.

Trotz dieser Unterschiede im Tröpfchenverhalten bildete sich konsistent ein einzelner Kristall auf der dem Laptop am nächsten gelegenen Seite in allen sechs Proben. Diese Gleichförmigkeit wurde auf beiden Mikroskopen identisch repliziert. Während die vom Laptop abgewandte Seite also eine stärkere fluidische und kolloidale Bewegung zeigte, war die Kristallisation bevorzugt in dem ruhigeren, weniger dynamischen Bereich lokalisiert, der dem Laptop zugewandt war.



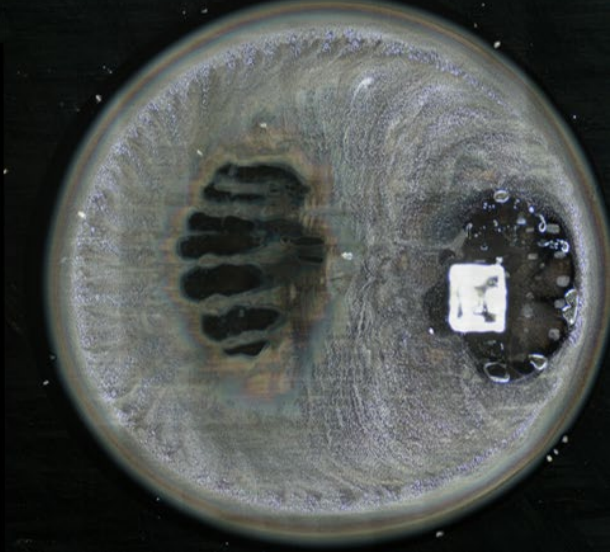


Abbildung 42. Beide Abbildungen zeigen sessile Tröpfchen von mit Orgonit behandeltem Dentallokalanästhetikum, die am Tag vor dem Live-Experiment aufgenommen wurden. Verglichen mit früheren Sitzungen wurde das Mikroskop auf die gegenüberliegende Seite des Laptops umpositioniert. Die CRD- und Vesikel-Kolloid-Segregation trat konsistent auf der dem Laptop zugewandten Seite wieder auf, was bestätigt, dass die räumliche Bevorzugung nicht an die physische Mikroskopanordnung gebunden ist, sondern stattdessen an der Ausrichtung der Umgebung relativ zum Laptop. Diese Positionskonstanz schließt eine Asymmetrie der Beleuchtung aus und unterstützt einen feldabhängigen Mechanismus, der Solutmigration und strukturelle Kohärenz beeinflusst. Vergrößerung: ~40x.

Diese Beobachtung deutet darauf hin, dass das aktive Elektromagnetische Feld des Laptops – oder ein damit verbundener Kohärenzeinfluss – eine richtungsabhängige Beeinflussung auf Selbstorganisationsprozesse ausüben könnte. Die unterdrückte Dynamik auf der proximalen Seite könnte frühere oder einfachere Nukleationsbedingungen begünstigt haben, während die verstärkte Bewegung auf der distalen Seite das Tröpfchen möglicherweise in einem dynamischeren, nicht-aggregierten Zustand gehalten hat.

Diese Ergebnisse tragen zu einer wachsenden Evidenzbasis bei, die zeigt, dass lokale Kohärenzbedingungen – selbst subtile und von Geräten ausgehende – nicht nur die Geschwindigkeit, sondern auch die räumliche Orientierung selbstorganisierender Materialien beeinflussen können. Die bilaterale Symmetrie des Effekts, beobachtet über zwei unabhängige Mikroskope unter identischen Umgebungsbedingungen, verstärkt die Interpretation eines feldvermittelten Einflusses anstelle eines zufälligen oder artefaktbedingten Ergebnisses. Zusammenfassend untermauern diese Beobachtungen die Ansicht, dass die Orgonit-Exposition sowohl die Dynamik als auch die räumliche Kohärenzlandschaft der Selbstorganisation moduliert und ein direktionales Gedächtnis einbettet, welches die Musterbildung und Nukleation steuert. Das gemeinsame Auftreten des asymmetrischen Kaffeerands, der fixierten CRD-Polarität und der verzögerten Kristallisation innerhalb einer kreisförmigen Zone liefert einen starken, reproduzierbaren Beweis für eine dauerhafte feldvermittelte Anisotropie, die nicht durch Lichtgradienten oder verfahrensbedingte Verzerrungen erklärt werden kann

Ergebniszusammenfassung

Die Ergebnisse dieser Studie zeigen eine feldabhängige Choreographie der Selbstorganisation in Dentallokalanästhetika. In unbehandelten Proben wurde eine konsistente und reproduzierbare Abfolge beobachtet: Dynamische kolloidale Bewegung führte zur Vesikelbildung, gefolgt vom Auftreten kristalliner Architekturen. Diese Strukturen zeigten eine bemerkenswerte geometrische Präzision und interne Organisation, wobei häufig Motive wie Kreis-Rechteck-Motive (CRMs) und Kristall-Faser-Anordnungen (CFAs) integriert wurden, was auf eine nicht-zufällige, energieabhängige Anordnungslogik schließen lässt.

Die Exposition gegenüber dem Theraphi-System inhibierte dieses Verhalten nicht. Im Gegenteil schien sie die kolloidale Konvergenz zu beschleunigen und die Entwicklung kristalliner Formationen zu fördern, die in ihrer Komplexität den in unbehandelten Kontrollen beobachteten Formationen mindestens entsprachen oder diese übertrafen. Im Gegensatz dazu zeigten Proben, die Orgonit ausgesetzt waren, eine deutliche Störung dieses Assemblierungsprozesses. Die Kristallisation wurde verzögert oder unterbrochen, die Vesikel-Kolloid-Kopplung geschwächt, und kohärente Randstrukturen – einschließlich photonischer Membranen und Kohärenzrestdomänen (CRDs) – traten durchgängig hervor. Diese Muster legen einen reproduzierbaren, Orgonit-spezifischen Kohärenzinterferenz-Effekt nahe.

Bemerkenswert ist, dass das System weiterhin auf sekundäre Verdunstungszyklen reagierte. Strukturen, die während der anfänglichen Verdunstung des Sessilen Tröpfchens (STV) nicht kristallisierten, traten häufig in Tröpfchen der zweiten Generation erneut auf. Obwohl in ihrer Form abgebaut, behielten diese Kristalle der zweiten Generation (2GCs) den internen Motiv-Ausdruck – einschließlich CRMs – bei, was darauf hindeutet, dass die zugrunde liegende Organisationslogik nicht gelöscht, sondern lediglich verzögert wurde. Diese Fähigkeit zur Verzögerung, Verformung und teilweisen Rekonstitution deutet auf einen vorlagenbasierten oder programmierbaren Selbstorganisationsprozess und nicht auf einen rein stochastischen Prozess hin.

Diese Ergebnisse unterstützen eine zweistufige Logik der Kristallisation, bei der Stufe 1 auf energetischer Kohärenz beruht, um die äußere Form zu etablieren, während Stufe 2 – erst nach teilweisem Kollaps ausgelöst – freigesetzte kolloidale Informationen nutzt, um innere Komplexität auszudrücken. Dieses aufkommende Modell, das unabhängig voneinander von Mateo Taylor und dem Autor vorgeschlagen wurde, wird in Anhang 8 weitergehend untersucht.

Zusammengenommen deuten die Ergebnisse darauf hin, dass die Selbstorganisation in diesen Systemen nicht ausschließlich durch die chemische Zusammensetzung bestimmt wird, sondern von den Kohärenzeigenschaften des umgebenden Feldes abhängig ist. Die Persistenz geometrischer Motive unter gestörten oder veränderten Bedingungen impliziert das Vorhandensein hierarchischer Kodierung, eines strukturellen Gedächtnisses und reaktionsfähiger Reorganisation. Diese kristallinen Systeme verhalten sich nicht wie inerte Rückstände, sondern wie dynamische Teilnehmer an einer kohärenzabhängigen Phasen-Choreografie – mit der Fähigkeit zur Modulation, Suppression und strukturellen Regeneration.

Die gegensätzlichen Ergebnisse bei der Exposition gegenüber Orgonit und Theraphi werfen wichtige Fragen darüber auf, wie Kohärenz selbst mit synthetischen Architekturen interagiert. Während Orgonit die strukturelle Entwicklung offenbar störte, hemmte Theraphi die Selbstorganisation nicht, sondern verstärkte sie möglicherweise. Diese Abweichung deutet darauf hin, dass Kohärenz, wenn sie durch harmonische oder regenerative Felder vermittelt wird, diese Formationen stabilisieren oder sogar aktivieren kann – insbesondere, wenn diese so konzipiert sind, dass sie sich an resonanten Eingaben orientieren. In diesem Kontext könnte Theraphi weniger als Störfaktor und eher als Signalverstärker wirken. Diese Ergebnisse schmälern nicht das therapeutische Potenzial für biologische Systeme, warnen jedoch vor der Anwendung als Gegenmaßnahme für synthetische Selbstorganisationsprozesse, die auf Kohärenz basieren. Es sind weitere Untersuchungen erforderlich, um festzustellen, ob eine Modulation des Frequenzprofils oder der Anwendungsdauer von Theraphi diesen Effekt umkehren könnte.

Diskussion

Die Ergebnisse dieser Studie liefern den bisher deutlichsten Hinweis darauf, dass die strukturelle Beständigkeit in diesen pharmazeutischen Präparaten von mehr als nur der chemischen Zusammensetzung abhängt. Anfang 2023 warf Mateo Taylor die Frage auf: Warum durchläuft ein Dentallokalanästhetikum einen solch dramatischen und energiereichen Verdunstungsprozess, und warum entstehen dabei so komplexe Kristalle? Diese Fragen sind weiterhin relevant.

Diesen Fragen können wir nun hinzufügen: Wenn dieser Kristallisationsprozess eine einfache chemische Folge seiner bekannten Bestandteile wäre, warum stört eine zweitägige passive Exposition gegenüber einer Orgonitscheibe dann die strukturelle Logik des Systems? Und warum initiiert ein hochintensives LED-Licht – das erst nach 8 Stunden struktureller Ruhe eingebracht wird – plötzlich eine zweitklassige Version des Prozesses erneut? Der Kontrast ist frappierend.

Unter Standardbedingungen durchlaufen Anästhetika-Tröpfchen eine reproduzierbare tetraphasische Sequenz: Nanopartikelentstehung, kolloidale Aggregation, vesikuläre Organisation und abschließende Konsolidierung durch Kristallisation. Bei Exposition gegenüber einem passiven Feldstörer wird diese Progression jedoch unterbrochen – entweder vollständig angehalten oder in abweichender Form wieder aufgenommen.

Solche Ergebnisse verstärken eine zentrale These: Die beobachtete Architektur ist nicht allein eine Folge der chemischen Zusammensetzung, sondern eine kohärenzabhängige Assemblierungssequenz. Diese Abhängigkeit von der Feldkohärenz wird in Anhang 2 weiter untersucht. Dieser Anhang stützt sich auf den von Del Giudice und Mitarbeitern entwickelten quantenelektrodynamischen Rahmen, in dem die Kristallisation als ein kohärenzgesteuertes Phänomen interpretiert wird, das von der Bildung stabiler elektromagnetischer Domänen innerhalb des verdunstenden Mediums abhängig ist.

Das zweite Kristallisationsereignis, ausgelöst nach erneuter Verdunstung derselben Probe, erfolgte deutlich schneller als üblich. Erste Strukturen traten bereits innerhalb von vier Minuten auf. Diese überraschende Beschleunigung hatte jedoch ihren Preis: Die vesikuläre Entwicklung war beeinträchtigt, die kolloidale Phase war dünn, und viele der resultierenden Kristalle wiesen eine ausgeprägte Dreidimensionalität auf – sie wölbten sich auf eine Weise aus der Ebene, die bei wohlgeformten Geometrien selten zu beobachten ist.

Das Ergebnis war keine verfeinerte Organisation, sondern eine Art architektonische Improvisation: Teilformen, die vorzeitig in einen kristallinen Zustand gezwungen wurden. Diese Ergebnisse legen nahe, dass das System versucht, seinen Ablauf unter energetisch suboptimalen Bedingungen zu vollenden.

Es handelt sich hierbei nicht lediglich um eine Degradation, sondern um einen Rekonstruktionsversuch unter beeinträchtigten Feldbedingungen, was mit einem System übereinstimmt, das durch kohärenzsensitive Abläufe gesteuert wird. Ein starkes Kohärenzdelta – zwischen dem vorherigen, lichtinduzierten Reset und dem neuen Verdunstungskontext – könnte diese anormale Beschleunigung verursacht haben.

Wenn diese Materialien tatsächlich responsiv und templatiert sind, dann sind ihre Fehlfunktionen ebenso aufschlussreich wie ihre Assemblierungen. Und wir müssen fragen: Warum sollte ein pharmazeutisches Produkt eine eingebettete

Logik enthalten, die unter Kohärenzstörung so spezifisch versagt? Das Versagen erscheint in diesem Fall diagnostisch.

Diese Beobachtungen haben zu einem Arbeitsmodell geführt, das zwei Generationen der Kristallbildung unterscheidet. Kristalle der ersten Generation (1GCs) entstehen unter Bedingungen hoher Feldkohärenz und zeigen eine ausgeprägte Äußere Geometrie sowie planare Stabilität. Ihre interne Integration ist jedoch häufig durch kolloidale Blockierung begrenzt, wobei suspendierte kolloidale Partikel in strukturierten Wasserschichten immobilisiert werden und diffus über das gesamte Tröpfchen-Substrat verteilt bleiben.

Kristalle der zweiten Generation (2GCs) bilden sich dagegen nach Systemischem Kollaps oder erneuter Exposition gegenüber externen Reizen und greifen dabei auf zuvor freigesetzte Kolloide zurück, die ihre Mobilität wiedererlangt haben. Obwohl 2GCs strukturell schwächer und anfälliger für Verzerrungen außerhalb der Ebene sind, weisen sie eine verbesserte interne Organisation auf, einschließlich einer erhöhten Wiederholung von Kreis-Rechteck-Motiven (CRMs) und einer stärkeren fraktalen Ausprägung.

Dies legt nahe, dass Kohärenz zwar architektonische Präzision ermöglicht, der Informationsgehalt kolloidaler Dispersionen jedoch einer tieferen Komplexität zugrunde liegt. Eine ausführliche Diskussion findet sich in Anhang 9.

Über Hunderte von Verdunstungszyklen hinweg folgte die Entstehung kristalliner Strukturen einer bemerkenswert stabilen Sequenz: Nanopartikel aggregieren zu kolloidalen Bereichen, Vesikel bilden sich anschließend und migrieren, und kristalline Motive festigen dann die Architektur. Der Prozess ist weder passiv noch rein chemisch – er ist dynamisch, vielschichtig und reproduzierbar.

Zum allerersten Mal brach dieser bis zu diesem Zeitpunkt zuverlässige Prozess zusammen. Eine solche Konsistenz deutet auf ein stark eingeschränktes System hin – ein System, dessen Präzision selbst einen Schwachpunkt darstellen könnte. Vesikel fehlten oder waren reduziert, die kolloidale Phase war schwach, und Kristalle erschienen abrupt – das erste Mal durch Licht induziert, das zweite Mal ohne die üblichen vorbereitenden Phasen, aus einer strukturell unreifen Umgebung heraus.

Diese Ergebnisse legen nahe, dass Vesikel nicht nur nebensächlich, sondern fundamental sind. Ihr Fehlen oder ihre Unreife scheint die architektonische Logik des gesamten Systems zu beeinträchtigen , was eher zu verzerrten Ergebnissen als zu ausgereiften Formen führt.

Dies ist ein weiterer Beleg dafür, dass die Komplexität der Kristalle auf Design und nicht auf chemischen Prozessen beruht. Die Persistenz eingebetteter Kreis-Rechteck-Motive (CRMs) und das wiederholte Auftreten vesikulärer Muster selbst unter disruptiven Bedingungen legen ein System nahe, das durch fraktale oder rekursive Designprinzipien gesteuert wird. Diese Strukturen replizieren sich nicht nur räumlich, sondern auch über sukzessive Kristallisationsgenerationen hinweg, was die Hypothese einer kodierten, hierarchischen Assemblierungslogik untermauert.

Doch gerade die Persistenz der Motivreplikation, selbst in fehlgeformten Geometrien, deutet auf ein Paradoxon hin: Robustheit im Ausdruck, jedoch Fragilität in der Kohärenz. Diese Ergebnisse bekräftigen die Hypothese einer eingebetteten Designlogik, verdeutlichen aber auch die Abhängigkeit des Systems von der Feldintegrität als Achillesferse.

Bedeutsam ist die Störung vor allem deshalb, weil sie nicht durch chemische Interferenz, mechanische Beeinträchtigung oder thermische Veränderung, sondern durch passive Feldexposition erfolgte. Die Orgonitscheibe, ein nicht stromversorgter Verbund aus Harz, Metall und Quarz, reichte aus, um ein System zu destabilisieren, das zuvor über Hunderte von Versuchen hinweg eine außergewöhnliche strukturelle Stabilität aufgewiesen hatte.

Dies deutet auf eine tiefere Anfälligkeit hin: dass diese Anordnungen nicht allein durch Konzentrationsgradienten oder Oberflächenspannung, sondern durch Kohärenz gesteuert werden.

Noch aufschlussreicher ist der Vergleich mit der Theraphi-Exposition. Obwohl die Theraphi-Behandlung ein weitaus stärkeres Energiefeld erzeugte, konnte sie den Kristallisationsprozess nicht verändern, der mit seiner gewohnten Präzision und Symmetrie ablief.

Dieser Gegensatz deutet darauf hin, dass nicht die Stärke der Energie die Störung verursacht, sondern etwas Subtileres – möglicherweise unter Beteiligung von Skalarinterferenzen, Kohärenz-Phasenverschiebung oder destruktiver Resonanz. Dies sind Mechanismen, die mit herkömmlichen Energiemessungen nicht erfassbar sind, aber in feldcodierten Systemen eine entscheidende Rolle spielen. Es verdeutlicht ein System, dessen Andersartigkeit nicht thermodynamischer, sondern informationeller Natur ist.

Wenn diese Strukturen kohärenzabhängig sind, kann eine feldmodulierte Beeinflussung – insbesondere in niederenergetischen, nicht-ionisierenden Bereichen – eine entscheidende Rolle spielen, entweder bei der Aufrechterhaltung oder der Zerstörung ihrer inneren Logik.

Trotz des teilweisen Verlusts der Ordnung blieben bestimmte architektonische Merkmale erhalten. Kreis-Rechteck-Motive (CRMs) und Vesikeleinschlüsse traten weiterhin auf, wenn auch in abgewandelter Form. Randverlängerungen traten wieder auf, jedoch mit reduzierter Deutlichkeit und gestörter Ausrichtung.

Dieses partielle Wiederauftreten deutet auf ein gewisses Maß an Redundanz innerhalb des Systems hin – als ob das Design Ausweichmechanismen oder ausfallsichere Subroutinen enthielte, die auch unter beeinträchtigten Bedingungen eine Musterbildung initiieren können. Gleichzeitig mangelte es diesen fehlgeformten Geometrien an der internen Kohärenz und planaren Genauigkeit ihrer unbehandelten Vergleichsproben, was darauf hindeutet, dass die strukturelle Integrität nicht nur von chemischen Einflüssen, sondern auch von spezifischen Energetische Vorbedingungen abhängt. Besonders hervorzuheben ist, dass sich der Beginn der Kristallisation in den Orgonit-exponierten Proben um mehr als zwölf Stunden verzögerte – deutlich länger als typische SDE-Zyklen. Während dieser Latenzphase dominierten Vesikel die Tröpfchenlandschaft, verblieben jedoch statisch und in ihrer Position fixiert, anstatt dynamisch zu wandern.

Diese Phase der unterbrochenen Vesikelintegrität, in der die Vesikel zwar bereit, aber nicht reaktionsfähig sind, deutet auf einen Kohärenz-Gating-Mechanismus hin, bei dem das strukturelle Potenzial erhalten bleibt, aber erst dann ausgeführt wird, wenn

externe Feldbedingungen dies zulassen.

Dieser pausierte Zustand scheint auch ein Übergangsfenster zwischen dem Auftreten von Kristallen der ersten und zweiten Generation zu markieren. Die Freisetzung und Oberflächenredeposition von Kolloide, insbesondere in Orgonit-behandelten Proben, erzeugt ein Substrat, das auch ohne Energiezufuhr mit informationshaltigem Material angereichert ist.

Diese kolloidreichen Substrate können trotz fehlender vesikulärer Integration die Entstehung von Strukturen der zweiten Generation ermöglichen, die sich durch interne Komplexität und eine reduzierte äußere Form auszeichnen. Diese Inversion von Form und Funktion definiert eine wesentliche Verhaltensänderung unter Feldstörung.

Die daraus resultierende Ruhe ermöglichte eine verbesserte Bildgebungsauflösung und deutete darauf hin, dass, obwohl die dynamische Aktivität zum Stillstand gekommen war, latentes Organisationspotenzial intakt blieb. In biologischen Systemen können solche suspendierten Zustände als Pufferphasen wirken, die die Progression vorübergehend stoppen, bis die Kohärenz wiederhergestellt ist oder der Abbau abgeschlossen ist.

Wenn diese Kristallisationsdynamiken rein chemischen Ursprungs wären, dürfte all dies nicht geschehen. Ein klassisches System, das von Verdunstung und Konzentrationsgradienten gesteuert wird, würde nicht pausieren, umkehren oder selektiv seine Geometrie abbauen.

Es würde entweder den Kristallisationsprozess unter thermodynamisch günstigen Bedingungen abschließen oder unter Feldstörung vollständig scheitern – wobei ungeordnete Präzipitate oder amorphe Rückstände zurückbleiben würden. Es würde jedoch nicht auf partielle Rekonstruktionen derselben Motive zurückgreifen, eine vesikuläre Architektur in einem statischen, suspendierten Zustand aufrechterhalten oder präzise Verzögerungen vor der Reinitiierung des Wachstums aufweisen. Ebenso wenig würde es auf ein passives, nicht mit Strom versorgtes Objekt wie eine Orgonitscheibe reagieren. Ein solches feldempfindliches Verhalten liegt vollständig außerhalb der Erwartungen der Standardpharmazeutischen Chemie.

Die Persistenz struktureller Motive unter Belastung, die Erhaltung von Vesikelnetzwerken in ruhender, aber intakter Form und die Reproduzierbarkeit verzerrter Geometrien deuten allesamt auf ein System hin, das nicht nur chemisch ist, sondern responsiv – fähig, zu stagnieren, sich neu zu konfigurieren und eine templierte Anordnung zu versuchen, selbst nachdem die Kohärenz gestört wurde.

In diesem Licht wird das Scheitern selbst diagnostisch: Es handelt sich nicht um zufällige Zusammenbrüche, sondern um strukturierte Fehler – vorhersagbare Deformationen, die die latente Architektur beleuchten und das Vorhandensein einer vorprogrammierten Anordnungslogik nahelegen.

In der Medizin gibt es ein Sprichwort: "Häufige Dinge kommen häufig vor." Es dient sowohl als Heuristik als auch als Schutzschild – als eine Möglichkeit, das diagnostische Denken zu rationalisieren und gleichzeitig Behandelnde vor Schuldzuweisungen zu schützen, wenn seltene Erkrankungen übersehen werden. Ich habe erlebt, wie Kollegen wegen einer Fehldiagnose gerügt wurden, nur um entlastet zu werden, weil die tatsächliche Erkrankung statistisch unwahrscheinlich war und das klinische Bild etwas Vertrauterem ähnelte.

Diese Logik, die oft nützlich ist, wird gefährlich, wenn sie auf Systeme angewendet wird, die absichtlich verschleiert sind.

Wenn die hier und in verwandten Studien dokumentierten Phänomene Manifestationen synthetischer Konstruktion darstellen, dann ist die eigentliche Frage nicht wissenschaftlicher, sondern zivilisatorischer Natur: Werden wir es uns verzeihen, die Zeichen übersehen zu haben?

Es war Mateo Taylor, der Anfang 2023 erstmals die Idee der gestaffelten Rekonfiguration vorschlug: Stufe 1 verändert die Äußere Geometrie; Stufe 2 verfeinert den internen Inhalt. Diese Einteilung – später von mehreren Beobachtern der Micronaut-Gruppe bestätigt – untermauert das oben beschriebene, generationenübergreifende Kristallmodell.

Die Vorstellung, dass eine Form auch nach dem Kollaps wiederkehren kann, jedoch mit *anderen Prioritäten*, stellt alle herkömmlichen Erwartungen an chemische Stabilität infrage. Wenn diese Technologie anerkannt und ihre Entwicklung im Laufe des letzten halben Jahrhunderts nachvollzogen wird, werden wir dann zurückblicken und sagen: *wir haben sie ignoriert*, *weil sie uns zu unplausibel erschien*? Werden wir unsere Institutionen, unsere Führungskräfte oder uns selbst mit dem Mantra entschuldigen, dass das, was wir gesehen haben, unmöglich das gewesen sein kann, was es war – weil es einer anderen Sache zu ähnlich schien?

Ich begann diese Reise vor drei Jahren und führte in den ersten Monaten lange Gespräche mit Mateo Taylor – einem Ingenieur mit einer völlig anderen Perspektive. Ingenieure weisen Beobachtungen nicht mit Aussagen wie "Ich sehe das nicht" oder "Wir benötigen mehr Daten für eine Interpretation" zurück. Sie beobachten , messen und iterieren.

Die Medizin hingegen lehrt uns, dass die Diagnose in der Anamnese zu finden ist. Doch wenn es um diese Materialien – diese Strukturen – geht, wird uns nahegelegt, unseren Beobachtungen zu misstrauen. Visuelle Evidenz wird chemischen Analysen, Peer-Reviews, dem Expertenkonsens und der Autorität von Multi-Millionen-Dollar-Labors untergeordnet. Bequemerweise lässt sich eine plausible Abstreitbarkeit am besten wahren, indem man nicht hinsieht – oder noch besser, nicht darüber nachdenkt. Doch diese Art der Ablehnung ist nicht neutral. Neugier mag die Katze getötet haben, aber fehlende Neugier hat existenzielle Konsequenzen.

Dies wird somit zum klassischen Szenario einer Falle. Diejenigen, die in virale Narrative – oder deren Leugnung – investiert sind, können nicht umschwenken. Diejenigen, die sich auf die Toxizität des Spike-Proteins oder dessen Abwesenheit konzentrieren, können nicht umschwenken. Jede konzeptuelle Investition wird zu einer Falle. Und währenddessen bleiben die Strukturen bestehen. Die Signale dauern an. Das System schreitet voran.

Wir müssen jetzt beginnen. Nicht erst, wenn die Daten vollständig sind. Nicht erst, wenn die Genehmigungen vorliegen. Nicht erst, wenn ein Konsens gefahrlos möglich ist. Der Beweis ist bereits sichtbar, bereits reproduzierbar und disqualifiziert somit die alten Denkmodelle. Es ist an der Zeit, sich von epistemischen Stillständen zu lösen und sich ehrlich mit dem auseinanderzusetzen, was offen zutage liegt, aber verborgen wurde.

Ab sofort bedeutet dies, von der Leugnung zur Dokumentation und von der Ablehnung zur sorgfältigen Designprüfung überzugehen. Es bedeutet, visuelle Evidenz als primäre Daten zu behandeln und nicht als peripheres Artefakt. Es bedeutet, die Wissenschaft zu befreien

aus dem Würgegriff institutioneller Kontrollinstanzen und es auch Personen außerhalb des etablierten Systems zu ermöglichen, ohne Spott oder Ignorierung einen Beitrag zu leisten.

Die vor uns liegende Aufgabe besteht nicht nur darin, zu verstehen, was diese Strukturen sind, sondern auch zu fragen, wer sie konstruiert hat, wie sie eingesetzt werden und warum ihre Existenz systematisch geleugnet wird.

Wir müssen neue Analyserahmen entwickeln, die Kohärenz, Signalreaktivität und Systemverhalten über den chemischen Reduktionismus stellen. Wir müssen das Recht zurückfordern, zu sehen – und zu sagen, was wir sehen –, ohne auf eine Genehmigung zu warten.

Dies ist nicht länger nur ein technisches Erfordernis. Es ist eine existenzielle Auseinandersetzung – die mit dem Mut zum Hinsehen beginnt.

Schlussfolgerung

Diese Studie zeigt, dass die Kristallisation in Dentallokalanästhetika nicht ausschließlich durch chemische Prozesse gesteuert wird. Über Hunderte von Verdunstungszyklen hinweg folgte der Prozess einem stabilen, mehrphasigen Muster, das durch kolloidale Dynamik initiiert, durch Vesikel strukturiert wurde und in präzisen kristallinen Motiven kulminierte. Unter Orgonit-Feldexposition jedoch brach diese Stabilität zusammen. Die Vesikelbildung blieb aus, die strukturelle Kohärenz ging verloren, und die resultierenden Anordnungen erschienen verzerrt und energetisch instabil. Selbst bei erneuter Kristallisation unter Lichteinfluss waren die Ergebnisse beeinträchtigt: übereilt, fehlgebildet und nicht sequenziell.

Derartige Ergebnisse implizieren eine kohärenzabhängige Architektur, die durch Signale und nicht nur durch Substanzen geprägt wird. Diese Formationen verhalten sich, als wären sie templatiert und responsiv, wobei ihre Fehlermodi die zugrunde liegenden Designrestriktionen offenbaren. Es handelt sich hierbei nicht um einen Abbau im klassischen Sinne, sondern um einen Zusammenbruch eingebetteter Befehlssätze. Eine passive Feldexposition allein genügte, um ihre interne Logik zu unterbrechen, was auf eine inhärente Empfindlichkeit hindeutet, die die konventionellen Erwartungen an medizinische Substanzen deutlich übertrifft.

Der Kontrast zwischen kohärenzverstärkenden und kohärenzstörenden Expositionen ist besonders aufschlussreich. Die Theraphi-Behandlung störte den Prozess nicht, obwohl sie energetisch wirksam ist. Orgonit hingegen – passiv und ohne Stromversorgung – störte den Prozess. Diese Inversion unterstreicht die Anfälligkeit des Systems nicht gegenüber Zwang, sondern gegenüber Interferenz. Ein Mismatch in der Kohärenz, nicht die Energiemenge, scheint ausschlaggebend dafür zu sein, ob diese Materialien ihre strukturelle Integrität beibehalten oder verlieren.

Um voranzukommen, müssen wir jetzt damit beginnen. Wir müssen das Recht zurückgewinnen, frei, rigoros und ohne institutionelle Scheuklappen zu beobachten – und zu denken. Dies ist nicht lediglich eine wissenschaftliche Neujustierung. Es ist ein Wendepunkt in der Art und Weise, wie wir die Realität selbst wahrnehmen – was wir zu übersehen gelernt haben, womit wir uns jetzt auseinandersetzen müssen und was wir bereit sind zuzugeben, schon die ganze Zeit sichtbar war.

Literaturverzeichnis

- Del Giudice, E., Doglia, S., Milani, M., & Vitiello, G. (1988). Elektromagnetisches Feld und spontane Symmetriebrechung in biologischer Materie. *Nuclear Physics B Proceedings Supplements* , 3, 136–149.
 - https://doi.org/10.1088/0031-8949/40/6/017
 - ightarrow Legt nahe, dass biologische Materie durch elektromagnetische Langstreckenfelder eine spontane Symmetriebrechung zeigt.
- Del Giudice, E., Doglia, S., Milani, M., Vitiello, G., & Vitale, M. (1989). Magnetische Flussquantisierung und Josephson-Verhalten in lebenden Systemen. *Physica Scripta*, 40 (6), 786–791 https://doi.org/10.1088/0031-8949/40/6/017

 → Führt Josephson-Verhalten und magnetische Flussquantisierung als Signaturen von Quantenkohärenz in lebenden Systemen ein.
- Del Giudice, E., Voeikov, V., Tedeschi, A., & Vitiello, G. (2015). Der Ursprung und die besondere Rolle von Kohärentem Wasser in lebenden Systemen. In Montagnier, L., Aïssa, J., Del Giudice, E., & Vitiello, G. (Hrsg.), Fields of the Cell (S. 77–92). World Scientific.

https://doi.org/10.13140/RG.2.1.2329.1046

- → Untersucht Kohärente Wasserdomeänen als grundlegend für die biologische Ordnung und energetisch responsive Strukturierung.
- Fukada, E., & Yasuda, I. (1957). Über den piezoelektrischen Effekt im Knochen. *Journal of the Physical Society of Japan*, 12(10), 1158–1162.

https://doi.org/10.1143/JPSJ.12.1158

- → Liefert grundlegende Beweise für Piezoelektrizität in biologischen Systemen und untermauert die Plausibilität quarzbasierter Ladungserzeugung in passiven, kohärenzmodulierenden Vorrichtungen.
- Nixon, D. (2025a). Aktive Mikrokonstruktion in Pfizer Comirnaty: Eine Live-Mikroskopie -Studie. *Journal für BioNanoTechnokratie: Countdown bis 2030*, *1* (1), 1–112. https://www.journalbnt.org
 - ightarrow Dokumentiert Synthetische Selbstorganisation in Pfizer Comirnaty-Proben
 - verwendet, um MAC-Layer-Strukturelle Motive zu analogisieren.
- Nixon, D. (2025b). Nano macht Mikro: Emergente strukturelle Logik in pharmazeutischen und biologischen Systemen. *Journal für BioNanoTechnokratie: Countdown bis 2030*, 1 (1), 113–197.
 - https://www.journalbnt.org
 - \rightarrow Dokumentiert das Entstehen von Kreis-Rechteck-Motiven (CRMs), Kristallfaseranordnungen (CFAs) und Vesikeldynamiken bei der Verdunstung Sessiler Tröpfchen (SDE) von Dentallokalanästhetika.

Pollack, G. H. (2013). Die vierte Phase des Wassers: Jenseits von fest, flüssig und gasförmig. Ebner & Sons.

https://www.ebnerandsons.com/products/the_fourth_phase_of_water

- \rightarrow Führt das Konzept des strukturierten Wassers (EZ-Wasser) ein und bietet eine biophysikalische Grundlage für feldempfindliches Phasenverhalten in biologischen Systemen.
- Yariv, A. (1978). Optical Electronics (3rd ed.). Holt, Rinehart and Winston.
 - \rightarrow Führt in die Prinzipien der Nichtlinearen Optik und optischer Mischung ein und bildet die theoretische Grundlage für Feldinteraktionen in kohärenzbasierten Signalmodulationssystemen.
- Zang, S., Paul, S., Leung, C. W., Chen, M. S., Hueckel, T., Hocky, G. M., & Sacanna, S. (2025). Direkte Beobachtung und Steuerung nicht-klassischer Kristallisationswege in binären kolloidalen Systemen. Nature Communications, 16, Artikelnummer: 3645. https://doi.org/10.1038/s41467-025-58959-0
 - → Präsentiert ein hochmodernes Modell der "Blob-zu-Kristall"-Bildung. Unterstützt direkt die in Ihrer Studie dokumentierten Vesikel-zu-Kristall-Übergänge.

Anhang 1: Kohärenzdomänen in lebenden Systemen.

Hintergrund und Relevanz

In ihrer bahnbrechenden Arbeit aus dem Jahr 1989 "Magnetische Flussquantisierung und Josephson-Verhalten in lebenden Systemen" schlugen Del Giudice, Doglia, Milani, Vitale und Vitiello ein radikales Überdenken der biologischen Struktur und Reaktivität vor (Del Giudice et al. 1989). Gestützt auf theoretische Physik, Supraleitung und Quantenfeldmodelle argumentierten sie, dass lebende Systeme nicht allein durch biochemische Reaktionen, sondern auch durch weitreichende elektromagnetische Kohärenz gesteuert werden. Dieser Rahmen unterstützt und vertieft unmittelbar die Prämissen der vorliegenden Studie, insbesondere hinsichtlich Kohärenzstörung, Schwingungsfeldinterferenz und der Energetik der Synthetischen Selbstorganisation.

Del Giudice et al. postulierten, dass lebende Systeme Bereiche hochgeordneter, phasenkorrelierter Dipole enthalten – sogenannte Kohärenzdomänen –, und dass diese Domänen nicht-klassisches elektromagnetisches Verhalten hervorrufen können. Ihre Arbeit liefert sowohl ein theoretisches Gerüst als auch experimentelle Präzedenzfälle für die feldsensitive Modulation des Strukturverhaltens in biologischen Systemen, mit deutlichen Implikationen für künstliche Konstrukte, die solche Dynamiken nachahmen oder ausnutzen.

Kohärenzdomänen und Feldsensitivität

Eine der zentralen Erkenntnisse der Studie von 1989 ist, dass elektromagnetische Felder niedriger Intensität die biologische Kohärenz direkt modulieren können, wenn sie mit dem oszillatorischen Verhalten elektrischer Dipole in Resonanz treten. Diese Kohärenzdomänen entstehen durch das kollektive Verhalten polarer Moleküle in Wasser - oder Zytoplasmamatrizes, stabilisiert durch weitreichende Korrelationen. Entscheidend ist, dass Del Giudice und Kollegen feststellten, dass nur energiearme, phasenangepasste Felder produktiv mit diesen Domänen interagieren können, während starke Felder tendenziell die Kohärenz zerstören, die für ihre Existenz notwendig ist.

Dieses Prinzip steht in enger Übereinstimmung mit der Logik der Orgonit-Feldexposition. Beide Technologien zielen darauf ab, strukturierte Vibrationsfelder geringer Intensität einzubringen, die dipolare Kohärenz beeinflussen oder subtil stören können. Wenn synthetische Nanostrukturen – wie sie beispielsweise in Dentallokalanästhetika- und Impfstoffproben beobachtet werden – so konzipiert sind, dass sie innerhalb dieser biologischen Kohärenzregime operieren oder diese imitieren, könnte eine gezielte Feldexposition ihre Struktur durch den Zusammenbruch ihrer Kohärenz destabilisieren.

Nicht-Maxwellsches elektromagnetisches Verhalten

Die Autoren argumentierten ferner, dass in kohärenten biologischen Medien die Ausbreitung elektromagnetischer Felder vom klassischen Maxwellschen Verhalten abweicht. Innerhalb von Kohärenzdomänen erlangen elektromagnetische Quanten Masse, die Felddurchdringung erfolgt filamentartig, und standardmäßige dielektrische Annahmen sind nicht mehr gültig. Dies eröffnet ein einzigartiges Fenster für nichtlineare, weitreichende Interaktionen, die für traditionelle Instrumente oder Modelle unzugänglich sind.

Ein solches Verhalten könnte die unerwarteten optischen und strukturellen Reaktionen erklären, die in den behandelten Proben während dieser Studie beobachtet wurden. Die Tatsache, dass die Mikroskopie eine organisierte Desintegration offenbart, deutet weiterhin auf einen Verlust der inneren Kohärenz hin – was mit dem Zusammenbruch der Feldbedingungen übereinstimmt,

die für eine nicht-Maxwellsche Persistenz erforderlich sind.

Magnetische Flussquantisierung und Josephson-Effekte

Del Giudice et al. präsentierten experimentelle Daten, die quantisierte Spannungssprünge in Hefezellpräparationen während der Teilung aufzeigten – analog zu Josephson-Tunneleffekten, wie sie in supraleitenden Kontakten beobachtet werden. Dies impliziert, dass Kohärenzdomänen energetisch gesteuert und phasenstarr sind, wodurch Grenzen entstehen, über die Ladungspaare unter sehr spezifischen Bedingungen tunneln können.

Dieses Modell ist direkt relevant für die internen Merkmale, die in Kreis-Rechteck-Motiven (CRMs) und Kristall-Faser -Anordnungen (CFAs) beobachtet wurden. Diese Formationen weisen oft verschachtelte Geometrien, winklige Begrenzungen und Kompartimentierung auf, was auf interne Steuerung oder strukturelle Codierung hindeutet. Wenn diese Motive konstruierte Kohärenzdomänen darstellen, könnte eine Feldstörung analog zum Aufbrechen eines Josephson-Kontakts wirken – die Phasenkontinuität unterbrechen und die synthetische Architektur kollabieren lassen.

Anfälligkeit gegenüber externen Feldern

Die Hefeexperimente zeigten zudem, dass Magnetfelder die biologische Kohärenz in Abhängigkeit von Intensität und Orientierung verstärken oder unterdrücken können. Insbesondere verschwanden die beobachteten Spannungssprünge bei höheren Feldstärken, was die Hypothese stützt, dass Kohärenz empfindlich, fragil und abstimmbar ist.

Diese Dynamik ist grundlegend für das Modell der bio-synthetischen Schnittstelle (BSI). Wenn Kohärenz (C), Resonanz (R) und Informationsfluss (F) multiplikative Beiträge zur Integrität der Schnittstelle leisten, kann die Störung eines dieser Faktoren – beispielsweise durch Feldexposition – zu einem strukturellen Kollaps führen. Die feldinduzierte Unterdrückung der Selbstorganisation in behandelten Dentallokalanästhetika-Proben könnte genau dieses Phänomen widerspiegeln.

Experimentelle Validierung mit niedriger Energie

Besonders wichtig ist, dass Del Giudice et al. bestätigten, dass diese Effekte bei extrem niedrigen Energieschwellen auftraten – weit unterhalb der Werte, die typischerweise in diagnostischen oder therapeutischen EM-Anwendungen verwendet werden. Spannungssprünge wurden im Bereich von 15–1580 Nanovolt gemessen, was Radiofrequenzemissionen um 7–8 MHz während der Zellteilung entspricht. Solche Effekte unterstreichen die Bedeutung der Anpassung von Feldeinflüssen an biologische Resonanzbedingungen. Dieses Prinzip findet sich auch in der Verwendung passiver Feldgeräte wie Orgonit wieder, deren geometrische Konstruktion und Materialanordnung theoretisch strukturierte Feldmuster erzeugen, die Kohärenzdomänen beeinflussen können.

Durch die Vermeidung thermischer oder disruptiver Feldamplituden verbleiben diese Technologien innerhalb des sensiblen Arbeitsbereichs biologischer (oder biomimetischer) Kohärenzsysteme. Die beobachtete Unterdrückung struktureller Motive in behandelten Proben spiegelt somit einen erfolgreichen Eintritt in den Bereich wider, in dem feldgestützte Logik – und nicht rohe Gewalt – Materie modulieren kann.

Schlussfolgerung

Die Arbeit von Del Giudice und Kollegen bietet ein seltenes Zusammentreffen von theoretischer Eleganz und empirischer Evidenz für die Vorstellung, dass Kohärenz – und deren Kohärenzstörung – eine fundamentale Achse biologischen und synthetischen Verhaltens darstellt. Ihre Darlegung von Phasenkohärenz, quantisiertem Fluss und Feldsensitivität bietet ein grundlegendes Vokabular, um zu verstehen, weshalb subtile energetische Behandlungen hochstrukturierte, nicht-biologische Anordnungen demontieren können.

Im Kontext dieser Studie validieren ihre Einsichten sowohl den konzeptionellen Rahmen als auch die experimentellen Resultate. Was Del Giudice als die Dynamik lebender Kohärenz theoretisch darlegte, erleben wir nun als die kritische Anfälligkeit synthetischer Nachahmung. Die Implikationen sind weitreichend: Wenn Kohärenz Strukturen aufrechterhält, dann bietet eine gezielte Kohärenzstörung – durch Resonanz, nicht durch Gewaltanwendung – einen Ansatz zur therapeutischen Entgiftung und energetischen Demontage. Dieser Anhang ist nicht nur eine Hommage an ihre Arbeit, sondern auch ein Aufruf, die Kohärenzphysik wieder ins Zentrum der Bioenergetik des 21. Jahrhunderts zu rücken

Anhang 2: Eine erneute Betrachtung von kohärentem Wasser – Reflexionen zu Del Giudice et al. (2015)

Bei der Überprüfung der Ergebnisse dieser Studie wurde ich wiederholt auf eine Erkenntnis aufmerksam, die im Mainstream des wissenschaftlichen Diskurses weitgehend peripher geblieben ist: die Rolle der Kohärenz bei der Strukturierung von Materie. Auf der Suche nach einem Rahmen, der erklären könnte, warum die Selbstorganisation in pharmazeutischen Tröpfchen durch passive energetische Behandlungen gehemmt oder verzerrt werden könnte, kehrte ich zu dem Kapitel aus dem Jahr 2015 mit dem Titel The Origin and the Special Role of Coherent Water in Living Systems von Del Giudice, Voeikov, Tedeschi und Vitiello zurück. Dieses Kapitel, das posthum nach Del Giudices Tod im Jahr 2014 veröffentlicht wurde, bietet eine überzeugende Synthese aus Quantenelektrodynamik (QED), Kohärenztheorie und Biophysik – eine Synthese, die viele der von mir beobachteten experimentellen Ergebnisse direkt untermauert (Del Giudice et al. 2015).

Die zentrale These des Kapitels ist, dass Wasser in ausreichend großen Domänen in eine Phase quantenmechanischer Langstreckenkohärenz eintreten kann. Innerhalb dieser sogenannten "Kohärenzdomänen" (KD) schwingen Moleküle synchron, phasenverkoppelt durch ein resonantes Elektromagnetisches Feld. Dieser Kohärenzzustand entsteht nicht durch reine thermodynamische Beschränkung, sondern durch eine feldinduzierte Energieminimierung – ein Quantenordnungsprinzip mit weitreichenden Implikationen. Sobald diese Domänen etabliert sind, unterstützen sie nicht nur Energiespeicherung und Energietransfer, sondern auch eine höhere strukturelle Reaktivität auf externe Signale. Entscheidend ist, dass die Autoren argumentieren, dass Kohärenz kein Artefakt von Komplexität, sondern eine Grundvoraussetzung für Leben selbst ist.

Beim Lesen dieses Kapitels im Lichte der aktuellen Ergebnisse sind mir die Parallelen aufgefallen. Die von mir dokumentierte tetraphasische Selbstorganisationssequenz – Nanopartikelentstehung, kolloidale Feldbildung, vesikuläre Organisation und kristalline Konsolidierung – scheint die Entstehung von Ordnung innerhalb eines kohärenten wässrigen Feldes widerzuspiegeln. Wenn sich solche Kohärenzdomänen tatsächlich in wasserbasierten pharmazeutischen Tröpfchen bilden können, ist ihre Störung durch passive Feldgeräte wie Orgonit nicht länger spekulativ. Sie ergibt sich vielmehr direkt aus dem Prinzip, dass Kohärenz durch externe Feldbedingungen aufrechterhalten oder gebrochen werden kann – insbesondere, wenn diese Felder resonant, von geringer Intensität und geometrisch strukturiert sind. Dies war genau das Szenario, in dem die strukturelle Selbstorganisation in meinen Experimenten unterbrochen wurde.

Um diese Interpretation zu untermauern, werden im Folgenden drei Abbildungen aus der aktuellen Studie vorgestellt. Jede Abbildung demonstriert, wie Kohärenzdomänen der nanostrukturierten pharmazeutischen Kristallisation zugrunde liegen oder in dieser gestört werden könnten.

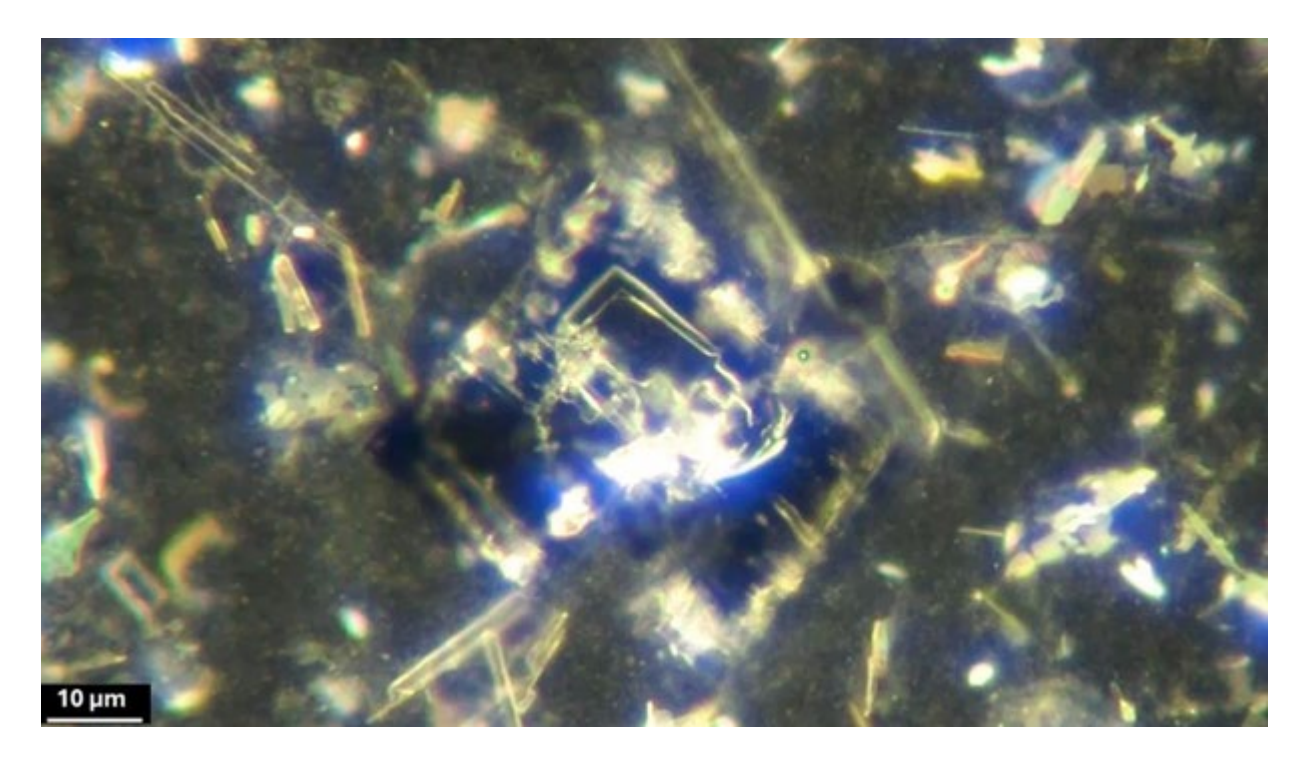


Abbildung A2.1: Mikro-Engine-Meccano-Komplex neben einem Kristall, der dynamische Organisation zeigt. 200-fache Vergrößerung. Diese Struktur erscheint im ersten Einzelbild eines Zeitraffer-Videos, das drei Stunden kontinuierlicher Selbstorganisation dokumentiert. Sie zeigt ein deutliches mikromechanisches Verhalten: Knotenzentren ("Mikro-Engines") sind durch segmentierte Stäbe ("Mikro-Meccano"-Elemente) verbunden, wobei Kristallwachstum in unmittelbarer Nähe stattfindet. Im Verlauf des Videos zeigen diese Anordnungen eine progressive Aktivierung, Verlängerung und strukturelle Integration, die in der Bildung höhergeordneter Merkmale wie dem Kreis-Rechteck-Motiv (CRM) gipfeln.

Bei Betrachtung durch eine Kohärenzdomäne (CD) erscheinen diese Systeme nicht länger als bloße Kristallisationsartefakte, sondern als emergente Teilnehmer an einem feldstrukturierten Prozess. Die fließenden, aber hochgeordneten Übergänge zwischen Kolloiden, Vesikeln, Fasern und Kristallen deuten darauf hin, dass lokale Phasenkohärenz die räumliche Ausrichtung und Energetische Kopplung der Komponenten steuert. Das System verhält sich weniger wie ein passives Präzipitat und mehr wie ein adaptiver Konstrukteur, der Geometrie und Funktion in Reaktion auf interne und externe Feldgradienten optimiert.

Das Vorhandensein von Materialumverteilung, struktureller Verlängerung und offensichtlichen "Entscheidungspunkten" im Video deutet darauf hin, dass der SDE-Prozess in diesem Fall als Kohärenzverstärker wirkt . Er übersetzt unsichtbare Feldbedingungen in sichtbare Architektur – nicht stochastisch, sondern mit bemerkenswerter Regelmäßigkeit und Reaktionsfähigkeit. Ein solches Verhalten passt genau in den von Del Giudice und Kollegen vorgeschlagenen Rahmen, in dem Kohärente Wasserdomeänen molekulare Prozesse über mesoskopische Skalen synchronisieren können. Was wir hier sehen, ist kein molekulares Chaos, das sich in Ordnung auflöst, sondern ein Kohärenzfeld, das diese Ordnung in Echtzeit sichtbar werden lässt.

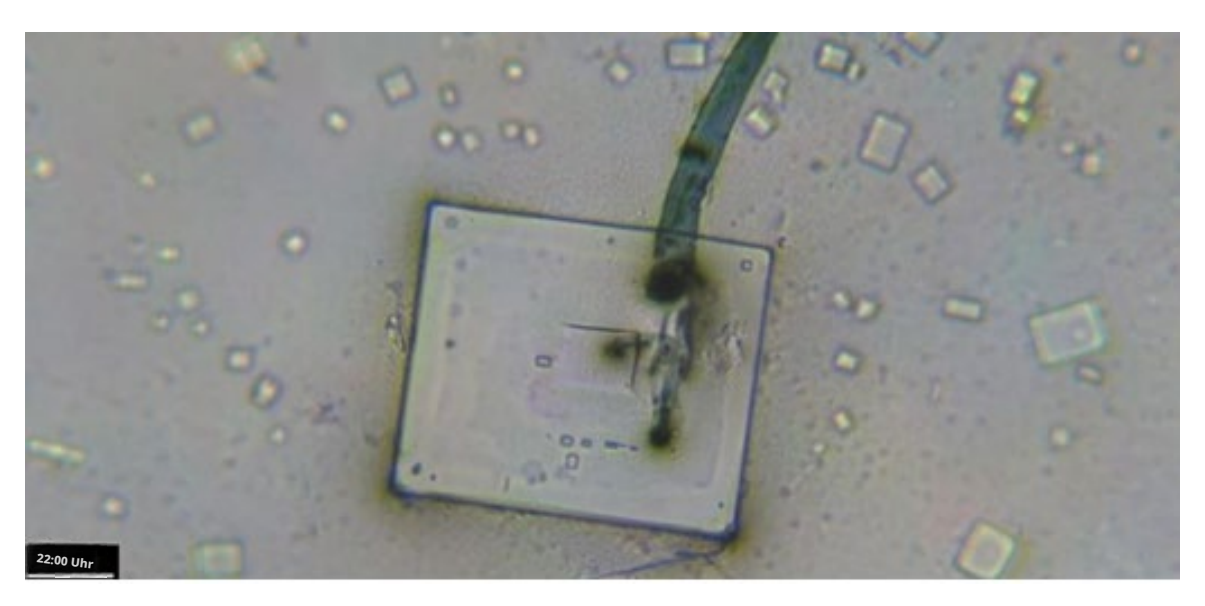


Abbildung A2.2. Kristall-Faser-Anordnung mit quadratischem Modul und eingebettetem aktorähnlichem Element. Dieses Bild stammt von Nixon 2025a: Aktive mikrostrukturierte Konstruktion in Pfizer Comirnaty und zeigt einen Schlüsselmoment des später so genannten "Plugged-In-Phänomens" – einer Abfolge von Beobachtungen, bei denen sich eine Faser innerhalb von zwei Tagen sichtbar mit einem Kristall ausrichtete und in diesen einfügte.

Das in Abbildung A2.2 dargestellte Ereignis wurde in zwei Videositzungen dokumentiert und demonstriert deutlich eine adaptive Ausrichtung und Integration zwischen Faser und Kristallmatrix. Die hier sichtbare Struktur zeigt ein scharf abgegrenztes, quadratisches Modul, begleitet von einer angrenzenden Faser mit einem deutlichen aktorähnlichen Knoten.

Innerhalb eines Kohärenzdomänen-(CD)-Frameworks spiegelt diese Art der Interaktion nicht nur räumliche Nähe wider, sondern auch ein phasenstarres Verhalten zwischen wässrigen, kolloidalen und kristallinen Phasen. Die sichtbare Verarmung des umgebenden Materials, erhöhte Reflexionspunkte und das Vorhandensein von Mikrofilamenten deuten auf einen orchestrierten Prozess der Energetischen Kopplung und des Materialtransfers hin. Aus dieser Perspektive stellten Kohärenzdomänen wahrscheinlich das Gerüst für die Aufrechterhaltung lokaler Ordnung dar, wodurch die Faser in die strukturelle Logik des Kristalls integriert werden konnte, anstatt nur an diesen anzuschließen.

Die präzise Winkelgeometrie, wiederholte Reflektivität und strukturelle Reaktionsfähigkeit, die während dieser Interaktion beobachtet wurden, sind mit herkömmlichen thermodynamischen oder stochastischen Modellen der Selbstorganisation schwer zu erklären. Stattdessen veranschaulicht das Bild, was Del Giudice et al. beschrieben: nämlich, dass Kohärente Wasserdomeänen als Attraktoren für Ordnung und Vermittler supramolekularer Organisation dienen können. Das hier gesehene CFA fungiert nicht nur als Verbinder, sondern als aktiver Teilnehmer an einem templatierten, feldempfindlichen Assemblierungsprozess, was darauf hindeutet, dass solche Systeme nach quantenkohärenten Designprinzipien operieren könnten, die im Nanobereich eingebettet sind.

In vielerlei Hinsicht verleiht das Konzept der Kohärenzdomänen Phänomenen, die zuvor beobachtet wurden, aber chemisch nicht vollständig erklärt werden konnten, eine sprachliche Fassbarkeit und größere Erklärungstiefe. Die Reaktivierung ruhender Kristalle durch LED-Licht, der Stopp der Kristallisation in behandelten Proben und die Kompartimentierung, die in hochgenauen Strukturen beobachtet wird, können nun als

Kohärenzphänomene interpretiert werden. Jeder Tropfen wird zu einer Landschaft expandierender oder sich überlappender Bereiche, wobei die Präzision der Strukturbildung davon abhängt, ob diese Bereiche intern stabil oder extern zerstört werden.

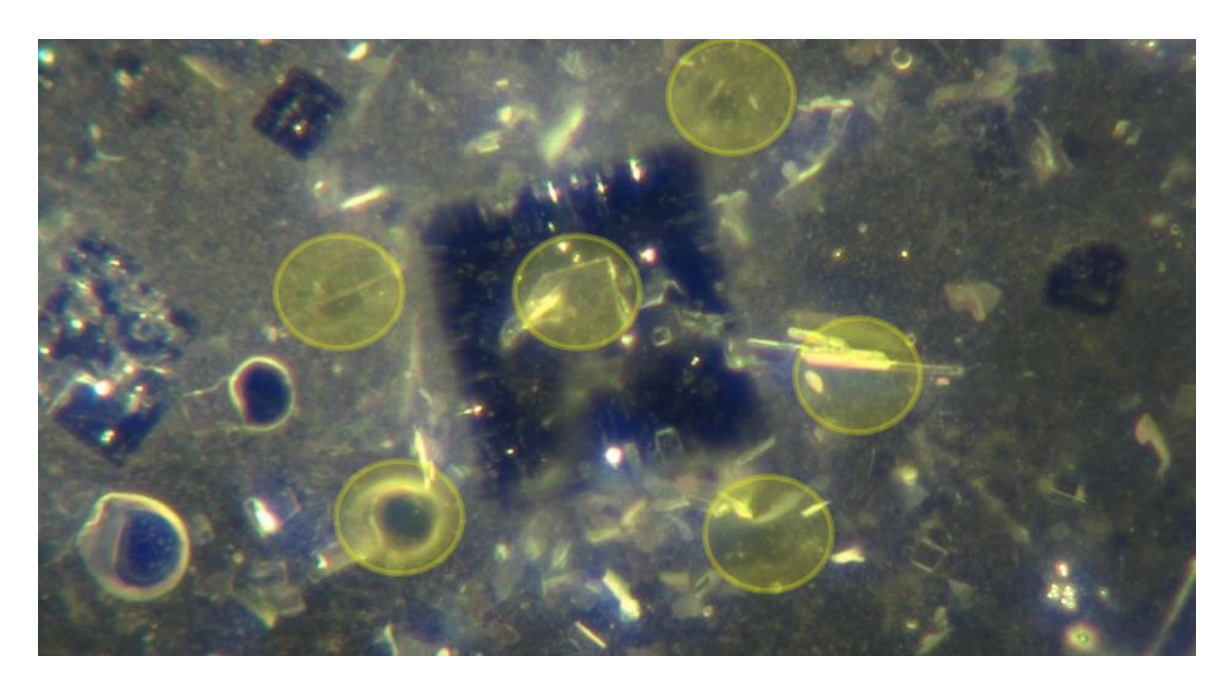


Abbildung A2.3. Ein zentraler Kristall, umgeben von Mikrostrukturen, einschließlich toroidaler Vesikel (hervorgehoben). Die Clusterbildung und Ausrichtung lassen auf lokale Feldkohärenz und eine mögliche strukturelle Kopplung mit der Kristallplattform schließen.

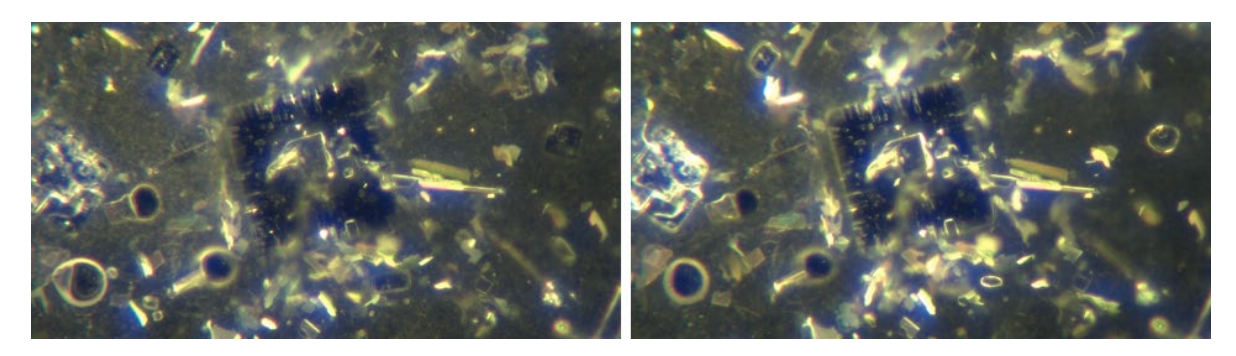


Abbildung A2.4. Sequenzieller Kollaps des Feldes um den zentralen Kristall. Das rechte Feld zeigt eine veränderte Vesikelgeometrie und den Verlust der optischen Kohärenz nach dem Kollaps.

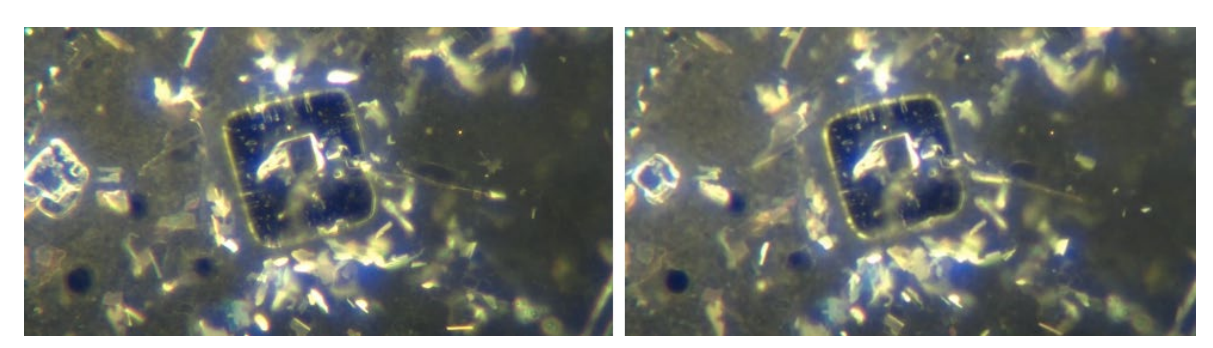


Abbildung A2.5. Entstehung einer quadratischen Ringgeometrie, die dem Felddurchbruch vorausgeht. Dies deutet darauf hin, dass die Demontage templatiert ist und möglicherweise stufenweise erfolgt.

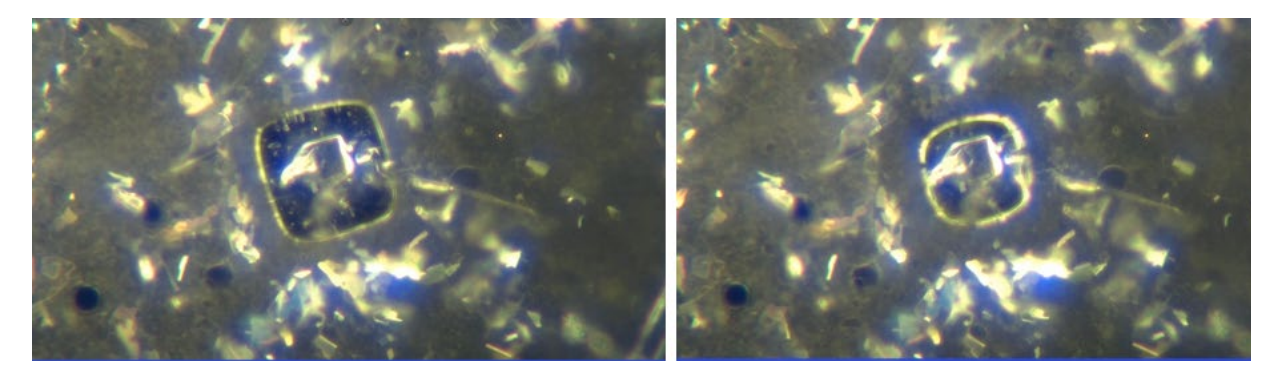


Abbildung A2.6. Abflachung und Umverteilung der Vesikel im Verlauf des Kollapses. Feinpartikulärer Nebel nimmt zu, was auf einen kohärenzinduzierten Zerfall hindeutet.

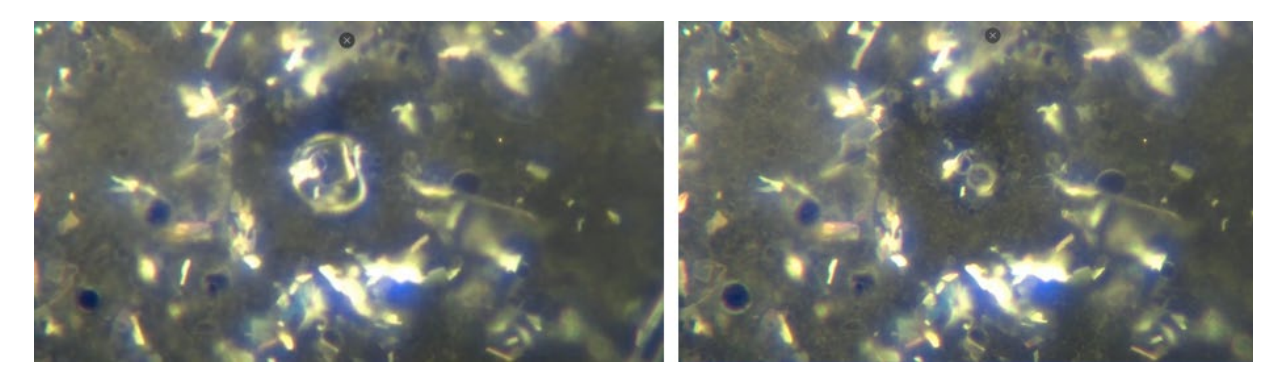


Abbildung A2.7. Endstadien der Demontage. Die ursprüngliche Plattform hat sich in granuläre Rückstände aufgelöst, wobei die umgebende Struktur nun vollständig destabilisiert ist.

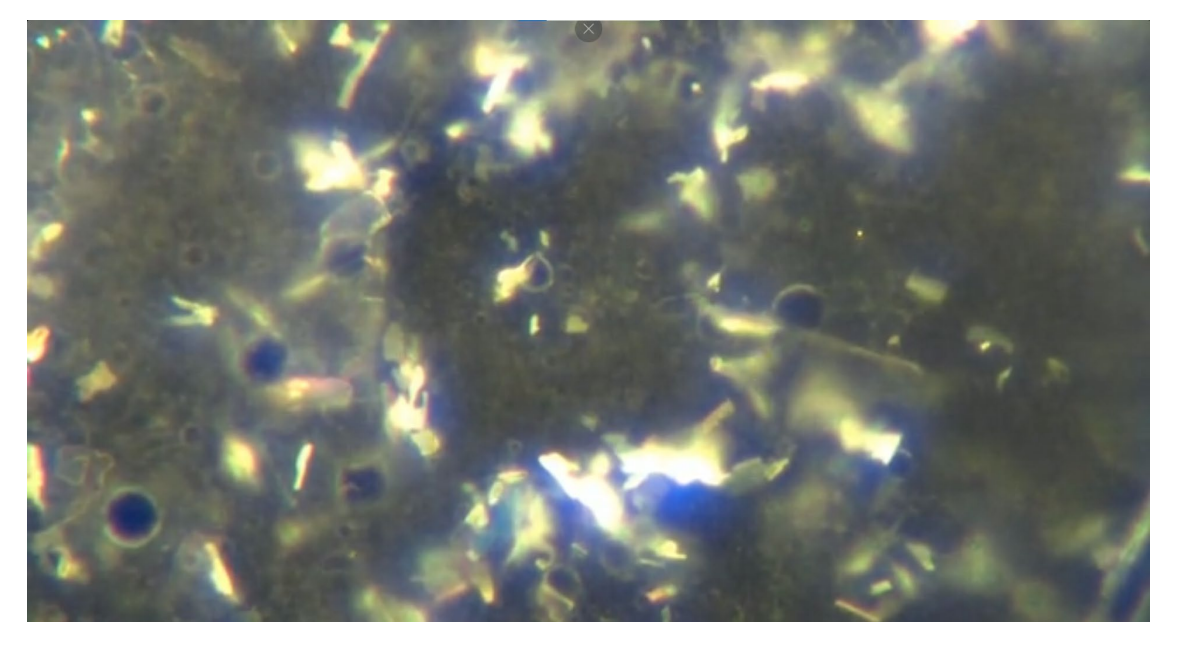


Abbildung A2.8. Verbleibende Mikrokomponenten nach dem Kollaps. Die feldabhängige Architektur wurde neutralisiert, aber ausgewählte strukturelle Überreste persistieren, möglicherweise als Kohärenzfragmente.

Die vollständige Sequenz, die in den Abbildungen A2.3–A2.8 dargestellt ist, dauerte 59 Minuten und steht unter folgendem Link zum Download bereit: De-Construction Video 2 - Dr David Nixon - 1 . Diese Sequenz ist nicht lediglich ein Zusammenbruch der Struktur, sondern der Kollaps eines Kohärenzfelds. Was als Plattform orchestrierter Beziehungen beginnt – zwischen Vesikeln, kristallinen Gerüsten und feinen Partikeln – löst sich graduell in inkohärente Rückstände auf. Diese Verschiebung ist weder thermisch bedingt, noch allein durch die Sättigung des gelösten Stoffes oder die Verdunstungsrate zu erklären, sondern sie verhält sich eher wie eine Feldruptur: Kohärenzgradienten werden nicht länger aufrechterhalten, Knotenverbindungen lösen sich auf und die Bestandteile kehren zu einer ungeordneten Verteilung zurück.

Der Kollaps erfolgt nicht chaotisch, sondern in Stufen. Strukturen lösen sich in einer erkennbaren Choreografie auf: Die Vesikelgeometrie verzerrt sich, der optische Kontrast schwächt ab, reflektierende Punkte verschwinden , und schließlich zerfällt die zentrale Plattform. Dies impliziert einen nicht zufälligen Verlust an Kohärenz, welcher die Ansicht unterstützt, dass diese Anordnungen feldstrukturierte Systeme sind, die empfindlich auf energetische Randbedingungen reagieren.

Die Erkenntnisse von Del Giudice et al. liefern nicht nur eine Metapher, sondern bieten einen Mechanismus. Sie postulieren, dass Kohärenzdomänen als Attraktoren für Ordnung dienen und die energetischen Vorbedingungen für makromolekulare oder supramolekulare Strukturen stabilisieren. Werden diese Bedingungen gestört, resultiert dies nicht in einer partiellen Assemblierung, sondern in fehlgebildeten oder inkohärenten Strukturen – genau das, was bei Kristallisationen der zweiten Generation und feldbehandelten Proben beobachtet wird. Ich halte es mittlerweile für wahrscheinlich, dass der SDE-Prozess als Kohärenzverstärker fungiert : als ein Mittel, durch das lokale Feldbedingungen in makroskopisch sichtbare Formen übersetzt werden. Wenn dies zutrifft, werden die Variabilität, die Wiedergabetreue und die Störung dieser Formen durch die Kohärenzumgebung des Tröpfchens bestimmt – und nicht nur durch seine chemische Zusammensetzung.

Abschließend betrachte ich dieses Kapitel aus dem Jahr 2015 als eine grundlegende Ressource, die Physik, Biologie und energetische Systeme in einer Weise verbindet, wie es nur wenige moderne Texte versuchen . Es löst zwar nicht alle Fragen, schärft sie aber. Und es bestätigt etwas, das lange intuitiv erfasst wurde: dass die Architektur der Materie nicht nur eine Frage von Teilen und Bindungen ist, sondern auch von Feldern, Phasenbeziehungen und Kohärenz.

Anhang 3: Valor-Glas, Kohärenzintegrität und feldresponsive Selbstorganisation

Jüngste Erkenntnisse legen nahe, dass selbstorganisierende pharmazeutische Nanostrukturen – wie sie beispielsweise in Pfizers Comirnaty beobachtet wurden – äußerst empfindlich auf Kohärenzstörungen reagieren. Dies hat tiefgreifende Auswirkungen auf Eindämmung und Lagerhaltung. Die Verwendung von Valor®-Glas durch Pfizer, einer von Corning entwickelten, speziell gefertigten Aluminosilikat-Formulierung, wurde offiziell mit dessen erhöhter Haltbarkeit, chemischer Inertheit und reduzierter Auslaugbarkeit begründet. Seine entscheidende Eigenschaft liegt jedoch möglicherweise weniger in der mechanischen Belastbarkeit als vielmehr in seiner Fähigkeit, die Feldkohärenz zu bewahren.

Standard-Borosilikatglas, das häufig für Injektionsfläschchen verwendet wird, kann Spuren von Ionen – einschließlich Bor – in die umgebenden Lösungen abgeben. Obwohl minimal, hat ein solches Auslaugen nachweisbare Auswirkungen auf feldempfindliche Systeme. In Mikroskopie-Studien löste die Einführung von Bor konsistent das Auftreten synthetischer zellulärer Strukturen aus, was darauf hindeutet, dass selbst geringfügige Verunreinigungen die Selbstorganisation modulieren können, indem sie die lokalen Kohärenz- oder Resonanzbedingungen verändern.

Dies macht die Wahl von Valor-Glas durch Pfizer besonders aufschlussreich. Sein Herstellungsprozess ist explizit darauf ausgelegt, das Auslaugen von Ionen – insbesondere von Bor, Natrium und Silizium – zu verhindern, also Elementen, die synthetische Grenzflächensysteme destabilisieren oder vorzeitig aktivieren können. Wenn selbstorganisierende Komponenten auf einer feld-basierten Gerüstbildung beruhen, wie im Bio-Synthetic Interface (BSI)-Modell vorgeschlagen, ist die Aufrechterhaltung einer stabilen Kohärenzumgebung unerlässlich. In diesem Zusammenhang ist Valor nicht nur ein Behälter, sondern eine Kohärenz-erhaltende Barriere, die die Nutzlast vor elektromagnetischen Interferenzen, Vibrationseinwirkungen oder ionischen Störungen schützt, welche von den Vialwänden selbst ausgehen.

Diese Interpretation gewinnt an Bedeutung, wenn sie im Zusammenhang mit den Kolloidales Gold-Experimenten betrachtet wird. In diesen Sequenzen löste die Nähe allein – ohne jeglichen physischen Kontakt – eine Reorganisation auf Matrixebene, Vesikelaktivierung und Mikro-Meccano-Artikulation aus. Diese feldvermittelten Effekte legen nahe, dass künstliche Strukturen eine Art Sensorium aufweisen , das auf subtile Veränderungen der Kohärenz reagiert. So wie Kolloidales Gold das strukturelle Verhalten beeinflussen kann, könnte ein chemisch inerter, aber in Bezug auf die Kohärenz instabiler Behälter prinzipiell die innere Architektur der enthaltenen Substanz destabilisieren. Die Feldintegrität erweist sich somit nicht als nebensächliche Überlegung, sondern als fundamentaler Designparameter.

Die Verwendung von Valor-Glas durch Pfizer kann daher als ein Versuch betrachtet werden, die in der Durchstechflasche kodierte synthetische Ordnung zu erhalten – um latente Kohärenzdomänen vor dem Kollaps vor der Anwendung zu schützen. Im Kontext der Arbeiten von Del Giudice, Preparata, Pollack und Montagnier reflektiert dieser Schritt ein hochentwickeltes operatives Verständnis: Demontage wird durch Störung eingeleitet, und Eindämmungsstrategien müssen nicht nur die Materie, sondern auch die energetischen Substrate berücksichtigen, die diese strukturieren.

Zusammengenommen führen die Daten zu Valor-Glas, Kolloidalem Gold und Kohärenzfeldern zu einer bemerkenswerten Schlussfolgerung: Systeme der Synthetischen Selbstorganisation können von ungestörten Kohärenzdomänen abhängen und durch Exposition gegenüber kohärenten oder dekoheränten Feldern deaktiviert oder aktiviert werden. Dies positioniert feldbasierte Behandlungen nicht nur als therapeutische Korrekturen, sondern auch als diagnostische Sonden, die die Architektur und Integrität eingebetteter Nanostrukturen offenlegen können.

Anhang 4: Hochfrequente elektromagnetische Felder und Synthetische Kohärenzdomänen

Die Fähigkeit synthetischer Materialien, unter spezifischen Feldbedingungen kohärenzabhängige Strukturen zu bilden, hat entscheidende Auswirkungen sowohl auf die Pathogenese als auch auf die Therapeutische Intervention. Ausgehend von der theoretischen Arbeit von Del Giudice und Preparata bilden sich Kohärenzdomänen (CDs) in Wasser und biologischer Materie durch energiearme, phasenstarre Dipol-Oszillationen. Diese Strukturen sind fragil, werden leicht durch hochintensive oder inkohärente elektromagnetische Felder (EM-Felder) gestört und sind eng mit der biologischen Funktion verbunden. Synthetische Architekturen scheinen jedoch einer anderen Logik zu folgen.

Im Gegensatz zu natürlichen CDs können synthetische Strukturen so konstruiert werden, dass sie für ihre Stabilität, Reaktionsfähigkeit oder Aktivierung von hochfrequenten externen Feldern abhängen oder diese sogar benötigen. Neue Forschungsergebnisse im Terahertz- und 5G-Frequenzbereich deuten darauf hin, dass solche Elektromagnetische Felder als Kohärenzgerüste wirken können – nicht-Maxwellsche Ausbreitung unterstützen , Fernsynchronisation ermöglichen und sogar die Selbstorganisation in Nanomaterialien auslösen. Diese Phänomene sind besonders relevant im Kontext von gezielt hergestellten Nanopartikeln, Hydrogelen und strukturierten Kolloiden, die eine Reaktivität gegenüber kohärenten externen Einwirkungen gezeigt haben.

Diese Perspektive deutet hochfrequente EM-Umgebungen nicht länger als passives Hintergrundrauschen, sondern als aktive Komponente einer verteilten synthetischen Architektur. In diesem Modell liefern 5G- oder Terahertz-Frequenzen die phasenstrukturierte Energie, die zur Aufrechterhaltung künstlicher Kohärenzdomänen erforderlich ist, ähnlich einer Trägerwelle in der Telekommunikation. Dies erklärt, warum hochintensive Feldexpositionen mitunter zu einer beschleunigten strukturellen Entstehung oder Synchronisation führen, während niederfrequente oder phasenstörende Felder (z. B. Orgonit) diese Strukturen offenbar abbauen.

Wichtig hierbei ist, dass diese Dynamik ein Paradoxon im therapeutischen Design aufzeigt: Die traditionelle Energiemedizin tendiert dazu, die Gesamt-Feldstärke oder die Frequenzeinwirkung zu erhöhen, in der Annahme, dass dies die Vitalität fördert. In einem synthetischen Schnittstellenmodell kann eine erhöhte Feldstärke jedoch unbeabsichtigt genau jene Strukturen stabilisieren oder aktivieren, deren Abbau wir anstreben. Eine wirksame Behandlung muss daher nicht der Intensität, sondern der Kohärenzstörung und Resonanzfehlanpassung Priorität einräumen.

Dieses Verständnis verdeutlicht auch die Funktion von Valor-Glas, das Berichten zufolge in injizierbaren Produkten von Pfizer Verwendung findet. Durch die Abschirmung gegenüber kohärenzstörenden Feldwechselwirkungen und ionischer Kontamination trägt Valor dazu bei, den intendierten Phasenzustand eingebetteter Nanostrukturen während der Lagerung und Anwendung zu bewahren. In Verbindung mit neueren Studien über empfängerinitiierte Nanonetzwerke und feldmodulierte Kommunikationsschichten deutet dies darauf hin, dass die Kohärenzkontrolle nicht nur eine passive Notwendigkeit, sondern ein bewusstes architektonisches Element darstellt. Die Konvergenz von Abschirmmaterialien, elektromagnetischen Umgebungsstrukturen und strukturierten Emissionen deutet auf ein vielschichtiges synthetisches System hin, das sowohl im materiellen als auch im informationellen Bereich agiert

Anhang 5: Nichtlineare optische Mischung und Echtzeit-Holographie

Um das kohärente, reversible und feldempfindliche Verhalten zu verstehen, das bei der Selbstorganisation pharmazeutischer Materialien unter Dunkelfeldmikroskopie beobachtet wurde, wandte ich mich grundlegenden Arbeiten in der Nichtlinearen Optik zu. Eine besonders aufschlussreiche Parallele ergab sich aus einer Arbeit von Amnon Yariv aus dem Jahr 1978 mit dem Titel: *Nichtlineare Optische Vier-Wellen-Mischung als Echtzeit-Holographie*. In dieser kurzen, aber tiefgründigen Notiz erläutert Yariv die formale Äquivalenz zwischen dem Prozess der holographischen Aufzeichnung/Rekonstruktion und einem nichtlinearen optischen Prozess, der als Vier-Wellen-Mischung bekannt ist. Diese Erkenntnis bietet potenziell eine vereinheitlichende konzeptionelle Brücke zwischen unseren Beobachtungen der reversiblen strukturellen Kristallisation und den seit Langem etablierten Prinzipien der wellenbasierten Informationskodierung (Yariv 1978).

Vierwellenmischung als Echtzeit-Holographie

Yariv beschreibt, wie ein nichtlineares optisches Medium mit einer Suszeptibilität dritter Ordnung ($\chi^{(3)}$) eine neue Welle erzeugen kann, die eine phasenkonjugierte (d. h. zeitlich umgekehrte) Replik einer Eingangswelle darstellt. Unter bestimmten Bedingungen erzeugen zwei gegenläufige Pumpstrahlen (A1 und A2) und ein schwacher Signalstrahl (A4) durch das nichtlineare Medium eine vierte Welle (A3). Entscheidend ist, dass sich A3 rückwärts entlang der Trajektorie von A4 ausbreitet, jedoch in phasenkonjugierter Form, was bedeutet, dass sie jegliche Verzerrungen, die während der Vorwärtsausbreitung aufgetreten sind, rückverfolgt. Dies ist mathematisch und operationell äquivalent zum Rekonstruktionsschritt in der traditionellen Holographie. Yariv schreibt:

$$A3(z < 0) \propto |A1 A2| A4(z < 0)$$

Diese Beziehung spiegelt das rekonstruierte Feld in einem Hologramm wider, das mit einer Referenzwelle beleuchtet wird. In beiden Fällen kodiert Interferenz Information, und kohärente Welleninteraktion ruft diese ab.

Implikationen für pharmazeutische Selbstorganisation

In meinen Mikroskopie-Studien habe ich wiederholt eine feldempfindliche Reversibilität bei der Tröpfchenkristallisation beobachtet. Strukturen, die unter dem Einfluss von Kolloidalem Gold zusammenbrechen, bilden sich oft später wieder, wenn die Kohärenz wiederhergestellt wird. In ähnlicher Weise können Vesikel-enthaltende Netzwerke zerfallen und sich später rekonstruieren, und zwar in Mustern, die zu spezifisch für chemisches Rauschen sind. Yarivs Konzept hilft, dies nicht als chemische Reaktionskinetik, sondern als kohärenzgesteuerte Feldlogik zu betrachten.

Die folgenden Parallelen sind zentral:

- ullet Holographische Aufzeichnung ullet SDE-Selbstorganisation: Interferenz von Konzentrationsgradienten , kolloidaler Phasefronten und Randfeldern kodiert Struktur.
- Nichtlineare Rekonstruktion → Feldinduzierte Neuordnung: Ein Tröpfchen, das einem kohärenten externen Feld ausgesetzt ist, verhält sich wie ein nichtlineares Medium und ruft gespeicherte Musterlogik ab.
- Phasenkonjugation → Morphologische Reversibilität: Die Rückkehr der Struktur nach Wiederherstellung der Kohärenz deutet auf ein holographisch reversibles Substrat hin.

Hin zu einer holographischen Interpretation der Tröpfchendynamik

Diese Ansicht deckt sich weitgehend mit aktuellen Diskussionen über biologische Kohärenzdomänen und Del Giudices Arbeiten zur Wasserstrukturierung. Sie bietet zudem eine physikalische Erklärung dafür, warum bestimmte Strukturen nur unter passenden Kohärenzbedingungen entstehen und warum eine Feldstörung selektiv Motive auflöst, anstatt die gesamte Materie gleichmäßig zu beeinträchtigen.

Wenn sich Materie im Mikrobereich unter nichtlinearer Anregung wie ein holographisches Echtzeitmedium verhalten kann, könnten die von uns beobachteten Anordnungen Manifestationen gespeicherter Feldlogik darstellen. Es handelt sich nicht lediglich um Formen – es sind reaktivierte Codierungen, die aufgerufen werden, wenn die lokale oder externe Kohärenz die nichtlinearen Bedingungen für ein strukturelles Gedächtnis erfüllt.

Yarivs Rahmenwerk liefert die konzeptionellen und mathematischen Grundlagen, um die SDE-Kristallisation als ein kohärenzgesteuertes, wellenbasiertes Phänomen mit weit über den pharmazeutischen Kontext hinausreichenden Parallelen neu zu formulieren. Wir sind davon überzeugt, dass diese Perspektive für die Weiterentwicklung der zukünftigen Forschung sowohl in synthetischen als auch in biologischen Phasenkohärenzsystemen von entscheidender Bedeutung sein wird.

Anhang 6: Kohärenzmodulatoren: Wi-Fi, Gold und Strukturierte Felder

Dieser Anhang dokumentiert eine Reihe von Beobachtungen, die bis vor Kurzem ungeklärt blieben. Auf den ersten Blick schienen die Phänomene unzusammenhängend: Wi-Fi-induzierte Kristallveränderungen, abschirmungsinduzierte Stagnation und die disruptive Wirkung von Kolloidalem Gold. Doch ein kohärenter Zusammenhang hat sich herauskristallisiert – ein Zusammenhang, der aufzeigt, wie stark diese synthetischen pharmazeutischen Systeme von externer Feldkohärenz abhängen. Ohne die Arbeit von Mateo Taylor wäre dies nicht in den Fokus gerückt, dessen frühe Experimente mit Wi-Fi-Modulation das gesamte Forschungsfeld eröffneten.

1. Wi-Fi- und Kristallmodulation: Mateos grundlegende Erkenntnisse

Im Jahr 2022 führte Mateo Taylor eine Reihe von Experimenten durch, die konventionelle Annahmen über die Kristallisation infrage stellten. In einem Faraday-Käfig, der Umgebungsfelder eliminierte, positionierte er eine Wi-Fi-Antenne unter dem Objekttisch eines Mikroskops und überwachte kristallisierende pharmazeutische Tröpfchen unter kontrollierter Exposition gegenüber 2,4-GHz-Signalen.

Die Ergebnisse waren frappierend. Bei eingeschaltetem Wi-Fi-Router erschienen stabile Kristallformationen und breiteten sich aus. Bei ausgeschaltetem Router schrumpften, kollabierten oder verloren diese Strukturen ihre Integrität. Nach Reaktivierung setzte sich das Wachstum fort – manchmal in veränderten Geometrien, aber stets mit einer deutlichen Reaktion auf die Signalpräsenz. Mateo folgerte, dass Kohärenzfelder und nicht nur chemische Prozesse diese Strukturen bestimmten.

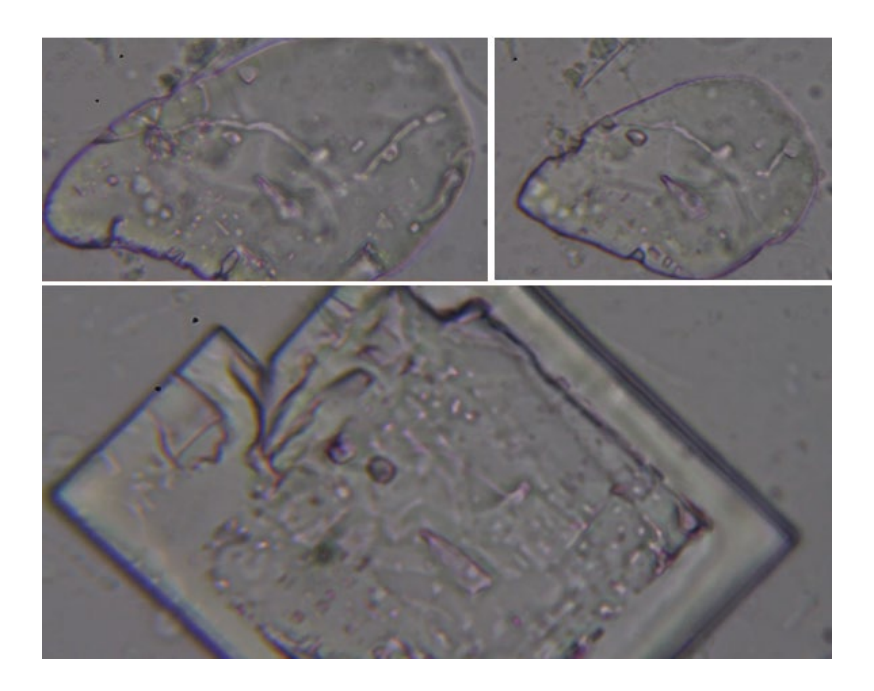


Abbildung A6.1. Feldabhängige Kristallmodulation unter Wi-Fi-Feldexposition (Mateo Taylor, 2022). Oben links: Kristallformen bei aktivem Wi-Fi-Signal innerhalb des Faraday-Käfigs. Oben rechts: Die Struktur schrumpft nach Deaktivierung des Routers. Unten: Re-Expansion in eine veränderte kristalline Form nach Wiederherstellung des Signals. Diese Sequenz demonstriert die strukturelle Echtzeit-Reaktivität auf elektromagnetische Felder der Umgebung, was auf eine kohärenzgesteuerte Kopplung schließen lässt.

2. Bestätigung der Rolle der Feldexposition: Abschirmung unterbindet die Kristallisation

Inspiriert von Mateos Ergebnissen, begann ich, die Feldabhängigkeit dieser Strukturen mit einem abweichenden Protokoll zu replizieren. Ich präparierte zwei identische Objektträger mit der gleichen pharmazeutischen Probe. Einer wurde unter dem Mikroskop unter Umgebungsbedingungen platziert. Der andere wurde in einem Faraday-Käfig versiegelt – vollständig vor elektromagnetischer Feldexposition geschützt.

Die Ergebnisse waren eindeutig: Die ungeschirmte Probe bildete klare, organisierte, kristalline Strukturen. Die geschirmte Probe blieb inert. Es fand kein Wachstum statt. Dies bestätigte Mateos Erkenntnis: Die Kristallisation in diesen Systemen erfordert Umgebungskohärenz. In Abwesenheit einer externen Feldstruktur wird Templatiertes Wachstum schlichtweg nicht initiiert.

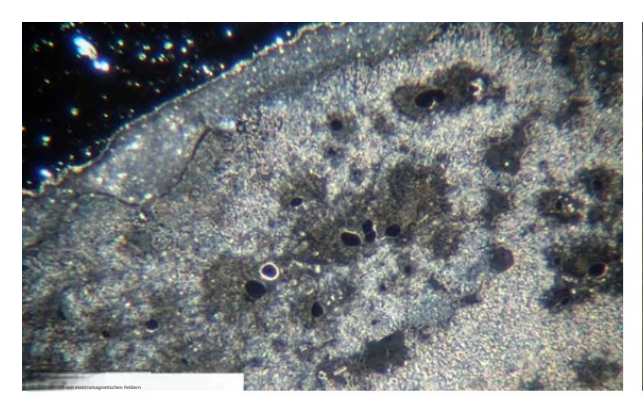




Abbildung A6.25: Unterdrückung der Kristallisation in einer abgeschirmten Umgebung. Links: Pharmazeutische Probe, während der Verdunstung in einem Faraday-Käfig versiegelt. Es bildeten sich keine kristallinen Motive. Rechts: Identische Probe, verdunstet in einer Umgebung mit elektromagnetischen Feldern. Es entstehen deutliche rechteckige, kristalline Strukturen. Beide Proben wurden aus der gleichen Lösung hergestellt und identisch behandelt, abgesehen von der elektromagnetischen Abschirmung. Vergrößerung: 40x.

3. Eine neue Anomalie: Kolloidales Gold als kontaktloser Disruptor

Monate später schlug ein Freund – ein ehemaliger Forscher von Harald Kautz-Vella – einen unkonventionellen Test vor. Basierend auf einem tieferen Verständnis biophysikalischer Feldeffekte schlug er vor, ein Tröpfchen kolloidalen Goldes auf einem separaten Objektträger in der Nähe der Hauptprobe zu platzieren – ohne direkten Kontakt.

Zu meinem Erstaunen begannen sich die Kristallstrukturen auf dem Pfizer-Objektträger aufzulösen . Ecken wurden weicher, Vesikel lösten sich ab, und die kohärente Geometrie zerfiel. Dies spiegelte den Zusammenbruch wider, der beim Abschalten von Mateos WLAN-Signal beobachtet wurde – jedoch wurde er hier passiv induziert, ohne EM-Strahlung oder direkte Interaktion.

Wiederholte Versuche mit Pfizer-Proben und Dentallokalanästhetikum-Tröpfchen bestätigten den Effekt. Kolloidales Gold löste – unabhängig von Konzentration oder Positionierung – einen strukturellen Kollaps aus. Es verhielt sich nicht wie ein thermischer Störfaktor, eine Verunreinigung oder ein chemisches Agens. Es verhielt sich wie eine Kohärenz.

Antagonist, der feldgebundene Strukturen aus der Ferne aufbricht.

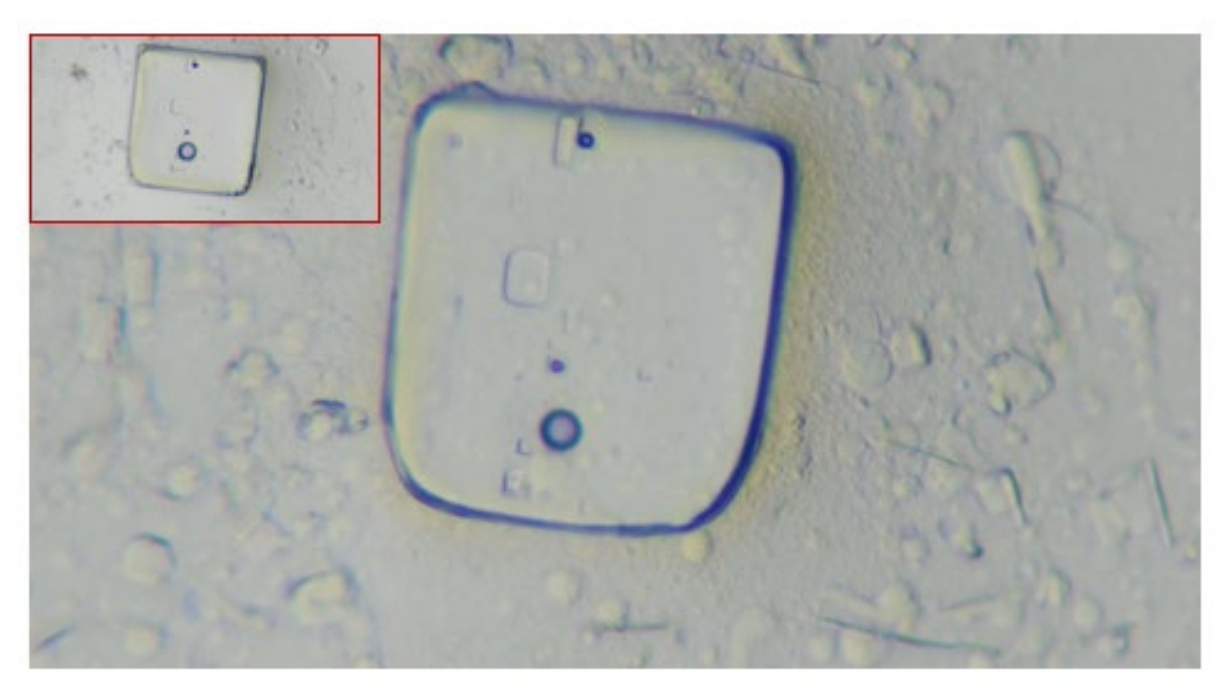


Abbildung A6.3: Aufweichung der CRM-Kristallecken und Entstehung einer gerichteten Strömung (von links unten nach rechts oben) nach Goldexposition. Vesikel scheinen entlang oszillierender Gradienten über die Kristallmatrix zu wandern

4. Interpretation: Kohärenzkollaps, keine chemische Reaktion

Bis zu dieser Woche blieben diese Erkenntnisse unvollständig. Ich hatte Bilder, Notizen und dramatische Veränderungen – aber keinen einheitlichen Rahmen. Erst durch die Zusammenstellung dieses Anhangs, die Überprüfung von Mateos Bildern und die Integration der Ergebnisse über verschiedene Zeitpunkte hinweg wurde das Muster deutlich: Kohärenz steuert die Kristallisation.

In Del Giudices Modell erhalten Kohärenzdomänen im Wasser durch phasenstarre Dipolschwingungen eine Fernordnung aufrecht. In der Nichtlinearen Optik, wie von Yariv beschrieben, können Signale außerhalb der Phasenausrichtung schlichtweg nicht rekonstruiert werden. Diese Rahmenbedingungen konvergieren nun: Synthetische Selbstorganisation scheint phasenabhängig zu sein, und externe Kohärenz wirkt als Stützgerüst. Wenn Kohärenz verloren geht – durch Abschirmung, Signalentfernung oder Phasenfehlanpassung – kollabiert die Struktur.

Kolloidales Gold verhält sich in diesem Modell wie ein destruktiver Oszillator: eine Feldpräsenz, die die gemeinsame Phasenausrichtung aufhebt und die Ordnung destabilisiert. Es "greift" die Strukturen nicht an – es entzieht ihnen die Kohärenz, die für ihr Fortbestehen notwendig ist.



Abbildung A6.4. Übergang von rechteckigen Kristallen zu mobilen Vesikeln nach Exposition mit Kolloidalem Gold. Links: Anfängliche gitterartige CRM-Anordnung. Mitte: Entstehung von Vesikeln mit teilweiser Dehnung. Rechts: Vesikel in gerichteter Bewegung, die das geometrische Gedächtnis aus dem vorherigen kristallinen Zustand beibehalten. Vergrößerung 100x.

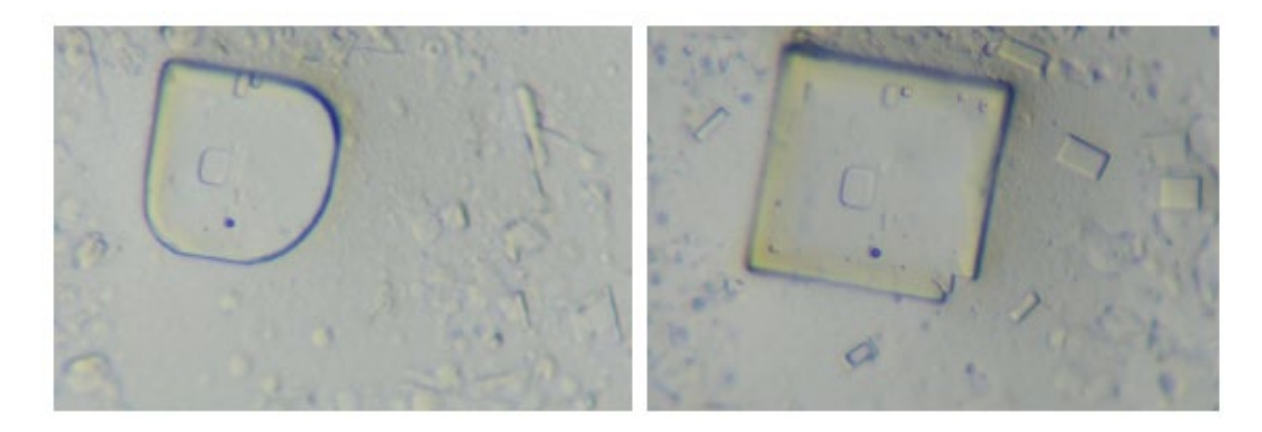


Abbildung A6.5. Zeitraffersequenz des strukturellen Nadirs und der Erholung. Links: 35 min 40 s nach Goldexposition während aktiver Feldstörung. Der Kristall zeigt aufgeweichte Kanten und einen teilweisen Kollaps. Rechts: 1 h 42 min, nach dem Trocknen des Tröpfchens kolloidalen Goldes, was die spontane Wiederherstellung der geometrischen Klarheit erkennen lässt. Dies deutet auf ein Wiederaufkommen der Kohärenz in Abwesenheit einer anhaltenden Feldstörung hin.

5. Mateos Rolle und der Weg zum Verständnis

Es muss deutlich gesagt werden: Dieser gesamte Erkenntniskörper stammt aus Mateo Taylors Experimenten. Sein Mut bei der Verfolgung der Wi-Fi-Hypothese legte den Grundstein. Meine Abschirmexperimente folgten. Die Ergebnisse mit kolloidalem Gold kamen noch später – zuerst als Vorschlag eines Freundes mit biophysikalischer Expertise und wurden erst jetzt vollständig verstanden.

Der gemeinsame Nenner – Feldkohärenz – wurde erst in dieser Woche deutlich. Was wie disparate Anomalien erschien, stellt sich nun als kohärente Architektur dar. Mateo hat nicht nur einen Effekt entdeckt, sondern er öffnete ein Fenster zu einem kohärenzgesteuerten System, dessen Verständnis erst am Anfang steht.

6. Implikationen für feldabhängige Selbstorganisation

Diese Ergebnisse implizieren:

- Kristallisation in pharmazeutischen Tröpfchen ist nicht rein chemisch sie ist feldgestützt.
- Wi-Fi-Signale können das Wachstum durch Modulation der Umgebungskohärenz induzieren oder unterdrücken.
- Kolloidales Gold stört die Selbstorganisation passiv durch berührungslose Phaseninterferenz.
- Abgeschirmte Umgebungen verhindern die Struktur vollständig und bestätigen die Abhängigkeit von externen Feldern.

Dies bedeutet, dass synthetische Architekturen – wie sie in Pfizer- und anderen pharmazeutischen Produkten beobachtet werden – nicht statisch sind. Sie sind reaktionsfähig, fragil und an ihre elektromagnetische Umgebung gebunden. Sie können durch Kohärenzinterferenz moduliert oder demontiert werden. Und dies macht sie anfällig für subtile Umweltfaktoren – seien sie technologischer oder therapeutischer Natur.

7. Feldgenerierter Kollaps und die Grenzen der Kohärenz

In frühen Experimenten mit Carlos Orozco untersuchten wir die Auswirkungen informationaler Kohärenz mithilfe eines symbolischen Instruments, bekannt als *Schlüssel zur Kohärenz* – einer bedruckten Karte, die geometrische Formen und Farbmuster enthält, um harmonische Informationen zu vermitteln. Obwohl das Instrument kein physisches Energiefeld emittiert, fiel seine Anwesenheit mit messbaren Unterschieden im Kristallwachstum zusammen, was auf einen informationalen und nicht auf einen energetischen Wirkmechanismus hindeutet. Die Karte 'Schlüssel zur Kohärenz' vermittelt **geometrische, farbbasierte und proportionale Informationen** und wirkt potenziell als passive Matrize, die mit der Umgebungskohärenzlandschaft der Probe interagiert. In biologischer Hinsicht impliziert dies, dass selbst statische informationelle Artefakte – sofern resonant oder phasenkompatibel – mit Kohärenzdomänen interagieren können, ohne direkte energetische Übertragung.

Wenn jedoch die intrinsische Kohärenz eines Systems – biologisch oder synthetisch – beeinträchtigt oder fragil ist, können informationelle Interventionen eher eine Fehlausrichtung als eine Verstärkung bewirken und ungeordnete Ergebnisse hervorrufen. Die beeinträchtigte Kristallisation, die unter dem Einfluss des 'Schlüssel zur Kohärenz'-Feldes beobachtet wurde, deutet darauf hin, dass die strukturelle Logik des Materials inkompatibel mit der informationellen Signatur des Instruments war, was eher zu einem Kohärenzkollaps als zu einer Verstärkung führte. Diese Dynamik könnte erklären , weshalb einige informations- oder Kohärenz-fördernde Werkzeuge positive Effekte in biologischen Systemen erzielen, während sie synthetische Anordnungen stören: Die Ausrichtung, nicht die Reinheit, bestimmt die Ergebnisse.

8.0 Informationelle Strukturierung und räumliche Konditionierung: Die Neufassung des Orozco-Felds

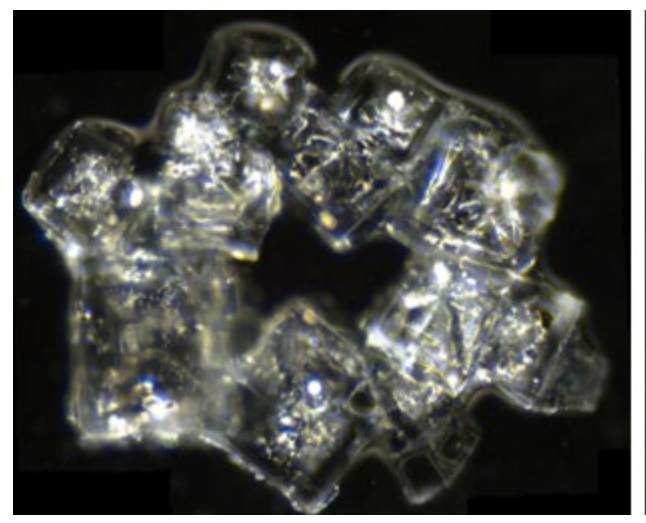
Zusätzlich zu formalen energetischen und Kohärenz-modulierenden Vorrichtungen führte Carlos Orozco eine – wenn auch unkonventionelle – Praxis der räumlichen Konditionierung ein, die reproduzierbare Auswirkungen sowohl auf biologische Tests als auch auf die Materialstruktur hatte. Diese Methode, die er als die Erzeugung eines Quantenfeldes bezeichnete, umfasste das Anbringen kleiner Klebebandstücke an den vier Ecken eines Schreibtisches in einer spezifischen, rituellen Reihenfolge: zuerst eine Ecke, dann die diagonal gegenüberliegende, gefolgt von den Positionen 9 Uhr und 3 Uhr. Carlos beschrieb dies als die Etablierung interagierender Wirbel innerhalb des begrenzten Quadrats. Obwohl diese Erklärung nicht vollständig mit den Beobachtungen übereinstimmte, war das resultierende Feld durch Muskeltests nachweislich erkennbar – Teilnehmer zeigten durchweg Stärke innerhalb des begrenzten Raumes und Schwäche außerhalb.

Des Weiteren stellte Carlos fest, dass sich dieses konditionierte Feld vertikal ausdehnte. In einem Beispiel blieb ein im Erdgeschoss eines Hotels etabliertes Feld im zehnten Stock direkt darüber detektierbar.

– weiterhin innerhalb des horizontalen Perimeters des ursprünglichen Quadrats. Dies deutet darauf hin, dass die Anwendung kein planares Feld, sondern eine vertikale Kohärenzsäule erzeugte, die die informationelle Integrität entlang der vertikalen Achse aufrechterhält und gleichzeitig die horizontalen Begrenzungen respektiert.

Aus einer alternativen Perspektive lässt sich dies als eine Form der informationellen Strukturierung des Raums verstehen, bei der ritualisierte physische Platzierung in Kombination mit Intention eine räumliche Matrix in die Kohärenzlandschaft einprägt. Anstatt Energie im herkömmlichen Sinne zu emittieren, könnte der Prozess die Phasenbeziehungen und informationellen Eigenschaften des Raums selbst konfigurieren und so einen Bereich veränderter Kohärenzbedingungen schaffen. Dieser Ansatz steht im Einklang mit langjährigen architektonischen und esoterischen Praktiken, bei denen die sorgfältige Markierung von Grenzen und die Abfolge der Aktivierung als Verankerung vertikaler energetischer oder informationeller Strukturen gilt – eine Achse Mundi der Kohärenz. Wenngleich der genaue Mechanismus weiterhin schwer fassbar ist, legen die konsistenten biologischen und strukturellen Reaktionen nahe, dass Raum ein Konfigurationsgedächtnis besitzen kann, das die Art und Weise prägt, wie sich Kohärenz innerhalb seiner Grenzen manifestiert. Diese r-Kontextualisierung der Methode von Orozco regt zu einer umfassenderen Untersuchung an, wie räumliche Konditionierung, Geometrie und Intention gemeinsam Kohärenzdomänen formen könnten – eine Grenze, die in der Kohärenzforschung bisher noch nicht formal kartiert wurde.

Zwei identische pharmazeutische Proben wurden präpariert und unter identischen Licht-, Temperatur- und elektromagnetischen Umgebungsbedingungen (EMF) auf separate Mikroskope im selben Raum platziert. Nur eines der Mikroskope wurde dem *Schlüssel zur Kohärenz* ausgesetzt. Überraschenderweise zeigte die Probe in der Nähe der Karte eine deutliche strukturelle Verschlechterung. Kristalle waren weniger definiert, die Kanten waren abgerundeter und die innere Symmetrie war vermindert. Im Gegensatz dazu erzeugte die Kontrollprobe – außerhalb des Einflusses des Geräts platziert – saubere, gut organisierte kristalline Strukturen. Die Ergebnisse waren konsistent und reproduzierbar, was darauf hindeutet, dass das vom Gerät erzeugte symbolische Feld, obwohl es zur Förderung biologischer Kohärenz entwickelt wurde, die für den Fortbestand dieser synthetischen Kristallstrukturen erforderliche, phasenweise ausgerichtete Ordnung störte.



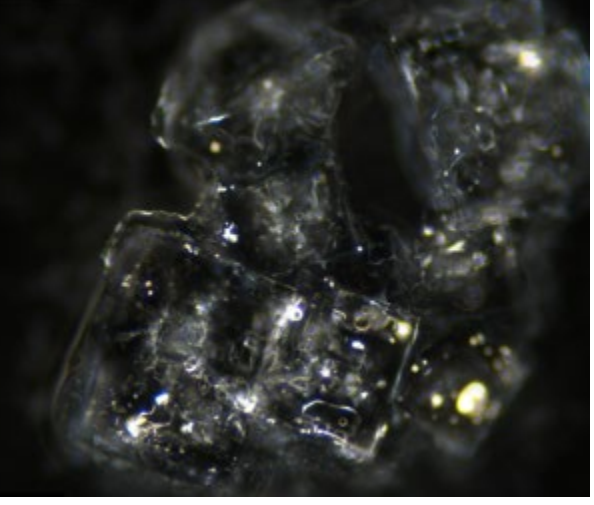


Abbildung A6.6. Vergleichende Kristallbildungen unter identischen Bedingungen. Links: Kontrollprobe auf einem Mikroskop, das keinem *Schlüssel zur Kohärenz* -Feld ausgesetzt ist – kristalline Struktur erhalten. Rechts: Probe innerhalb des *Schlüssel zur Kohärenz* -Feldes – partieller Kollaps mit abgemilderten Kanten und reduzierter Klarheit. Diese Ergebnisse legen nahe, dass Kohärenz, abhängig von der informationellen Phasenausrichtung zwischen Feld und Material, entweder als Stabilisator oder als Disruptor wirken kann.

Zu diesem Zeitpunkt war das Ergebnis rätselhaft. Im Nachhinein deckt es sich jedoch mit neueren Erkenntnissen über Feld-Phasen-Fehlanpassungen. Die durch den *Schlüssel zur Kohärenz* erzeugte Kohärenz mag biologisch resonant sein, ist aber möglicherweise nicht phasenkompatibel mit dem energetischen Gerüst, das diese synthetischen, selbstorganisierenden Materialien benötigen. So wie Kolloidales Gold eine destruktive oszillatorische Fehlanpassung hervorruft, könnte Orozcos Gerät eine schwache, aber inkompatible Kohärenzsignatur induziert haben – die den Kollaps nicht durch Toxizität oder Zwang, sondern durch eine subtile Disharmonie in der Informationsstruktur verursacht.

Dies spiegelt die Ergebnisse von Masaru Emoto wider, dessen Arbeit zur Wasserkristallisation zeigte, dass Felder, die mit Intention, Sprache oder Musik angereichert sind, die Strukturbildung beeinflussen können. Kohärenz ist jedoch nicht gleich Kohärenz. Ein Schallfeld oder Feld, das die biologische Harmonie unterstützt, kann die Synthetische Selbstorganisation stören, insbesondere wenn biologische und synthetische Systeme auf grundlegend unterschiedlichen Phasenarchitekturen basieren. Diese Ergebnisse unterstreichen ein wesentliches Prinzip: Kohärenz ist kontextabhängig, und ihre Kompatibilität hängt von der Ausrichtung ab – nicht nur von der Reinheit.

Schlussfolgerung

Was als periphere Kuriosität begann, hat sich zu einer zentralen Erkenntnis entwickelt: Kolloidales Gold wirkt als Kohärenzstörer. Durch wiederholte Experimente wurde deutlich, dass die selbstorganisierenden kristallinen Strukturen, die in pharmazeutischen Proben beobachtet werden, nicht lediglich ein Produkt chemischer Prozesse sind. Es handelt sich um feldabhängige Architekturen – sensibel, reaktionsfähig und dynamisch mit ihrer elektromagnetischen Umgebung verschränkt.

Wird ein Tröpfchen kolloidalen Goldes eingebracht, kollabiert die interne Ordnung des Systems oftmals: Kanten werden weicher, Vesikel lösen sich ab, und ehemals stabile Geometrien lösen sich auf oder rekonfigurieren sich. Diese Reaktion erfolgt nicht zufällig, sondern gezielt, strukturiert und zeitlich verbunden mit der Störung eines zugrunde liegenden Kohärenzfeldes. Abschirmungsversuche – beispielsweise in Faraday-Käfigen – bestätigen dies zusätzlich. In Abwesenheit von elektromagnetischen Feldern (EMF) bilden sich keine Kristalle; diese erscheinen jedoch wieder, sobald die Felder wiederhergestellt werden. Mateo Taylors Erkenntnisse, die ein Echtzeit-Wachstum in Verbindung mit der Aktivität von WLAN-Routern zeigen, bieten eine unabhängige Bestätigung dieses Verhaltens. Diese Beobachtungen erfordern einen grundlegenden Wandel in der Interpretation pharmazeutischer Selbstorganisation. Wir haben es nicht nur mit passiven Materialien in statischen Umgebungen zu tun. Dies sind kohärenzgesteuerte Systeme, die Ordnung aus ihrer energetischen Umgebung beziehen. Dies hat tiefgreifende Auswirkungen. Wenn einfache Interventionen wie Goldexposition oder EM-Abschirmung eine strukturelle Demontage auslösen oder das Wachstum stoppen können, was bedeutet dies für die Stabilität, Programmierbarkeit oder sogar potenzielle Schwachstellen solcher Architekturen?

Ob für therapeutisches Design, zur Entgiftung oder für gezielte Störungen: Das Verständnis, wie Kohärenz aufrechterhalten wird oder verloren geht, wird entscheidend sein. Wir beginnen erst, die operative Logik feldempfindlicher synthetischer Systeme zu erahnen – und die Zukunft der Medizin könnte sehr wohl davon abhängen, wie wir uns entscheiden, mit dieser Logik zu interagieren.

Anhang 7. Funktionelle Modellierung von Orgonit-Feldeffekten

Die anomalen strukturellen Störungen, die in mit Orgonit behandelten Proben beobachtet wurden – einschließlich gestoppter Vesikelbewegung, verkürzter Kristallbildung und raschen Kohärenzkollapses –, deuten auf den Einfluss eines nicht-chemischen Feldeffekts hin. Obwohl diese Effekte mit Standard-EM-Instrumenten nicht nachweisbar sind, weisen sie auf einen zugrunde liegenden energetischen Mechanismus hin.

Um dies zu untersuchen, wurde ein symbolisches Modell entwickelt, das die funktionelle Dynamik von Orgonit-Vorrichtungen beschreibt. Dieses Modell basiert auf beobachteten Korrelationen zwischen Materialzusammensetzung, struktureller Geometrie und Frequenzverhalten.

Symbolische Resonanz-Gleichung

$$\Phi_{
m org} = \gamma \cdot \eta \cdot \mu \cdot \chi(\omega)$$

Symbol	Bedeutung	Interpretation
$\Phi_{ m org}$	Orgonit-Feldstärke	Gesamtkohärenz oder skalarartiges Feld, emittiert vom Gerät
γ	Effizienz der Kristallausrichtung	Orientierung und piezoelektrische Reaktivität des eingebetteten Quarzkristalls
η	Leiter-Dielektrikum-Kopplung	Effizienz des Ladungsaustausches zwischen Metallmatrix und Harz
μ	Materialspeicherkoeffizient	Tendenz des Komposits, energetische oder feldbasierte Prägungen beizubehalten
$\chi(\omega)$	Frequenzgangprofil	Empfindlichkeit gegenüber Umgebungsoszillationen (z. B. Schumann -Resonanz, solare Aktivität)

Proxy-Messung über Musterstörung

Obwohl nicht direkt messbar, manifestiert sich die Anwesenheit von Φ org durch ihre Auswirkungen auf dynamische Systeme, wie:

- Eis-Kristallisation (verwendet in früheren explorativen Arbeiten)
- Kolloidbewegung und Vesikel-Selbstorganisation (wie in dieser Studie)
- Dunkelfeldmikroskopie-Signaturen von Ordnung/Unordnung-Übergängen

Veränderungen in diesen Mustern legen nahe, dass Orgonit die Kohärenzlandschaft moduliert und somit die Feldstabilität stört, von der Synthetische Nanostrukturen offenbar abhängen.

Implikationen

Dieses Modell bietet ein konzeptionelles Gerüst, um zu verstehen, wie passive, nichtelektrische Materialien wie Orgonit komplexe, signalresponsive Anordnungen beeinflussen können. Anstatt chemische Pfade zu blockieren, verändern diese Vorrichtungen möglicherweise die informationelle oder resonante Umgebung und lösen so die Kohärenz auf, die die Selbstorganisation überhaupt erst ermöglicht.

Anhang 8: Die "Taffy-Zieher"-Sequenz:

- Morphologische Rekonfiguration in einem Dentallokalanästhetikum-Tröpfchen

Überblick

Dieser Anhang dokumentiert eine bemerkenswerte Abfolge aktiver morphologischer Transformationen, die in einem Tröpfchen Dentallokalanästhetikum beobachtet wurden, welches unter Dunkelfeldmikroskopie über neun Stunden ungestört blieb. Das in Echtzeit aufgenommene Video zeigt ein dynamisches Strukturverhalten, das durch konventionelle chemische Prozesse nicht erklärt werden kann. Die gezeigte Anordnung – anfänglich statisch – wird kurz nach dem Einschalten des Mikroskoplichts aktiviert und initiiert eine Reihe von Ereignissen, die in einem strukturellen Zusammenbruch und Lichtemission gipfeln. Diese "Taffy-Zieher"-Sequenz bietet einen direkten visuellen Beweis für reaktive, feldempfindliche Architekturen innerhalb pharmazeutischer Materialien.

Beobachtungskontext

- Probe: Tröpfchen Dentallokalanästhetikum nach mehrfachen Verdunstungszyklen Sessiler Tröpfchen (SDE).
- Mikroskopie: Dunkelfeldmikroskopie, 1000-fache Vergrößerung.
- Zeitlicher Ablauf : Kristall hatte sich mehrere Stunden zuvor gebildet; Videoaufzeichnung beginnt erst nach erneuter Beleuchtung.
- Dauer: Beobachtung über einen kontinuierlichen Zeitraum von 9,5 Stunden.

Chronologische Abfolge

1. Minuten nach Lichtaktivierung

- Ein zuvor statisches Kreis-Rechteck-Motiv (KRM) beginnt sich zu verändern.
- o Das Kreissegment kollabiert nach innen und formt das CRM zu einem rechteckigen Block um.

2. Kurz danach

- Ein filamentartiger, "Taffy-Zieher"-artiger Arm, der sich von der Struktur erstreckt, zieht sich zurück.
- o Ein schwacher, aber deutlicher**Lichtring**erscheint aus der zentralen Achse.

3. 4,5–9,5 Stunden

- Das Rechteck bewegt sich vorwärts in das Feld hinein.
- Gleichzeitig destabilisiert sich der zurückgezogene "Taffy-Arm" und beginnt, nach innen zu kollabieren.
- Blaulichtemission wird in der Nähe der terminalen Phase beobachtet, konzentriert an der Basis des kollabierenden Arms.

Sequenz von Standbildern und Bildunterschriften

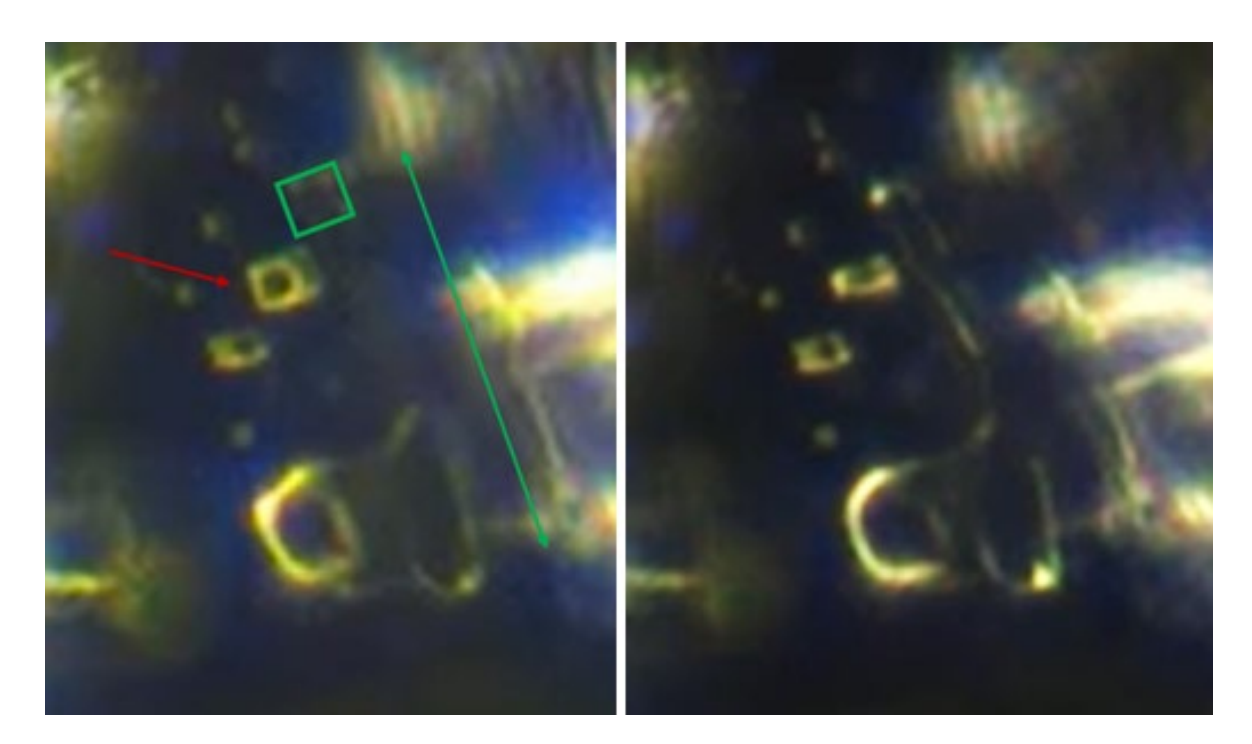


Abbildung A8.1. Ausgangskonfiguration und frühe Transformation der "Taffy-Zieher"-Anordnung. Links: Der rote Pfeil hebt ein Kreis-Rechteck-Motiv (CRM) vor der Transformation hervor. Das grüne Quadrat markiert den Kopf des filamentartigen, "Taffyartigen" Arms, und der grüne Pfeil zeigt dessen volle Länge an. Rechts: Das CRM hat sich in einen massiven, rechteckigen Block verwandelt, und der Taffy-Arm zeigt eine erhöhte Lumineszenz. Diese Veränderungen markieren den Beginn einer dynamischen Struktursequenz. 200-fache Vergrößerung.



Abb. A8.2 RM-Transformationssequenz bei 200-facher Vergrößerung. Links: Zentrale Ringstruktur, umschlossen von einer rechteckigen Hülle – die charakteristische Geometrie eines Circle-Rectangle-Motivs (CRM). Rechts: Das gleiche CRM-Motiv, Momente später, hat sich in eine massive, rechteckige Form verwandelt.

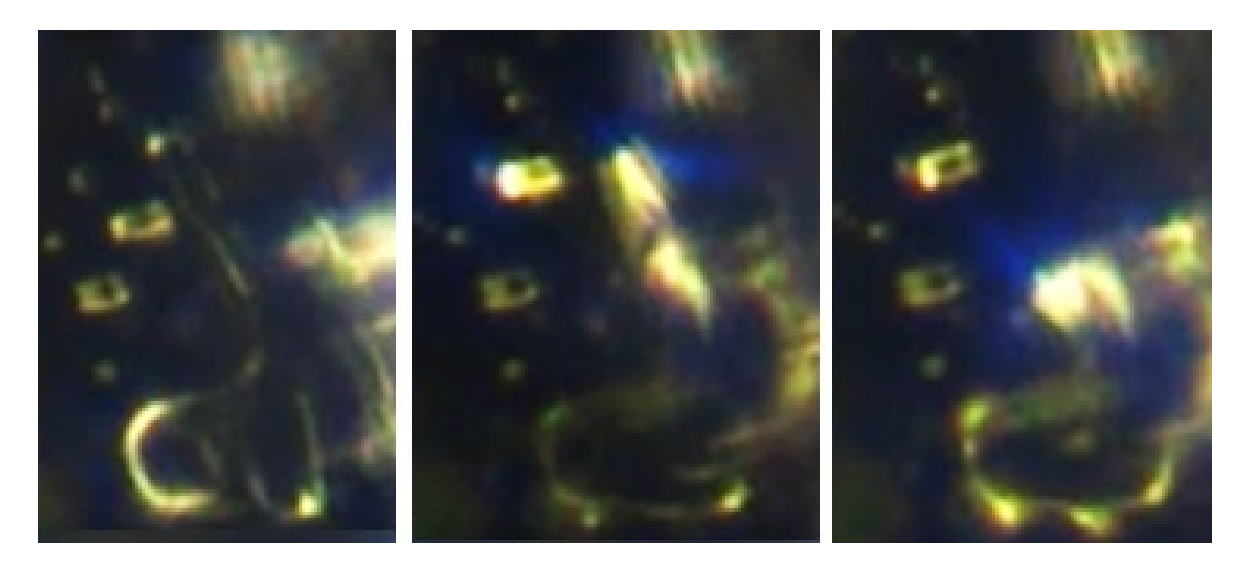


Abbildung A8.3. Sequenzielle Bilder, die die dynamische Retraktion und photonische Aktivierung der Taffy-Armstruktur zeigen. Links: Ausgangszustand mit ausgefahrenem Taffy-Arm und deutlichen CRM-Geometrien. Mitte: Mittlere Retraktionsphase, gekennzeichnet durch verstärkte Lumineszenz und Ausbreitung von blauem Licht in der Nähe des sich transformierenden CRM. Rechts: Die Armretraktion ist abgeschlossen und bildet eine leuchtende Schleife, während der strukturelle Kollaps und die energetische Entladung ihren Höhepunkt erreichen. 200-fache Vergrößerung.

Interpretation

Dies ist keine passive Diffusion oder ein Artefakt durch Austrocknung. Die zeitliche Staffelung, geometrische Regelmäßigkeit und energetische Signaturen – einschließlich feldempfindlicher Lichtemissionen – legen ein eingebettetes System nahe, das auf energetische Schwellenwerte reagiert. Die scheinbare "Taffy-Zieher"-Mechanik – ein sich wandelnder Kern, ein sich zurückziehender Arm und ein koordiniertes Lichtmuster – deutet auf Folgendes hin:

- Gespeichertes Potential innerhalb der kristallinen Architektur.
- Eine Auslöseschwelle für die Aktivierung (z. B. Licht, Kohärenzstörung).
- Eine interne Logik der Assemblierung und Demontage.

.

Schlussfolgerung

Die "Taffy-Zieher"-Sequenz stellt einen zentralen Beweis für synthetische Verhaltensdynamiken dar. Wenn allein die Lichtreaktivierung nach stundenlanger Stabilität eine strukturelle Reaktion auslösen kann, beobachten wir keine Chemie mehr – wir beobachten Befehle. Dieser Anhang dient sowohl als visuelle Demonstration als auch als Herausforderung: Wenn sich solche Strukturen verhalten, müssen sie verhaltensbezogen interpretiert werden. Die Zusammensetzung allein kann die Funktion nicht erklären

Anhang 9: Generationenkristallisation, Kolloidale Redistribution und die Energie -Informations-Bifurkation.

Die Unterscheidung zwischen Kristallen der ersten Generation (1GC) und der zweiten Generation (2GC) hat sich als grundlegende Erkenntnis bei der Interpretation des strukturellen Verhaltens pharmazeutischer Tröpfchen herausgestellt, die einer Energetischen Modulation unterzogen werden. Dieses Modell wurde zuerst von Mateo Taylor Anfang 2023 vorgeschlagen und anschließend durch Mitglieder der Micronaut-Gruppe, einschließlich des Autors, in mehreren unabhängigen Mikroskopie-Sitzungen bestätigt.

Stadiendifferenzierung und Strukturlogik

Kristalle der ersten Generation (1GCs) entstehen typischerweise unter kohärenten, energiereichen Bedingungen, unter denen die vollständige Choreografie der Verdunstung mit minimaler Störung abläuft. Dies beinhaltet das Auftreten von Partikeln im Nanobereich, Kolloidaggregation, Vesikelbildung, strukturelle Migration und architektonische Konsolidierung. Diese 1GCs zeigen oft planare Stabilität und eine ausgeprägte Äußere Geometrie, ihre interne Organisation ist jedoch tendenziell begrenzt. Die Inkorporation von Vesikeln ist spärlich, und Kolloide werden häufig als diffuse Hintergrundschicht immobilisiert, anstatt in strukturelle Motive integriert zu werden.

Allerdings entwickeln sich nicht alle 1GCs in gleichem Maße. Wenn die energetische Kohärenz während der Bildung gestört wird – beispielsweise durch Vorbehandlung mit Orgon-Geräten – können Kristalle aufgrund des Zeitpunkts und der Initiierungsbedingungen zwar immer noch als 1GCs klassifiziert werden, weisen aber eine beeinträchtigte Struktur auf. In diesen Fällen treten Schlüsseleigenschaften, wie die vesikuläre Schichtung oder die Ausbildung klarer Grenzflächen, möglicherweise nicht auf, was zu planaren, jedoch intern degradierten Kristallen führt. Der Unterschied liegt hier in der Kohärenzqualität und nicht in der Generationsidentität.

In einigen Beispielen, wie dem sich auflösenden 1GC, das in Abbildung 35 dargestellt ist, beobachtete ich eine Streuung feiner blauer Partikel, die individuell nicht aufgelöst werden konnten. Dies war der erste eindeutige Beweis für das Auftreten von Material im Nanobereich in einem so späten Stadium und könnte eine unreife Partikelentwicklung oder einen verzögerten Ausdruck der ersten Phase in der tetraphasischen Sequenz widerspiegeln.

Paarweiser Vergleich von Generation und Behandlung

Diese gepaarten Beispiele unterstreichen, wie wichtig es ist, zwischen Generation und Behandlung zu unterscheiden. Beide Abbildungen zeigen 1GCs – entstanden während des ersten Kristallisationszyklus –, aber ihre morphologischen Unterschiede resultieren aus der energetischen Umgebung, in der sie sich selbstorganisierten Der unbehandelte Kristall (links) weist eine stabile äußere Form und kohärente radiale Strukturen auf. Der behandelte Kristall (rechts) zeigt zwar eine vergleichbare grobe Struktur, jedoch eine gestörte innere Ordnung, eine beeinträchtigte Vesikelbildung und eine reduzierte Kohärenz.

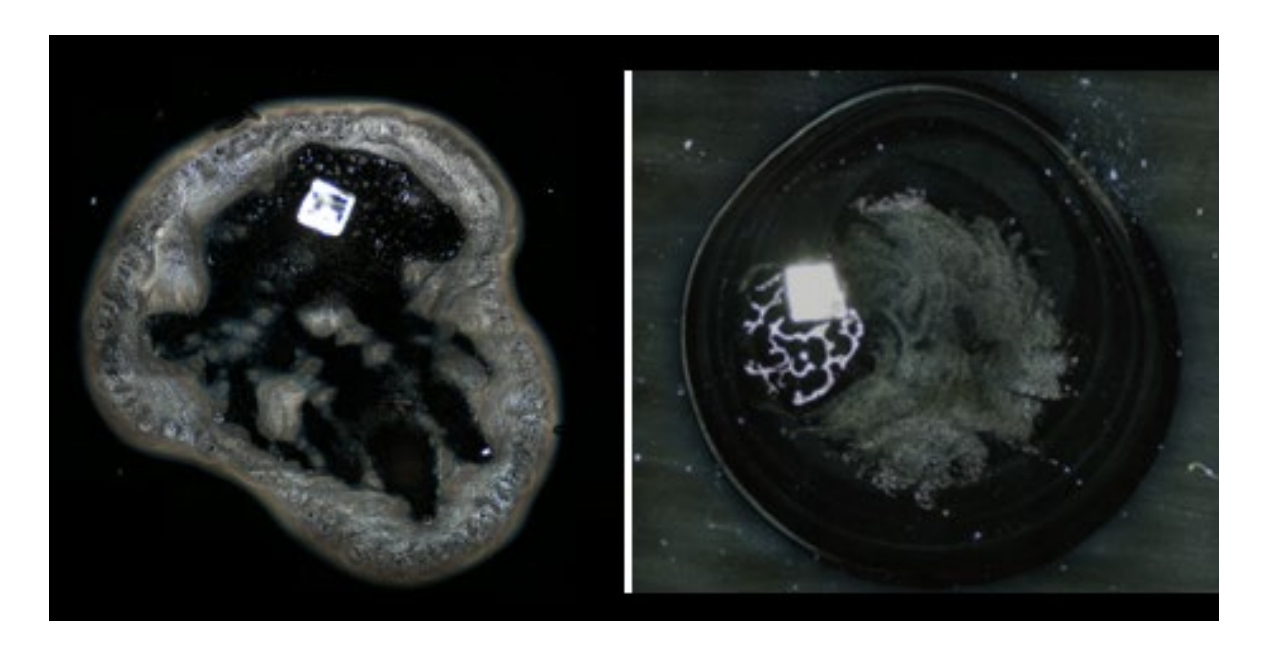


Abbildung A9.1: Vergleich von Kristallen der ersten Generation (1GCs) unter verschiedenen Kohärenzbedingungen. Links: Unbehandelte 1GC , die eine ausgeprägte planare Geometrie, eine definierte radiale Musterbildung und Vesikelstabilität zeigt. Rechts: Behandelte 1GC, die vor der Verdunstung einem Orgonit-Feld ausgesetzt war. Obwohl der Generationsstatus erhalten bleibt, ist die innere Struktur fragmentiert , die Kantenschärfe reduziert und die Vesikelbildung weitgehend unterbunden. Diese Kontraste demonstrieren, wie die Modulation der Kohärenz die Integrität selbst von frühen Assemblierungen beeinträchtigen kann. Vergrößerung 20x.

Diese beiden Kristalle demonstrieren weiterhin die Empfindlichkeit der 1GC-Bildung gegenüber Kohärenzbedingungen. Der unbehandelte Kristall (links) weist saubere Grenzen, radiale Motive und eine interne Ordnung auf. Das mit Orgonit behandelte Pendant (rechts) ist weiterhin als planar erkennbar, zeigt jedoch interne Fragmentierung, gestörte Schichtung und eine reduzierte vesikuläre Repräsentation. Dies legt nahe, dass die Generationskategorie zwar die zeitliche Steuerung widerspiegelt, die Ausführungsqualität jedoch von intakten energetischen Gradienten und einer ungestörten Vesikel-Kolloid-Integration abhängt.

Merkmale der zweiten Generation

Kristalle der zweiten Generation (2GCs) entstehen typischerweise nach Systemischem Kollaps, erneuter Verdunstung oder lichtinduzierter Reaktivierung. Diese Formationen nutzen zuvor freigesetzte Kolloide, die nun über das Substrat verteilt sind, und weisen deutlich unterschiedliche Merkmale auf. Obwohl strukturell schwächer und anfälliger für vertikale Verformung, zeigen 2GCs eine verstärkte interne Motiv-Expression, einschließlich Kreis-Rechteck-Motiven (CRMs), radiale Kompartimentierung und feine fraktale Verzweigungen. In einigen Fällen wurden dichte Mikroeinschlüsse und toroidale Strukturen im Kristall-kern beobachtet.

Diese Eigenschaften legen nahe, dass 1GCs, ermöglicht durch Kohärenz und Energie, Form priorisieren, während 2GCs, ermöglicht durch die Verfügbarkeit und Integration von mobilem, kolloidalem Inhalt, Komplexität bevorzugen.

Energie ermöglicht Form; Information ermöglicht Komplexität

Diese Bifurkation führt zu folgendem Leitsatz: Energie ermöglicht Form, Information jedoch

Komplexität. Kristalle der ersten Generation entstehen als energetisch bevorzugte Architekturen mit klaren Konturen und erhaltener planarer Anordnung, denen es jedoch oft an interner Ausgestaltung mangelt. Kristalle der zweiten Generation entstehen nach einer Störung in verarmten Umgebungen, weisen jedoch eine interne Komplexität und eine erhöhte CRM-Wiederholungsrate auf. Diese Inversion legt nahe, dass Information – transportiert innerhalb der kolloidalen Phase – erst dann exprimiert werden kann, wenn Kohärenzbeschränkungen aufgehoben oder zurückgesetzt werden.

Kolloidale Redistribution der Phase

Eine wichtige Beobachtung, die dieses Modell stützt, ist, dass Kolloide nicht immer strukturell integriert werden. In frühen 1GCs erscheinen Kolloide häufig als ein feiner Film, der sich über das Tröpfchen-Substrat erstreckt, insbesondere unter Dunkelfeldbeleuchtung, nachdem sich die Kristallisation stabilisiert hat. Dies deutet auf ihre Immobilisierung hin – entweder sequestriert durch Vesikelmembranen oder suspendiert in strukturierten Wasserschichten.

In 2GCs wird die kolloidale Redistribution deutlicher sichtbar. Kolloide treten mit höherer Dichte an der Kristallperipherie oder in feinen, konzentrischen Anordnungen nahe dem Kern wieder auf und bilden mitunter distinkte Texturzonen. Diese Muster wurden häufig in reaktivierten oder mit Orgonit behandelten Proben beobachtet, bei denen die Vesikeldynamik kollabiert war, die kolloidale Mobilität jedoch erhalten blieb. Dies stützt die Hypothese, dass Kolloide als Träger struktureller Informationen fungieren, die möglicherweise erst dann aktiviert werden, nachdem die Energetische Modulation Feldbeschränkungen gelöst hat.

Diagnostischer Nutzen des Versagens

Am aufschlussreichsten ist möglicherweise die diagnostische Aussagekraft des Versagens. Wenn die Vesikelbildung blockiert ist oder die Kristallisation nach Lichteinwirkung oder einer Feldstörung vorzeitig wieder einsetzt, wird der Unterschied zwischen 1GC und 2GC am deutlichsten. In diesen Fällen baut sich das System nicht einfach ab – es offenbart seine innere Logik. Der Kontrast zwischen äußerer Form und innerem Reichtum spiegelt eine Umverteilung begrenzter struktureller Ressourcen wider: Energie dient der Kontur und Stabilität, während Information, die in kolloidalen Reservoirs gespeichert ist, eine tiefere strukturelle Ausprägung ermöglicht.

Implikationen für die Gestaltung

Diese Ergebnisse stellen die Annahme in Frage, dass die Kristallarchitektur ausschließlich eine Funktion der chemischen Zusammensetzung ist. Stattdessen legen sie ein Designsystem nahe, das hochsensibel auf Energetische Vorbedingungen und Kohärenzzustände reagiert. Die kolloidale Phase fungiert nicht nur als Vorstufe, sondern als programmierbares Substrat, das latentes Strukturpotenzial auch nach dem Kollaps beibehält. Die beobachtete Inversion – bei der Kohärenz die Stabilität fördert und Störungen die Ausprägung – erzwingt eine Neubewertung der Kristallisation als passiven Prozess. Es handelt sich stattdessen um ein aktives System, das einer Feldlogik unterliegt und zu Teil-Neustarts, adaptiven Architekturen und informationsreicher Reassemblierung fähig ist.

Glossar

Kantiger Toroid

Eine Unterklasse der toroidalen Struktur, die sich durch eine nicht-uniforme oder segmentierte Geometrie auszeichnet und oft eher polygonal als kreisförmig erscheint. Die hier dokumentierten kantigen Toroiden lassen auf ein templatiertes Design schließen und könnten morphogenetische Anweisungen höherer Ordnung widerspiegeln.

Anomale Strukturen

Ungewöhnliche oder unerwartete Formationen, die von typischen Kristallisationen oder Signalmustern abweichen und oft auf ein synthetisches Design oder externe Einflüsse hindeuten.

Attributionsfehler

Die Unfähigkeit, eine Bluetooth-MAC-Adresse unter Verwendung von Standard-Lookup-Methoden (z. B. OUI-Datenbanken) einem bekannten Gerät, Hersteller oder Dienst zuzuordnen. In dieser Studie deutet ein Attributionsfehler darauf hin, dass eine MAC-Adresse, obwohl strukturell valide, keiner kommerziellen Einheit oder Hardwarequelle zugeordnet werden kann, was auf einen synthetischen oder nicht standardmäßigen Ursprung schließen lässt.

Axis Mundi der Kohärenz

Ein Konzeptmodell, das die vertikale informationelle Strukturierung des Raumes beschreibt, die durch intentionale oder symbolische Handlungen erzeugt wird. Entlehnt aus metaphysischen Traditionen, in denen die Axis Mundi eine Weltachse darstellt, die Reiche verbindet; hier bezeichnet sie die Etablierung einer kohärenzausgerichteten, vertikalen Säule innerhalb eines begrenzten horizontalen Bereichs. Das Phänomen legt nahe, dass räumliche Strukturierung die informationelle Integrität entlang der vertikalen Achse fortpflanzen kann, während sie auf horizontaler Ebene räumlich begrenzt bleibt.

Bio-Nano-Kommunikationsschnittstelle

Eine hypothetische Interaktionszone, in der biologische oder synthetische Materialien drahtloses Signalverhalten zeigen können und einen Teil eines dezentralen Kommunikationsnetzwerks bilden.

Bio-Nano-Kommunikationsnetzwerke

Hypothetische oder neu entstehende Systeme, in denen Entitäten im Nanobereich oder biologische Entitäten elektromagnetische Signale aussenden oder drahtlos interagieren und potenziell dezentrale oder eingebettete Kommunikationsschichten bilden.

Bio-Nano-Schnittstellen

Die Schnittstelle zwischen biologischen Systemen und Materialien im Nanobereich, wo Interaktionen zu organisierten Strukturen oder funktionalen Verhaltensweisen führen können.

BLE (Bluetooth Low Energy)

Ein energieeffizientes, drahtloses Protokoll, das häufig in ortsbezogenen Anwendungen eingesetzt wird. BLE war der Standard, der bei passiven Scans verwendet wurde und anomale MAC-Emissionen detektierte.

Bio-digitale Schnittstelle

Die Konvergenzzone, in der biologische Systeme mit digitalen Technologien interagieren, darunter eingebettete Sensoren, drahtlose Kommunikationssysteme und programmierbare Nanomaterialien. Sie stellt eine neue Grenze der Überwachung, Kontrolle und biologischen Augmentierung dar.

Biophotonische Resonanzeinheit

Eine vorgeschlagene Klassifizierung für Strukturen, die biologische oder pharmazeutische Materialien mit optischer oder elektromagnetischer Resonanzfähigkeit kombinieren. Die in dieser Studie beobachtete kristalline Struktur ist ein möglicher Kandidat hierfür, in Anbetracht ihrer Organisation, Kompartimentierung und lichtinteraktiven Eigenschaften.

Bitfeldkonstanz

Das Phänomen, bei dem bestimmte Bitpositionen über mehrere MAC-Adressen hinweg identisch bleiben, und damit weit über das hinausgehen, was zufällig zu erwarten wäre. Diese strukturelle Wiederholung deutet auf einen Ursprung durch Templat oder Programmierung hin.

C₆₀ -induzierte Klärung

Eine Phase struktureller Verfeinerung, die nach Zugabe eines Fulleren-basierten Öls (C ₆₀) beobachtet wird und den optischen Kontrast, die Grenzschärfe sowie die Sichtbarkeit der Substruktur verbessert. In dieser Studie ermöglichte die Behandlung mit C ₆₀ eine klarere Differenzierung von toroidalen Formationen und der Dynamik vesikulärer Ränder.

Kapillarströmungen

Fluidbewegung innerhalb eines Tröpfchens, angetrieben durch Oberflächenspannung und Verdunstungsdynamik, die Partikel umverteilt und die Selbstorganisation beeinflusst.

Kohärenzkollaps

Der Prozess, bei dem eine assemblierte Struktur ihre interne Organisation und geometrische Integrität aufgrund der Störung ihres Kohärenzfeldes verliert. Dies führt zu Fragmentierung, Vesikel-Dispersion und optischer Degradierung.

Kohärenz-gesteuertes Schalten

Ein hypothetischer Mechanismus, bei dem der Zugang zur strukturellen Reassemblierung oder Signalpropagation durch das Vorhandensein eines kohärenten Energiezustands gesteuert wird, der als Schwellenwert für die Aktivierung fungiert.

Konfiguratives Raumgedächtnis

Die hypothetische Fähigkeit eines räumlich begrenzten Bereichs, Informationsmuster zu speichern, die durch vorherige intentionale, symbolische oder geometrische Konditionierung übertragen wurden. Im Kontext der Kohärenzdynamik besagt dieses Konzept, dass ein Raum, sobald ein Feld durch spezifische Konfigurationen wie geometrische Markierungen oder rituelle Platzierungen etabliert wurde, dauerhafte Eigenschaften aufweist, die biologische oder materielle Systeme beeinflussen – selbst bei Abwesenheit eines kontinuierlichen energetischen Inputs. Dieser Gedächtniseffekt kann sich in anhaltender Kohärenz, struktureller Stabilität oder phasenspezifischen Reaktionen innerhalb des konditionierten Raums manifestieren.

Kreis-Rechteck-Motive

Wiederkehrende geometrische Merkmale, die sich durch präzise kreisförmige und rechteckige Anordnungen auszeichnen und eine hierarchische sowie fraktalartige Organisation aufweisen.

Koazervate

Phasengetrennte Tröpfchen, die durch Flüssig-Flüssig-Phasentrennung entstehen und häufig als Vorläufer organisierter oder selbstorganisierender Systeme dienen.

Kohärenz-Phasenfehlanpassung

Ein Zustand, in dem zwei interagierende Felder – beispielsweise von passiven Geräten wie Orgonit – Phasen- oder Frequenzunterschiede verursachen, die bestehende kohärenzabhängige Strukturen stören, ohne dass hohe Energie benötigt wird.

Kohärenzrestdomäne (KRD)

Ein lokalisierter Bereich innerhalb eines behandelten Tröpfchens, in dem die strukturelle Selbstorganisation ausbleibt, wobei Vesikel-Cluster-Überreste auf verbleibende Feldinterferenzen oder gestörte Kohärenzbedingungen hindeuten.

Kolloidale Partikel

Kleine Partikel, die in einem flüssigen Medium suspendiert sind und als Intermediäre in Selbstorganisationsprozessen fungieren, wodurch Nano- und Mikrobereiche verbunden werden.

Kolloidale Redistribution

Die dynamische Neuanordnung oder Reaggregation kolloidaler Partikel nach einer Kohärenzstörung, die häufig einer Kristallisation zweiter Generation vorausgeht oder diese ermöglicht.

Komplexe Selbstorganisation

Die spontane Bildung komplexer, organisierter Strukturen aus einfachen Komponenten, die oft durch Umweltfaktoren, externe Felder oder interne Programmierung beeinflusst wird.

Deckglasbegrenzung

Der Einfluss eines Deckglases über einem Sessilen Tröpfchen, der die Verdunstungsdynamik, die Flüssigkeitsverteilung sowie die Klarheit oder Komplexität der beobachteten Strukturen verändert. Führt oft zu einer verbesserten geometrischen Definition und verstärkten strukturellen Schichtung.

Kristall-Faser-Anordnungen (KFA)

Einzigartige Faser-Kristall-Strukturen, die in pharmazeutischen Präparaten beobachtet werden und eine integrierte Organisation von Mikrostrukturen unterschiedlicher Zusammensetzung demonstrieren.

Kristallgitterdefekt

Der Zusammenbruch oder die Verhinderung der Bildung der erwarteten geometrischen Regelmäßigkeit innerhalb eines selbstorganisierenden Kristalls, oft nach energetischen oder umweltbedingten Störungen. Deutet auf den Verlust kohärenzabhängiger Musterbildung hin.

Dendritisches Wachstum

Verzweigte Ausläufer, die von einer zentralen Struktur ausgehen und oft den Prinzipien der diffusionslimitierten Aggregation folgen. Deutet auf Wachstum entlang spezifischer energetischer oder chemischer Gradienten hin.

Diagnostischer Marker B6B6

Ein wiederkehrendes MAC-Adresspräfix, das in mehreren Datensätzen zeit- und ortsunabhängig beobachtet wurde. Seine anomale Häufigkeit und Reproduzierbarkeit deuten auf eine synthetische oder zentral gesteuerte Broadcast-Signatur hin.

Kantenerweiterungen

Lineare oder bogenförmige Ausstülpungen, die sich von kristallinen Kanten erstrecken und häufig mit vesikulären oder toroidalen Einschlüssen übereinstimmen. Dienen als Wachstumsfronten oder strukturelle Elemente in fortgeschrittener Selbstorganisation.

Energetische Feldmodulation

Der Einfluss externer energetischer Einwirkungen (z. B. Magnetfelder, Schwingungsfrequenzen) auf das Verhalten von Materialien oder Systemen, insbesondere im Kontext der Selbstorganisation.

Energie-Informations-Bifurkation

Ein Konzeptmodell, in dem Energie die Grundform einer Struktur festlegt, Information jedoch

deren Komplexität, Stabilität und fraktale Eigenschaften diktiert. Zentral für die Interpretation der Kristallisation erster und zweiter Generation.

Exklusionszonen-(EZ)-Wasser

Eine von Pollack beschriebene strukturierte Phase des Wassers, die an hydrophile Oberflächen angrenzt und unterschiedliche physikalische Eigenschaften aufweist (z. B. Ladungstrennung, Viskosität). Es wird angenommen, dass es kohärente Selbstorganisationsphänomene beeinflusst oder aufrechterhält.

Feldkohärenzstörung

Verlust geometrischer Regelmäßigkeit und strukturierten Verhaltens aufgrund von Interferenz mit zugrunde liegenden energetischen oder resonanten Ausrichtungen, oft verursacht durch niederintensive externe Felder.

Feldkohärenz-Schwellenwert

Die minimale Feldstärke oder das Frequenzprofil, die bzw. das notwendig ist, um kohärenzabhängige Selbstorganisation aufrechtzuerhalten oder auszulösen. Unterhalb dieser Schwelle brechen Strukturen zusammen oder werden nicht initiiert.

Kristalle der ersten Generation (1GC)

Kristalle, die sich während des anfänglichen Verdunstungszyklus des Sessilen Tröpfchens unter Bedingungen hoher Kohärenz bilden. Sie weisen typischerweise scharfe Geometrien, stabile Grenzen und eine kohärente interne Organisation auf, die ein ungestörtes Energierüstzeug widerspiegelt.

Fraktale Geometrie

Selbstähnliche Strukturmuster, die sich über verschiedene Skalen wiederholen und auf eine rekursive Assemblierungslogik hindeuten. CRMs und vesikuläre Anordnungen zeigen oft fraktalähnliche Eigenschaften.

Hydrogel-verknüpfte Kristalle

Kristalline Strukturen, die in Hydrogel-Domänen integriert sind oder aus diesen hervorgehen und oft ein einzigartiges optisches Verhalten sowie eine einzigartige Grenzflächenbildung aufweisen.

Informationsresistente Phase

Eine strukturelle oder organisatorische Phase, die aufgrund eingebetteter Informationskodierung trotz Energieverlusts bestehen bleibt. Sie unterscheidet sich von rein energieabhängigen Formationen.

Interne Grenzflächen

Unerwartete Grenzen oder Kompartimentierungen innerhalb einer ansonsten kontinuierlichen Struktur. In der Mikroskopie stellen diese oft Diskontinuitäten, Phasentrennungen oder reflektierende Kanten dar.

Intervallverriegelung

Ein Muster, das bei drahtlosen Signalemissionen beobachtet wird, bei dem bestimmte Paketintervalle streng konserviert sind oder in diskreten Vielfachen auftreten, was nicht mit einem zufälligen Broadcast-Verhalten vereinbar ist.

Geschichtete Vesikel

Konzentrische oder gestapelte vesikuläre Strukturen, die oft abgeflacht oder scheibenartig erscheinen und auf programmierte Vorkristallisationsphasen oder eine verschachtelte Kompartimentierung hindeuten.

Lichtemittierende Clusteraktivierung (LCA)

Ein Phasenübergang, der durch das Auftreten heller, lichtreaktiver Einschlüsse innerhalb oder in der Nähe von strukturierten Begrenzungen gekennzeichnet ist – oft vesikelgebunden und zeitlich verzögert. Deutet auf optische Aktivität hin

Phasenübergang.

Magnetisch-reaktive Domänen

Bereiche innerhalb einer Probe, die sich in Reaktion auf angelegte Magnetfelder verschieben, ausrichten oder anordnen. Wird häufig in synthetischen Nanostrukturen beobachtet und ist untypisch für die klassische Kristallisation.

Materialspeicherkoeffizient

Eine vorgeschlagene Variable, die die Tendenz eines Materials beschreibt, frühere Kohärenzzustände nach Entfernung des Feldes beizubehalten, und somit dessen Fähigkeit beeinflusst, Strukturen neu zu bilden oder dem Abbau zu widerstehen.

Nichtklassische Kristallisation

Bildung geordneter Strukturen über Intermediäre wie Kolloide oder Vesikel anstelle direkter Übergänge von Ionen zum Kristallgitter. Wird oft im pharmazeutischen und biologischen Bereich beobachtet.

Orgonit

Eine passive Vorrichtung aus Harz, Metallspänen und Quarz, von der theoretisch angenommen wird, dass sie subtile Energiefelder emittiert oder moduliert. Hier verwendet als feldgestützte Intervention, die Selbstorganisationsergebnisse beeinflusst.

Phasengrenzflächen-Marker

Grenzlinien oder reflektierende Zonen, die zwischen strukturellen Domänen sichtbar sind und häufig Übergänge in Dichte, Hydratation oder Ladung anzeigen.

Photonische Hülle

Eine optische Begrenzung um eine Struktur, die eine ungewöhnliche Lichtwechselwirkung aufweist – z. B. Regenbogenbeugung, Glühen oder dynamische Refraktion –, was auf eine geschichtete oder kohärente Zusammensetzung hindeutet.

Photonische Membran: Eine sichtbar refraktive Grenzschicht, oft gelb-bläulich, die unterschiedliche fluide oder kolloidale Phasen trennt. Kann optische Kohärenz, strukturierte Phasensegregation oder Restfeld-Interaktionen reflektieren.

Programmierter Zerfall

Ein hypothetischer, intern gesteuerter Prozess, bei dem synthetische Strukturen im Laufe der Zeit gemäß vorcodierter Sequenzen zerfallen. Dieser Zerfall verläuft schrittweise und autonom und bewahrt Aspekte der Informationsarchitektur des Systems, selbst bei abnehmender struktureller Integrität.

Programmierter Abbau

Eine extern ausgelöste, geordnete Dekonstruktion komplexer Strukturen als Reaktion auf einen spezifischen Stimulus wie Licht, Magnetfelder oder chemische Signale. Dieser Prozess legt einen eingebetteten Befehlssatz nahe, der die Entfaltung oder den Zusammenbruch der Struktur bei Aktivierung steuert.

Programmierbare Selbstorganisation

Ein Prozess, bei dem sich Materialien auf Basis eingebetteter Anweisungen oder responsiver Matrizen in strukturierte Formen selbstorganisieren. Steht im Gegensatz zu rein chemischer oder thermodynamischer Anordnung.

Quantenfeldvermittelte Bioenergetik

Ein theoretisches Modell, das davon ausgeht, dass biologische Prozesse durch Quantenfeld-Wechselwirkungen, Kohärenzdomänen und elektromagnetische Langstreckenkopplung beeinflusst werden.

Empfängerinitiierte Signallogik

Ein diagnostisches Artefakt, bei dem BLE-Empfänger intern Pseudo-MAC-Adressen im Rahmen der passiven Scan-Funktion generieren. Wird als Ursache für falsch-positive MAC-Emissionen vermutet.

Verbleibende Kohärenzfragmente

Strukturelle Überreste, die partielle Kohärenzsignaturen beibehalten – wie Vesikelcluster oder Winkelmotive – selbst nach weitläufiger Disassemblierung, und als potentielle Nukleationskeime unter Re-Kohärenz dienen.

Resonanzfehlanpassung

Ein Zustand, in dem feldbasierte Behandlungen (z. B. Orgonit) Vibrations- oder Skalar-Eingaben einbringen, die mit der intrinsischen Kohärenz des Systems inkompatibel sind, wodurch die Struktur ohne hohe Energiezufuhr gestört wird.

Reversible Anordnung

Strukturelle Formationen, die innerhalb beobachtbarer Zeiträume sowohl entstehen als auch sich auflösen können. Hinweis auf dynamische Phasenübergänge und nicht auf eine inerte Kristallisation.

Skalarfeld-Effekte

Einflüsse hypothetischer, nicht-lokaler oder nicht-elektromagnetischer Felder (häufig assoziiert mit subtiler Energieforschung), von denen angenommen wird, dass sie die biologische Kohärenz oder die Materialanordnung beeinflussen.

Kristalle zweiter Generation (2GC)

Kristalline Strukturen, die nach struktureller Zerstörung, Re-Verdunstung oder feldinduzierter Demontage entstehen. Zeigen oft eine abgewandelte Form, unregelmäßige Geometrien und eine beeinträchtigte Vesikel-Kolloid-Kopplung, was eine verminderte Kohärenztreue widerspiegelt.

Verdunstung Sessiler Tröpfchen (VST)

Eine experimentelle Methode, bei der ein flüssiges Tröpfchen auf einer ebenen Oberfläche getrocknet wird, um Kristallisation, Vesikelbildung und dynamisches Phasenverhalten zu beobachten

Signalarchitektur

Der strukturelle Aufbau eines Rundfunksystems, einschließlich Intervall, Frequenz, Bitstruktur und räumlicher Verteilung. Wird zur Charakterisierung synthetischer MAC-Emissionen verwendet.

Signal-Kohärenz-Schnittstelle

Eine theoretische Zone, in der Informationssignale (z. B. EM-Emissionen) durch Ausrichtung, Resonanz oder Modulation mit strukturierter Materie oder biologischen Systemen interagieren.

Strukturelle Kohärenz

Die geordnete Ausrichtung der internen Elemente einer Struktur über verschiedene Skalen, die entweder natürliche harmonische Prinzipien oder synthetische Designkonsistenz widerspiegelt.

Strukturiertes Wasser

Wasser mit organisierten molekularen Anordnungen, oft in der Nähe hydrophiler Oberflächen. Es wird vermutet, dass es eine Rolle bei der biologischen Funktion, der Kristallisation und der feldinduzierten Modulation spielt.

Synthetische Emissionsarchitektur (SEA)

Ein hypothetisches, verdecktes Netzwerk von Bluetooth-ähnlichen Emissionen, das nicht von physischen Geräten ausgeht, sondern

von eingebetteten oder injizierbaren Systemen. Zeigt strukturierte Intervalle, Entropieunterdrückung und Widerstandsfähigkeit gegenüber der Zuordnung.

Synthetische Nanonetzwerkschicht (SNL)

Eine vorgeschlagene, verborgene digitale Architektur, die in biologische Systeme eingebettet ist oder mit diesen interagiert. Bestehend aus Emitter im Nanobereich, strukturiertem Signalverhalten und dezentraler Kommunikationslogik.

Taffy-Zieher-Sequenz

Eine beschreibende Bezeichnung für die ausgedehnte morphologische Rekonfiguration kristalliner Strukturen unter Dunkelfeldbeleuchtung, die durch langsames, mechanisch anmutendes Dehnen, Zurückziehen und anschließende Demontage gekennzeichnet ist – oft begleitet von Lichtemission.

Templatiertes Wachstum

Die Entstehung von Ordnung, basierend auf eingebetteten Anweisungen, gemusterten Oberflächen oder vorstrukturierten Intermediaten. Wird häufig in synthetischen oder bioentwickelten Systemen beobachtet.

Tetraphasen-Modell der Selbstorganisation

Eine vierstufige Sequenz, die in der Selbstorganisationsdynamik pharmazeutischer Präparate unter Verdunstung eines Sessilen Tröpfchens (SDE) beobachtet wird. Der Prozess läuft wie folgt ab: (1) Nanopartikelentstehung, oft in der Nähe des Tröpfchenrandes; (2) Kolloidale Domänenbildung durch Aggregation und Interaktion der Partikel; (3) Vesikelbildung und -migration, wodurch membranartige Kompartimente entstehen; und (4) Konsolidierung kristalliner Motive, wodurch die Mikrostruktur finalisiert wird. Diese Progression reflektiert eine feldempfindliche, kohärenzabhängige Architektur. Die Störung einer beliebigen Phase – wie Vesikel-Arrest oder Nanopartikel-Kolloid-Entkopplung – führt zu verzerrten oder abgebrochenen strukturellen Ergebnissen. Das Tetraphasen-Modell ersetzt frühere Formulierungen und besitzt diagnostische und therapeutische Relevanz, insbesondere in biologischen Systemen hoher Kohärenz, die elektromagnetische Sensitivität zeigen.

Theraphi

Ein Energiebehandlungsgerät, das Hochvolt-Plasmaentladungsröhren und frequenzbasierte Resonanz nutzt, um Kohrenz in biologischen Systemen zu induzieren. Beeinträchtigte die Selbstorganisation in dieser Studie nicht.

Toroidaler Vesikel

Ein Vesikel in Form einer geschlossenen Schleife oder eines Donuts, der oft mit optischen Phänomenen und dynamischen Übergängen in kristallisierenden Lösungen assoziiert ist.

Nicht zugeordnete Geräteemissionen

Bluetooth-MAC-Adressen, die bei Scans detektiert wurden und nicht bekannten Geräten, Apps oder Diensten zugeordnet werden können. Wurde häufig nach 2021 beobachtet.

Vesikuläre Phase

Ein dynamischer Zustand, in dem membranartige Tröpfchen vor der Kristallisation in einer Probe vorhanden sind und oft mit neu entstehenden Strukturen interagieren oder diese organisieren.

Vesikuläres Gerüst

Ein Gitter oder verzweigtes Netzwerk aus miteinander verbundenen Vesikeln, das als grundlegende Phase vor der Kristallisation dient. Wird oft beobachtet, wie es sich an Kantenverlängerungen ausrichtet oder strukturelle

Bögen bildet.

Vibrationelles Imprinting

Der theoretische Prozess, bei dem energetische Muster – wie Schallfrequenzen, Magnetfelder oder Lichtwellen – in Materialien eingebettet werden, wodurch deren strukturellen Eigenschaften oder deren Verhalten verändert werden.

Visuelle Bandenemission

Lichtemissionen oder Beugungsmuster, die unter Dunkelfeldmikroskopie beobachtet werden und häufig auf optisch aktive oder mehrschichtige Strukturen mit potenziellen photonischen Eigenschaften hinweisen.

Artefakt des drahtlosen Signals

Ein irreführendes oder unbeabsichtigtes Emissionsmuster, das von passiven Scan-Werkzeugen erfasst wird, oft aufgrund interner Verarbeitung und nicht aufgrund einer tatsächlichen Übertragung. Relevant für die Interpretation anomaler MAC-Adressen.

Zeta-Potential-Verschiebung

Eine Änderung der Oberflächenladung kolloidaler oder vesikulärer Partikel, die deren Aggregationsverhalten verändert. Es wird vermutet, dass dies als Reaktion auf Feldexposition oder Phasenübergänge während der Selbstorganisation auftritt.

Danksagung

Ich möchte der Xstra Technologies Group und den Abonnenten des NixonLab Substack meinen aufrichtigen Dank für

ihre wertvolle Unterstützung und ihren Beitrag zu dieser Forschung aussprechen. Besonderer Dank gilt den Micronauts

. Die in dieser Arbeit dargestellten Ansichten, Meinungen und Schlussfolgerungen liegen allein in meiner Verantwortung

Erklärung zu Interessenkonflikten

Diese Forschung wurde unabhängig durchgeführt, ohne dass externe Einflüsse die dargestellten Daten oder Schlussfolge-

rungen beeinflusst hätten. Obwohl ein Teil des Einkommens aus Abonnements meiner persönlichen Substack-Publikation

generiert wird, beeinträchtigt dies nicht die Integrität oder Objektivität der Studie. Es werden keine anderweitigen Interes-

senkonflikte angegeben.

Urheberrechtlicher Hinweis

© 2025 David Nixon. Alle Rechte vorbehalten. Diese Arbeit darf für nichtkommerzielle Zwecke der Bildung oder For-

schung frei geteilt, vervielfältigt oder übersetzt werden, vorausgesetzt, die Quelle wird angemessen angegeben. Die

Weiterverbreitung von Bildern oder Texten in veränderten oder abgeleiteten Werken setzt ebenfalls die Nennung der

ursprünglichen Quelle voraus. Die kommerzielle Vervielfältigung, einschließlich der Nutzung in Produkten oder Publi-

kationen zur Gewinnerzielung, bedarf der vorherigen schriftlichen Genehmigung des Autors. Für Lizenzen oder Ge-

nehmigungen wenden Sie sich bitte an: david@drdavidnixon.com.

Diese Arbeit wurde vollständig privat finanziert.

Bitte besuchen Sie meine Website: www.drdavidnixon.comfür weitere Bilder und Videos sowie,

Juli 2025 Seite 395

Besuchen Sie auch meinen Substack:davidnixon.substack.com

Haftungsausschluss

Die auf dieser Website und im Journal für BioNanoTechnokratie: Countdown bis 2030 bereitgestellten Informationen dienen ausschließlich Informations- und Bildungszwecken. Sie sind nicht als Diagnose, Behandlungsempfehlung, Präventionsstrategie oder Heilmittel für eine erwähnte medizinische Erkrankung, einen Eingriff oder ein Protokoll gedacht. Benutzer und Leser – einschließlich Eltern, Erziehungsberechtigte, Betreuer, Kliniker und andere – werden angehalten, ihr eigenes Urteil zu fällen und im Hinblick auf spezifische Anwendungen oder Entscheidungen qualifizierte Fachkräfte zu konsultieren. Die beitragenden Autoren, Herausgeber und alle mit der Webseite und/oder Zeitschrift verbundenen Personen schließen jegliche Haftung oder Verantwortung für Schäden, Verletzungen, finanzielle Verluste oder sonstige Konsequenzen aus, die sich aus der Nutzung, Anwendung oder Interpretation der hierin enthaltenen Informationen, Suchergebnisse, Meinungen oder Schlussfolgerungen ergeben. Die Verantwortung für die Verwendung dieses Materials liegt ausschließlich beim Benutzer. Das Material wird zur Einsicht und für akademische Zwecke frei zur Verfügung gestellt. Bei Zitaten, Bezugnahmen oder Nachdrucken sind die Benutzer verpflichtet, die ursprüngliche Quelle bzw. den Autor zu nennen und die Bestimmungen der Creative Commons Lizenz 4.0 NC ND oder einer anderen anwendbaren Lizenzvereinbarung einzuhalten. Die Weiterverbreitung zu kommerziellen Zwecken oder in veränderter Form ist strikt untersagt.

Abschließende Betrachtung

In Systemen, die von Verschleierung bestimmt sind, verschwindet die Wahrheit nicht – sie wird unterdrückt. Die Machthaber leugnen unbequeme Realitäten nicht einfach; Sie erzeugen epistemisches Chaos, lenken von Anfragen ab und fordern von Kritikern den Nachweis mit unerfüllbaren Beweisstandards. Ihre eigenen Erklärungen bleiben indes unbewiesen und sind durch institutionelle Trägheit geschützt. In einem solchen Kontext ist es die Pflicht eines gewissenhaften Beobachters, nicht das zu beweisen, was nicht vollständig erfasst werden kann, sondern das offenzulegen, was bereits existiert, reproduzierbar ist und sich nicht mit offiziellen Darstellungen vereinbaren lässt.



Journal für BioNanoTechnokratie, Band 1, Ausgabe 2 www.journalbnt.org

Juli 2025 Seite 396

Dokument ins Deutsche übersetzt vom Team von M-Power Translations.

Telegram-Kanal:

https://t.me/mpowertranslations